

TUGAS AKHIR

**ANALISIS PERBANDINGAN PENGGUNAAN DINDING PENAHAH TANAH
TIPE KANTILIVER DAN TIPE GRAVITASI MENGGUNAKAN APLIKASI
PLAXIS V.8.6 DAN PERHITUNGAN MANUAL**

**Diajukan Untuk Memenuhi Persyaratan Menyelesaikan Pendidikan Strata
Satu Program Studi Teknik Sipil**

Fakultas Teknik

Universitas Islam Sultan Agung Semarang



Disusun Oleh :

Mohammad Affan Abdul Ghoni
NIM 30.2017.00.103

Muhammad Watsiq Alawi
NIM 30.2017.00.129

**FAKULTAS TEKNIK PROGRAM STUDI TEKNIK SIPIL
UNIVERSITAS ISLAM SULTAN AGUNG
SEMARANG
2021**



**YAYASAN BADAN WAKAF SULTAN AGUNG
UNIVERSITAS ISLAM SULTAN AGUNG (UNISSULA)
FAKULTAS TEKNIK**

Jl. Raya Kaligawe KM. 4 Po. BOX 1054 Telp.(024)6583584 Ext.500 Semarang 50112
e-mail : ft@unissula.ac.id

HALAMAN PENGESAHAN

**ANALISA PERBANDINGAN PENGGUNAAN DINDING PENAIHAN
TANAH TIPE KANTILIVER DAN TIPE GRAVITASI MENGGUNAKAN
APLIKASI PLAXIS V.8.6 DAN PERHITUNGAN MANUAL**

Oleh :



Mohammad Affan Abdul Ghoni

Muhammad Watsiq Alawi

30.2017.00.103

30.2017.00.129

Telah disetujui dan disahkan di Semarang tanggal Agustus 2021

Oleh :

Tim Penguji

Tanda Tangan

1 Prof.Ir. H.Pratikso, MST, Ph.D

2 Dr. Ir. H. Soedarsono, M.Si

3 Dr. Abdul Rochim, ST.,MT

Mengetahui,

Ketua Program Studi Teknik Sipil

Fakultas Teknik UNISSULA

(Muhamad Rusli Ahyar, ST., M.Eng)



**YAYASAN BADAN WAKAF SULTAN AGUNG
UNIVERSITAS ISLAM SULTAN AGUNG (UNISSULA)
FAKULTAS TEKNIK**

Jl. Raya Kaligawe KM. 4 Po. BOX 1054 Telp. (024)6583584 Ext.500 Semarang 50112
e-mail : 1@unissula.ac.id

BERITA ACARA BIMBINGAN TUGAS AKHIR

Pada hari ini, Jum'at, tanggal 26 Maret 2021 berdasarkan Surat Keputusan Rektor Universitas Islam Sultan Agung (UNISSULA) Semarang perihal penunjukan Dosen Pembimbing I dan Dosen Pembimbing II :

- | | | |
|------------------|---|----------------------------------|
| 1. Nama | : | Prof. Ir. H. Pratikso, MST, Ph.D |
| Jabatan Akademik | : | Guru Besar |
| 2. Nama | : | Dr. Ir. H. Soedarsono, M.Si |
| Jabatan Akademik | : | Lektor Kepala |

Dengan ini menyatakan bahwa Mahasiswa yang tersebut dibawah ini telah menyelesaikan bimbingan Tugas Akhir / Skripsi:

- | | | |
|---------|---|--|
| 1. Nama | : | Mohammad Affan Abdul Ghoni |
| 2. Nama | : | Muhammad Watsiq Alawi |
| Judul | : | Analisa Perbandingan Penggunaan Dinding Penahan Tanah Tipe Kantiliver Dan Tipe Gravitasi Menggunakan Aplikasi Plaxis V.8.6 Dan Perhitungan Manual. |

Dengan tahapan sebagai berikut:

No.	Tahapan	Tanggal	Keterangan
1	Penunjukan Dosen Pembimbing	28 Maret 2021	-
2	Pengumpulan Data	29 Maret 2021	-
3	Penyusunan Laporan	30 Maret 2021	-
4	Selesai Laporan	Agustus 2021	-

Demikian Berita Acara Bimbingan Tugas Akhir / Skripsi ini dibuat untuk diketahui dan dipergunakan seperlunya oleh pihak-pihak yang berkepentingan.

Dosen Pembimbing I

Dosen Pembimbing II

(Prof.Ir. H.Pratikso, MST, Ph.D)

(Dr. Ir. H. Soedarsono, M.Si)

Mengetahui,
Ketua Program Studi Teknik Sipil

(Muhamad Rusli Ahyar, ST., M.Eng)

PERNYATAAN BEBAS PLAGIASI

Saya yang bertanda tangan di bawah ini :

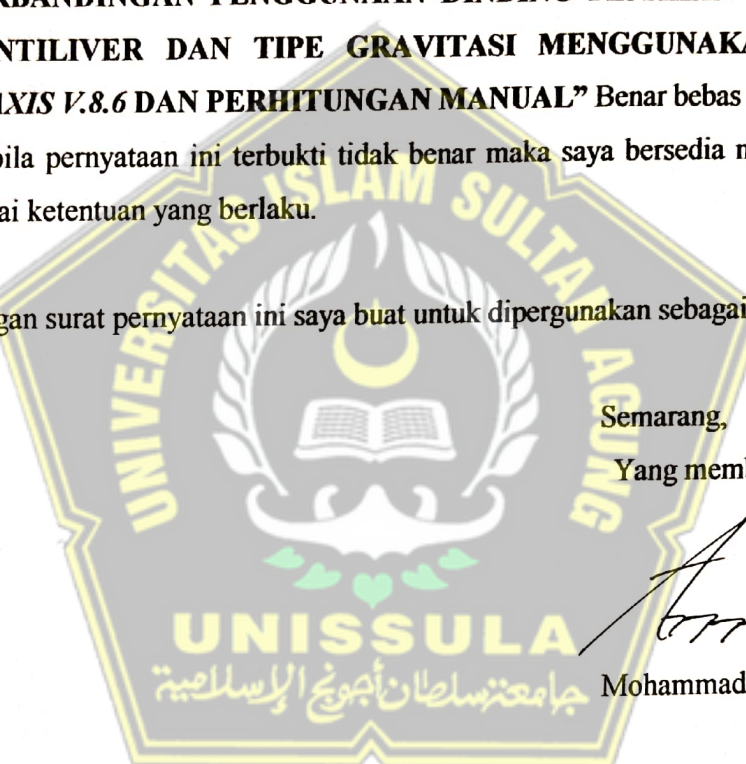
NAMA : Mohammad Affan Abdul Ghoni
NIM : 30201700103

Dengan ini menyatakan bahwa Tugas Akhir yang berjudul : **“ANALISA PERBANDINGAN PENGGUNAAN DINDING PENAHAH TANAH TIPE KANTILIVER DAN TIPE GRAVITASI MENGGUNAKAN APLIKASI PLAXIS V.8.6 DAN PERHITUNGAN MANUAL”** Benar bebas dari plagiat, dan apabila pernyataan ini terbukti tidak benar maka saya bersedia menerima sanksi sesuai ketentuan yang berlaku.

Dengan surat pernyataan ini saya buat untuk dipergunakan sebagaimana mestinya

Semarang, Agustus 2021

Yang membuat Pernyataan



Mohammad Affan Abdul G

PERNYATAAN BEBAS PLAGIASI

Saya yang bertanda tangan di bawah ini :

NAMA : Muhammad Watsiq Alawi

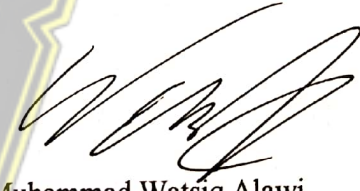
NIM : 30201700129

Dengan ini menyatakan bahwa Tugas Akhir yang berjudul : “**ANALISA PERBANDINGAN PENGGUNAAN DINDING PENAHAH TANAH TIPE KANTILIVER DAN TIPE GRAVITASI MENGGUNAKAN APLIKASI PLAXIS V.8.6 DAN PERHITUNGAN MANUAL**” Benar bebas dari plagiat, dan apabila pernyataan ini terbukti tidak benar maka saya bersedia menerima sanksi sesuai ketentuan yang berlaku.

Dengan surat pernyataan ini saya buat untuk dipergunakan sebagaimana mestinya

Semarang, Agustus 2021

Yang membuat Pernyataan



Muhammad Watsiq Alawi

PERNYATAAN KEASLIAN

Saya yang bertanda – tangan di bawah ini :

NAMA : Mohammad Affan Abdul Ghoni

NIM : 30201700103

JUDUL : ANALISA PERBANDINGAN PENGGUNAAN DINDING
PENAHAN TANAH TIPE KANTILIVER DAN TIPE
GRAVITASI MENGGUNAKAN APLIKASI *PLAXIS V.8.6* DAN
PERHITUNGAN MANUAL

Menyatakan dengan sesungguhnya bahwa Tugas Akhir ini merupakan hasil penelitian, pemikiran, dan pemaparan asli saya sendiri. Saya tidak mencantumkan tanpa pengakuan bahan – bahan yang telah dipublikasikan sebelumnya atau ditulis oleh orang lain, atau sebagai bahan yang pernah diajukan untuk gelar atau ijazah pada Universitas Islam Sultan Agung Semarang atau perguruan tinggi lainnya.

Apabila dikemudian hari terdapat penyimpangan dan ketidak benaran dalam pernyataan ini, maka saya bersedia menerima sanksi akademik sesuai dengan peraturan yang berlaku di Universitas Islam Sultan Agung Semarang.

Demikian pernyataan ini saya buat.

Semarang, Agustus 2021



embuat pernyataan,

Mohammad Affan Abdul G

PERNYATAAN KEASLIAN

Saya yang bertanda – tangan di bawah ini :

NAMA : Muhammad Watsiq Alawi

NIM : 30201700129

JUDUL : ANALISA PERBANDINGAN PENGGUNAAN DINDING
PENAHAN TANAH TIPE KANTILIVER DAN TIPE
GRAVITASI MENGGUNAKAN APLIKASI *PLAXIS V.8.6* DAN
PERHITUNGAN MANUAL

Menyatakan dengan sesungguhnya bahwa Tugas Akhir ini merupakan hasil penelitian, pemikiran, dan pemaparan asli saya sendiri. Saya tidak mencantumkan tanpa pengakuan bahan – bahan yang telah dipublikasikan sebelumnya atau ditulis oleh orang lain, atau sebagai bahan yang pernah diajukan untuk gelar atau ijazah pada Universitas Islam Sultan Agung Semarang atau perguruan tinggi lainnya.

Apabila dikemudian hari terdapat penyimpangan dan ketidak benaran dalam pernyataan ini, maka saya bersedia menerima sanksi akademik sesuai dengan peraturan yang berlaku di Universitas Islam Sultan Agung Semarang.

Demikian pernyataan ini saya buat.

Semarang, Agustus 2021

Untuk membuat pernyataan,

Muhammad Watsiq Alawi

MOTO DAN PERSEMPAHAN

MOTTO:

كُنْتُمْ خَيْرَ أُمَّةٍ أُخْرِجْتَ لِلنَّاسِ تَأْمُرُونَ بِالْمَعْرُوفِ وَتَنْهَاوْنَ عَنِ الْمُنْكَرِ وَتُؤْمِنُونَ بِاللَّهِ وَلَوْا إِمَانَ أَهْلِ الْكِتَابِ لَكَانَ خَيْرًا لَّهُمْ مِنْهُمُ الْمُؤْمِنُونَ وَأَكْثَرُهُمْ أَفْسِفُونَ

“Kamu (umat Islam) adalah umat terbaik yang dilahirkan untuk manusia, (karena kamu) menyuruh (berbuat) yang makruf, dan mencegah dari yang mungkar, dan beriman kepada Allah. Sekiranya Ahli Kitab beriman, tentulah itu lebih baik bagi mereka. Di antara mereka ada yang beriman, namun kebanyakan mereka adalah orang-orang fasik” (QS. Ali Imron : 110)

يُؤْتِي الْحِكْمَةَ مَنْ يَشَاءُ وَمَنْ يُؤْتَ الْحِكْمَةَ فَقَدْ أُوتِيَ خَيْرًا كَثِيرًا وَمَا يَذَكَّرُ إِلَّا أُولُوا الْأَلْبَابِ

“Dia memberikan hikmah kepada siapa yang Dia kehendaki. Barangsiapa diberi hikmah, sesungguhnya dia telah diberi kebaikan yang banyak. Dan tidak ada yang dapat mengambil pelajaran kecuali orang-orang yang mempunyai akal sehat.” (Q.S Al-Baqarah : 269)

طلب العلم فريضة على كل مسلم

“Menuntut ilmu itu wajib bagi setiap muslim.” (H.R: Ibnu Majah)

“Waktu bagaikan pedang. Jika kamu tidak memanfaatkannya dengan baik, maka ia akan memanfaatkanmu”. (*HR. Muslim*).

“Kesempatan bukanlah hal yang kebetulan. Kamu harus menciptakannya.” (Chris Grosser)

PERSEMAHAN:

♦ MOHAMMAD AFFAN ABDUL GHONI

Tugas Akhir ini saya persembahkan untuk:

- Kedua orang tua kandung saya yaitu bapak Jamal dan ibu Murlaena wati, yang telah memberikan dorongan semangat, material dan spiritual.
- Keluarga kami yang telah banyak memberikan motivasi dalam menyelesaikan tugas akhir ini serta senantiasa memberikan doa, semangat dan dukungan moral, material maupun spiritual dengan penuh kasih sayang dan pengorbanan.
- Wali Dosen saya bapak Ir. H. Rachmat Mudiyono, MT, Ph.D, yang telah memberikan semangat.
- Dosen-dosen UNISSULA Fakultas Teknik Prodi Teknik Sipil, yang telah membagikan ilmunya.
- Karyawan Fakultas Teknik UNISSULA, yang telah membantu untuk menyelesaikan Tugas Akhir ini.
- Muhammad Watsiq Alawi, selaku rekan yang telah bekerja keras, berjuang bersama-sama untuk menyelesaikan Tugas Akhir ini.
- Keluarga Mahasiswa Fakultas Teknik UNISSULA.
- Keluarga Mahasiswa Fakultas Teknik UNISSULA Angkatan 2017.
- Keluarga Teknik Sipil B 2017.

PERSEMBAHAN:

♦ MUHAMMAD WATSIQ ALAWI

Tugas Akhir ini saya persembahkan untuk:

- Kedua orang tua kandung saya yaitu bapak Suprapto dan ibu Sri Mudyati , yang telah memberikan dorongan semangat, material dan spiritual.
- Keluarga kami yang telah banyak memberikan motivasi dalam menyelesaikan tugas akhir ini serta senantiasa memberikan doa, semangat dan dukungan moral, material maupun spiritual dengan penuh kasih sayang dan pengorbanan.
- Wali Dosen saya bapak Ir. H. Rachmat Mudiyono, MT, Ph.D, yang telah memberikan semangat.
- Dosen-dosen UNISSULA Fakultas Teknik Prodi Teknik Sipil, yang telah membagikan ilmunya.
- Karyawan Fakultas Teknik UNISSULA, yang telah membantu untuk menyelesaikan Tugas Akhir ini.
- Muhammad Affan Abdul Ghoni, selaku rekan yang telah bekerja keras, berjuang bersama-sama untuk menyelesaikan Tugas Akhir ini.
- Keluarga Mahasiswa Fakultas Teknik UNISSULA.
- Keluarga Mahasiswa Fakultas Teknik UNISSULA Angkatan 2017.
- Keluarga Teknik Sipil B 2017.

ABSTRAK

Oleh :

Mohammad Affan Abdul Ghoni¹⁾, Muhammad Warsiq Alawi¹⁾

Pratikso²⁾Soedarsono²⁾

Kecamatan Jambu Kabupaten Semarang adalah suatu daerah dimana memiliki letak topografi yang wilayahnya di kelilingi oleh perbukitan , dan Pada awal bulan April tahun 2021 Desa Gemawang Kecamatan Jambu mengalami intensitas hujan tinggi yang mengakibatkan longsor di daerah tersebut, Oleh sebab itu penelitian ini bertujuan untuk menganalisa perbandingan penggunaan desain dinding penahan tanah agar mendapatkan dinding penahan tanah yang aman digunakan.

Dalam penelitian ini, penulis sebelum melakukan analisa adalah melakukan pengujian sample tanah. Penelitian ini dilakukan dengan memperhitungan faktor keamanan stabilitas terhadap gaya geser, stabilitas gaya penggulingan dan stabilitas daya dukung tanah dengan menggunakan perhitungan manual serta program *plaxis*

Dari hasil analisa menggunakan program *plaxis* di dapatkan nilai *Safety Factor* (SF) untuk tipe kantiliver adalah $2,67 > 1,5$ dan untuk tipe gravitasi adalah $2,53 > 1,5$. Sedangkan hasil menggunakan perhitungan manual untuk tipe kantiliver adalah faktor pergeseran = $2,09 > 1,5$, faktor penggulingan $2,58 > 1,5$ dan faktor daya dukung tanah $4,63 > 3$. Untuk tipe gravitasi adalah faktor pergeseran = $1,90 > 1,5$, faktor penggulingan $3,31 > 1,5$ dan faktor daya dukung tanah $4,04 > 3$

Kalimat Kunci : Perbandingan DPT kantiliver dan DPT gravitasi

¹⁾ Mahasiswa Teknik Sipil Universitas Islam Sultan Agung Semarang

²⁾ Dosen Teknik Sipil Universitas Islam Sultan Agung Semarang

ABSTRACT

Jambu district, Semarang Regency is an area where it has a topographic area that surrounded by hills, and in the early of April 2021 at Gemawang Village, Jambu District encountered a high rainfall intensity which resulted in landslides in the area. Therefore this study aims to analyze the comparison of the usage of retaining wall design in order to obtain a retaining wall that is safe to use.

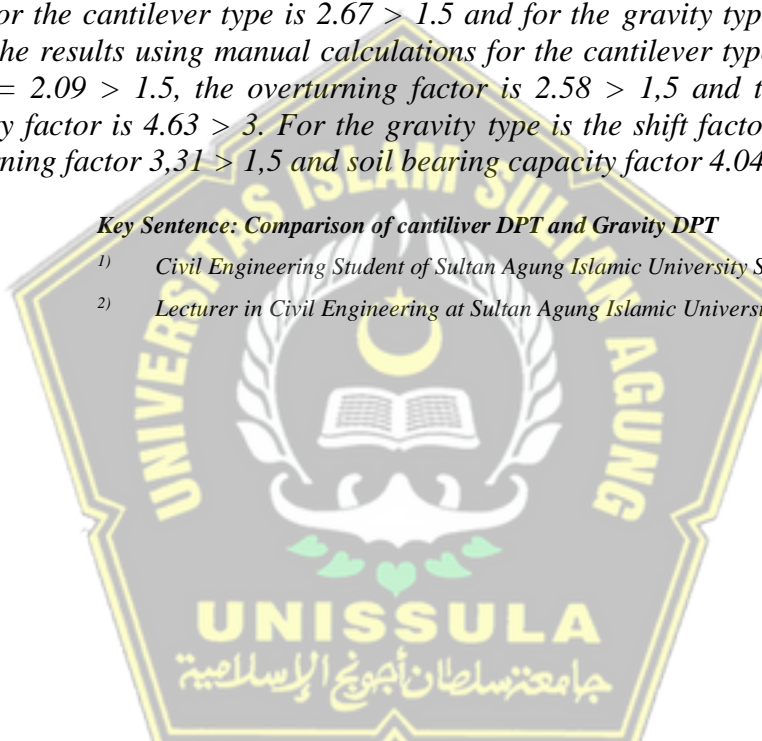
In this study, the author before doing the analysis is to test the soil sample. This research was conducted by calculating the stability factor of the shear force, the stability of the overturning force and the stability of soil bearing capacity using the manual calculation and the Plaxis program.

From the results of the analysis using the Plaxis program, the Safety Factor (SF) value for the cantilever type is $2.67 > 1.5$ and for the gravity type is $2.53 > 1.5$. While the results using manual calculations for the cantilever type are : the shift factor = $2.09 > 1.5$, the overturning factor is $2.58 > 1.5$ and the soil bearing capacity factor is $4.63 > 3$. For the gravity type is the shift factor = $1.90 > 1.5$, overturning factor $3.31 > 1.5$ and soil bearing capacity factor $4.04 > 3$

Key Sentence: Comparison of cantiliver DPT and Gravity DPT

¹⁾ Civil Engineering Student of Sultan Agung Islamic University Semarang

²⁾ Lecturer in Civil Engineering at Sultan Agung Islamic University Semarang



KATA PENGANTAR

Syukur Alhamdulillah, segala puji bagi Allah SWT, karena hanya dengan rahmat dan karunia-Nya penulis dapat menyelesaikan tugas akhir ini dengan judul **“ANALISA PERBANDINGAN PENGGUNAAN DINDING PENAHAN TANAH TIPE KANTILIVER DAN TIPE GRAVITASI MENGGUNAKAN APLIKASI PLAXIS V.8.6 DAN PERHITUNGAN MANUAL”**. Tugas Akhir ini diajukan untuk memenuhi persyaratan dalam menyelesaikan Program Sarjana Strata 1 (S-1) Teknik Sipil di Universitas Islam Sultan Agung Semarang.

Selama menyelesaikan tugas akhir dan menyusun laporan, penyusun telah banyak mendapat bimbingan dan bantuan dari berbagai pihak, untuk itu dalam kesempatan ini penyusun menyampaikan terimakasih kepada :

1. Allah SWT Robbul ‘Izatti dan Rasulullah Muhammad SAW.
2. Yth. Bapak Ir. H. Rachmat Mudiyono, MT, PhD, selaku Dekan Fakultas Teknik Universitas Islam Sultan Agung Semarang
3. Yth. Bapak Muhammad Rusli Ahyar, ST., M.Eng, selaku Ketua Program Studi Teknik Sipil Fakultas Teknik Universitas Islam Sultan Agung Semarang.
4. Yth. Bapak Prof. Ir. H. Pratikso, MST, Ph.D selaku Dosen Pembimbing I Tugas Akhir.
5. Yth. Bapak Dr. Ir. H. Soedarsono, M.Si selaku Dosen Pembimbing II Tugas Akhir.
6. Keluarga Mahasiswa Fakultas Teknik Unissula
7. Organisasi Fakultas yang merupakan tempat penulis mengembangkan *softskill*.
8. Semua pihak yang telah membantu dalam penyelesaian Tugas Akhir ini yang tidak dapat disebutkan satu persatu.

Disadari, karena keterbatasan ilmu pengetahuan, kemampuan, dan pengalaman yang dimiliki, dalam Tugas Akhir ini masih terdapat banyak kekurangan. Oleh karena itu, kritik dan saran yang bersifat membangun sangat diharapkan untuk menjadikannya lebih baik dan lebih menuju pada kesempurnaan.

DAFTAR ISI

HALAMAN PENGESAHAN	Error! Bookmark not defined.ii
BERITA ACARA BIMBINGAN TUGAS AKHIR.....	iii
PERNYATAAN BEBAS PLAGIASI	iv
PERNYATAAN KEASLIAN	vi
MOTO DAN PERSEMPAHAN	viii
ABSTRAK	xi
ABSTRACT	xii
KATA PENGANTAR	xiii
DAFTAR ISI.....	xiv
DAFTAR TABEL.....	xvi
DAFTAR GAMBAR.....	xvii
DAFTAR NOTASI DAN SIMBOL	xx
BAB I	1
PENDAHULUAN.....	1
1.1 Latar Belakang.....	1
1.2 Rumusan Masalah	2
1.3 Tujuan.....	2
1.4 Batasan Masalah.....	2
1.5 Lokasi Penelitian	3
1.6 Sistematik Penulisan.....	3
BAB II	5
STUDI PUSTAKA	5
2.1 Tinjauan Umum.....	5
2.2 Penyelidikan Tanah	5
2.3 Klasifikasi Tanah.....	5
2.4 Parameter Tanah.....	9
2.4.1 Parameter Tanah Data Sondir.....	9
2.4.2 Parameter Tanah Berdasarkan Standart Penetration Test	10
2.4.3 Permeabilitas (Permeability)	12
2.4.4 Modulus Young dan Poisson Ratio (v)	13
2.4.5 Sudut Geser Dalam.....	13
2.4.6 Kohesi	14
2.5 Kekuatan Geser Tanah	15
2.6 Tanah longsor	15
2.7 Menanggulangi kelongsoran	17
2.8 Dinding Penahan Tanah	18
2.9 Stabilitas Dinding Penahan.....	23
2.10 Stabilitas terhadap penggeseran	23
2.11 Stabilitas Terhadap Penggulingan	24
2.12 Stabilitas Terhadap Keruntuhannya Kapasitas Daya Dukung Tanah	25
2.13 Program Plaxis.....	26
BAB III	28
METODOLOGI	28
3.1. Pendahuluan	28
3.2. Studi Pustaka	30

3.3.	Pengumpulan Data.....	31
3.4.	Pengujian Sample Tanah	31
3.5.	Tahapan Analisa Menggunakan Program Plaxis V.8.6.....	40
3.6.	Perhitungan Manual Menggunakan Rumus Mhor Coulomb.....	47
BAB IV	57
HASIL DAN PEMBAHASAN		57
4.1	Gambaran umum	57
4.2	Data Tanah.....	58
4.3	Perhitungan Menggunakan Aplikasi Plaxis v.8.6.....	62
4.3.1.	Perhitungan Dinding Penahan Tanah Tipe <i>Kantiliver</i>	62
4.4	Perhitungan Menggunakan Aplikasi Plaxis v.8.6	72
4.4.1	Perhitungan Dinding Penahan Tanah Tipe Gravitasi.....	72
4.5	Perhitungan Manual Analisa Perbandingan Dinding Penahan Tanah Tipe Kantiliver Dan Tipe Gravity	81
4.5.1.	Mendesain Dinding Penahan Tanah	81
4.5.2.	Perhitungan Tipe Kantiliver	82
4.5.3.	Perhitungan Tipe Gravity	97
4.6	Perhitungan Tulangan Dinding Penahan Tanah Tipe Kantiliver	112
4.7	Hasil Pembahasan Analisa Perbandingan Dinding Penahan Tanah Tipe Kantiliver Dan Tipe Gravity.....	121
BAB V	123
PENUTUP		123
5.1.	Kesimpulan.....	123
5.2.	Saran	124
DAFTAR PUSTAKA	xxi
LAMPIRAN		

DAFTAR TABEL

Tabel 2. 1 Klasifikasi Tanah Untuk Dasar Jalan Raya, AASHTO	6
Tabel 2. 2 Klasifikasi Tanah Sistem AASTHO	7
Tabel 2. 3 Klasifikasi Unified	8
Tabel 2. 4 Klasifikasi Tanah	9
Tabel 2. 5 Hubungan Antara Kepadatan, Berat Jenis Tanah Kering, Nilai N-SPT, qc, dan	11
Tabel 2. 6 Hubungan Antara Nilai N-SPT Dengan Berat Jenis Tanah Jenuh.....	11
Tabel 2. 7 Hubungan Antara Nilai Tipikal Tipikal Berat dan Volume Kering.....	12
Tabel 2. 8 Nilai Permeabilitas (k) Dalam Satuan(m/s)	12
Tabel 2. 9 Hubungan Modulus Elastisitas (Es) Dan Nilai poisson ratio.....	13
Tabel 2. 10 Hubungan Antara Sudut Geser Dalam Dengan Jenis Tanah	14
Tabel 2. 11 Hubungan Antara N-SPT, Kohesi, Sudut Geser Tanah	14
Tabel 3. 1 Kesimpulan Hasil Pengujian.....	40
Tabel 3. 2 Faktor- faktor daya dukung tanah	55
Tabel 4. 1 Data Hasil Direct Shear Test.....	58
Tabel 4. 2 Data Hasil Perhitungan Soil Test	58
Tabel 4. 3 Data perhitungan Grain Size Analysis Tanah Atas.....	59
Tabel 4. 4 Hasil Perhitungan Grain Size Analysis Tanah Tengah	60
Tabel 4. 5 Hasil Perhitungan Grain Size Analysis Tanah Bawah.....	60
Tabel 4. 6 Kesimpulan Data.....	61
Tabel 4. 7 Faktor- faktor daya dukung tanah	95
Tabel 4. 8 Faktor- faktor daya dukung tanah	110
Tabel 4. 9 Hasil Perhitungan dinding penahan tanah.....	122

DAFTAR GAMBAR

Gambar 1. 1 Peta Lokasi	3
Gambar 2. 1 Grafik Hubungan Tekanan Conus Dengan Perlawanan Geser	10
Gambar 2. 2 tipe tipe keruntuhan lereng.....	17
Gambar 2. 3 Dinding Gravitasi	19
Gambar 2. 4 Dinding Gravitasi	20
Gambar 2. 5 Dinding penahan tanah tipe Counterfort	22
Gambar 2. 6 Stabilitas Terhadap Penggeseran dan Penggulingan	25
Gambar 3. 1 Lokasi Terjadinya Longsor	28
Gambar 3. 2 Diagram Alur Penelitian.....	30
Gambar 3. 3 Pengujian Soil Test.....	34
Gambar 3. 4 Pengujian Direct Shear Test.....	36
Gambar 3. 5 Pengujian Grain Size (Sieve Analysis)	38
Gambar 3. 6 Pengujian Hydrometer.....	39
Gambar 3. 7 Pemilihan Proyek	40
Gambar 3. 8 Pengaturan Global	41
Gambar 3. 9 Pengaturan Global	41
Gambar 3. 10 Sketsa permodelan.....	42
Gambar 3. 11 Kumpulan Data Material	42
Gambar 3. 12 Permodelan.....	43
Gambar 3. 13 Standard Fixities.....	43
Gambar 3. 14 Distributed Load.....	44
Gambar 3. 15 Muka Air Tanah	44
Gambar 3. 16 Perhitungan Tekanan Tanah Air	45
Gambar 3. 17 Tekanan Air.....	45
Gambar 3. 18 Tahap Perhitungan.....	46
Gambar 3. 19 Hasil Akhir Perhitungan.....	46
Gambar 3. 20 Cara Mencari Dimensi Dinding Penahan Tanah.....	47
Gambar 3. 21 Dimensi Dinding Penahan Tanah.....	47
Gambar 3. 22 Distribusi Beban Pada Dinding Penahan Tanah	48
Gambar 3. 23 Jarak Titik Berat (x) terhadap titik 0	49

Gambar 3. 24 Tekanan Tanah	50
Gambar 3. 25 Jarak Titik Berat Terhadap 0	51
Gambar 4. 1 Kondisi Lereng	57
Gambar 4. 2 Pemodelan Geometri 2D	62
Gambar 4. 3 General tanah atas	62
Gambar 4. 4 General Dinding Penahan Tanah.....	63
Gambar 4. 5 Parameter Dinding Penahan Tanah	64
Gambar 4. 6 Properties Material Dalam Geometri	64
Gambar 4. 7. Tampilan Geometri Setelah Di Mesh.....	65
Gambar 4. 8. Input Beban	65
Gambar 4. 9. Tampilan Geometri Setelah Diberi Beban	66
Gambar 4. 10. Tampilan Geometri Yang Diberi Muka Air Tanah.....	66
Gambar 4. 11. Tampilan Pressure Level Setelah Di Update.....	67
Gambar 4. 12. Tampilan Tegangan Efektif.....	67
Gambar 4. 13. Tampilan Perhitungan Tahap 1	68
Gambar 4. 14. Tahap Perhitungan Pemasangan Dinding	68
Gambar 4. 15. Parameter Pada SF	69
Gambar 4. 16. Geometri Pada Select Point.....	69
Gambar 4. 17. Tampilan Saat Perhitungan	70
Gambar 4. 18. Tampilan Setelah Selesai Dihitung	70
Gambar 4. 19. Hasil SF perhitungan plaxis 2D	71
Gambar 4. 20. Pemodelan Geometri 2D	72
Gambar 4. 21. General Dinding Penahan Tanah.....	73
Gambar 4. 22. Properties Material Dalam Geometri	73
.Gambar 4. 23 Tampilan Geometri Setelah Di Mesh.....	74
Gambar 4. 24 Input Beban	74
Gambar 4. 25 Tampilan Geometri Setelah Diberi Beban	75
Gambar 4. 26 Tampilan Geometri Yang Diberi Muka Air Tanah.....	75
Gambar 4. 27 Tampilan <i>Pressure Level</i> Setelah Di <i>Update</i>	76
Gambar 4. 28 Tampilan Tegangan Efektif.....	76
Gambar 4. 29 . Tampilan Perhitungan Tahap 1	77

Gambar 4. 30 Tahap Perhitungan Pemasangan Dinding	77
Gambar 4. 31 Parameter Pada SF	78
Gambar 4. 32 Geometri Pada <i>Select Point</i> Kemudian di <i>calculate</i>	78
Gambar 4. 33 Tampilan Saat Perhitungan	79
Gambar 4. 34 Tampilan Setelah Selesai Dihitung	79
Gambar 4. 35 Hasil SF perhitungan Plaxis 2D	80
Gambar 4. 36 Cara Mencari Dimensi Dinding Penahan Tanah.....	81
Gambar 4. 37 Desain Dinding Penahan Tanah Tipe Kantiliver.....	82
Gambar 4. 38 Distribusi Beban Pada Dinding Penahan Tanah	83
Gambar 4. 39 Jarak Titik Berat (x) Terhadap Titik 0	85
Gambar 4. 40 Tekanan Tanah Pada Dinding Penahan Tanah.....	87
Gambar 4. 41 Jarak Titik Berat Terhadap Titik 0	90
Gambar 4. 42 Desain Dinding Penahan Tanah Tipre Gravity	97
Gambar 4. 43 . Distribusi Beban Pada Dinding Penahan Tanah	98
Gambar 4. 44 Jarak Titik Berat (x) Terhadap Titik 0	99
Gambar 4. 45 Tekanan Tanah Pada Dinding Penahan Tanah.....	102
Gambar 4. 46 Jarak Titik Berat Terhadap Titik 0	105
Gambar 4. 47 Desain Tulangan Kantiliver	120



DAFTAR NOTASI DAN SIMBOL

w	= Kadar Air
γ_b	= Berat volume tanah basah
γ_k	= Berat volume tanah kering
γ_{sat}	= Berat jenis tanah jenuh air
γ_{unsat}	= Berat jenis tanah tak jenuh air
c	= cohesi (kPa)
ϕ	= Sudut geser dalam
q	= Beban merata (kN)
H	= Tinggi dinding penahan tanah (m)
B	= Lebar tapak dinding penahan tanah (m)
D	= Tebal tapak dinding penahan tanah (m)
M_w	= Moment gaya vertical(kNm)
W	= Beban dinding penahan tanah dengan beban merata
K_a	= Koefisien tekanan tanah aktif
K_p	= Koefisiens tekanan tanah pasif
P_a	= Total tekanan tanah aktif
P_p	= Total tekanan tanah pasif
M_a	= Moment tekanan tanah aktif (kNm)
M_p	= Moment tekanan tanah pasif (kNm)
ΣM_w	= Jumlah momen gaya vertical (kNm)
ΣP_h	= Jumlah gaya-gaya horizontal (kn)
ΣP_a	= Jumlah tekanan tanah aktif (kN)
ΣP_p	= Jumlah tekanan tanah aktif (kN)

- ΣMg = Jumlah momen yang mengakibatkan penggulingan
- ΣMa = Jumlah momen tekanan tanah aktif (kNm)
- ΣMp = Jumlah momen tekanan tanah pasif (kNm)
- ΣRh = Tahanan dinding penahan tanah terhadap pergeseran
- ΣV = Jumlah gaya-gaya vertikal (kN)
- ΣH = Jumlah gaya-gaya horizontal (kN)
- Ca = adhesi antara tanah dan dasar dinding
- Fgs = Faktor aman terhadap pergeseran
- Fgl = Faktor aman terhadap pergeseran
- Xe = Jarak eksentrisitas (m)
- e = eksentrisitas (m)
- iq = Faktor Kemiringan Beban
- Nq = Faktor kapasitas daya dukung
- SF = Factor keamanan
- qu = daya dukung ultimit



BAB I

PENDAHULUAN

1.1 Latar Belakang

Kabupaten Semarang adalah suatu wilayah di Jawa Tengah dimana wilayah tersebut berada pada bagian tengah Jawa Tengah, Kabupaten Semarang memiliki batas wilayah dengan di sebelah utara yaitu kota Semarang, di sebelah timur berbatasan dengan Kabupaten Grobogan dan Boyolali, di sebelah barat berbatasan dengan Kabupaten Magelang dan Kabupaten Kendal, Dan di sebelah selatan berbatasan dengan Kabupaten Magelang dan Kabupaten Boyolali. Jika di lihat dari geografi Kabupaten Semarang untuk wilayahnya berada pada ketinggian 500-2000 MDPL, dengan letak geografis seperti itu Kabupaten Semarang untuk wilayahnya terdapat banyak perbukitan dan pengunungan. (sumber: <https://main.semarangkab.go.id/>)

Dengan banyaknya perbukitan dan pengunungan serta curah hujan di kabupaten Semarang yang relative tinggi maka daerah kabupaten Semarang bisa di katakan daerah rawan longsor. Oleh sebab itu perlu adanya sebuah dinding penahan tanah yang berfungsi untuk menstabilkan tanah pada saat tanah dalam kondisi tertentu yang dapat menurunkan sifat fisik dan sifat mekanik dari parameter tanah yang akan membuat kerusakan pada tanah tersebut sehingga dapat membahayakan manusia yang ada di sekitarnya, oleh sebab itu dalam perencanaan dinding penahan tanah harus melakukan analisis dan metode yang tepat agar dinding penahan tanah yang di rencanakan aman untuk diterapkan.

Kemajuan perkembangan teknologi di bidang pembangunan kususnya dalam bidang geoteknik sangatlah baik untuk menganalisis masalah masalah di bidang geoteknik serta dapat mempermudah serta mengefisiensikan dalam sebuah perencanaan dan salah satu perkembangan teknologi di bidang geoteknik adalah aplikasi *plaxis*, di mana aplikasi *plaxis* tersebut adalah sebuah program untuk mengkaji serta program element hingga untuk aplikasi geoteknik dengan melakukan simulasi terhadap perilaku tanah.

1.2 Rumusan Masalah

Kecamatan Jambu Kabupaten Semarang adalah suatu daerah dimana memiliki letak topografi yang wilayahnya di kelilingi oleh perbukitan , dan Pada awal bulan April tahun 2021 Desa Gemawang Kecamatan Jambu mengalami intensitas hujan tinggi yang mengakibatkan longsor di daerah tersebut .

Oleh sebab itu penelitian ini mengambil beberapa rumusan masalah dari penjelasan di atas, Adapun rumusan masalah adalah sebagai berikut :

1. Mencari Jenis tanah apa saja yang terdapat di lokasi longsor .
2. Bagaimana Analisa perbandingan penggunaan dinding penahan tanah tipe *kantiliver* dan tipe *gravity* di lokasi longsor

1.3 Tujuan

Pada penulisan tugas akhir ini bertujuan untuk :

1. Dapat mengetahui jenis tanah pada lokasi longsor
2. Mengetahui Analisa perbandingan penggunaan dinding penahan tanah tipe *kantiliver* dan tipe *gravity*

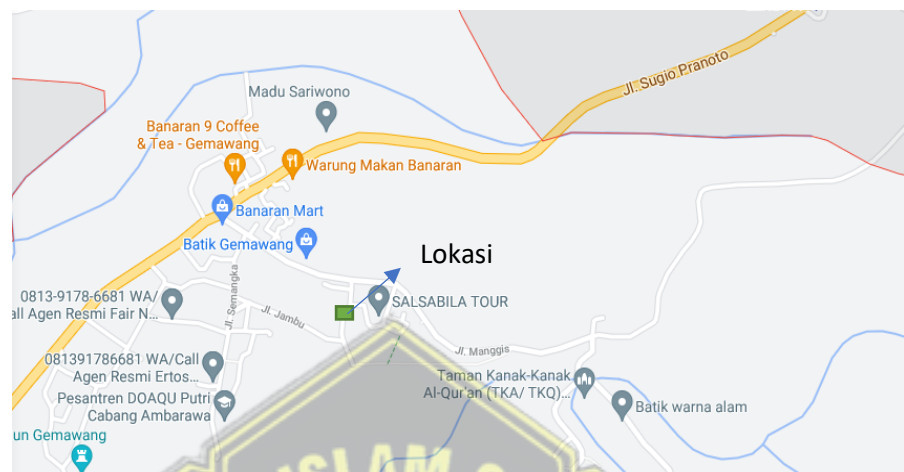
1.4 Batasan Masalah

Dalam penilitian ini mencangkup luasan yang sangat luas, agar penelitian ini tidak terlalu melebar dan lebih terarah maka perlu adanya sebuah batasan masalah, Adapun batasan masalah pada penulisan tugas akhir ini adalah :

1. Mengambil data tanah yang dilakukan di Desa Gemawang, Kecamatan Jambu, Kabupaten Semarang.
2. Mendapatkan faktor keamanan menggunakan aplikasi *Plaxis* serta perhitungan manual.

1.5 Lokasi Penelitian

Pada penelitian ini untuk lokasi tempatnya adalah di daerah Desa Gemawang, Kecamatan Jambu, Kabupaten Semarang, adapun peta lokasi penelitiannaya adalah sebagai berikut:



Gambar 1. 1 Peta Lokasi

1.6 Sistematik Penulisan

Pada penulisan tugas akhir ini untuk sistematik penulisannya terdapat lima bab pembahasan, untuk isi dan uraian lengkap dari lima bab tersebut adalah :

1. BAB I: PENDAHULUAN

BAB I ini menjelaskan latar belakang penelitian, rumusan masalah yang di dapat untuk dasar penelitian, tujuan di lakukakanya penelitian, Batasan masalah untuk penelitian, lokasi penelitian. Serta sistematik penulisan.

2. BAB II: STUDI PUSTAKA

BAB II menjelaskan dasar teori-teori serta rumus rumus perhitungan menurut pedoman yang berguna untuk pembahasan dan pemecahan rumusan masalah yang di dapatkan menurut pengamatan para ahli dengan rumusan masalah yang sama.

3. BAB III: Metode penelitian

BAB III Menjelaskan bagaimana alur dari penelitian dengan menggunakan metode dan asumsi dengan cara melakukan analisis dan pengumpulan data-data yang di pelukan untuk mencari solusi permasalahan.

4. BAB IV: HASIL DAN PEMBAHASAN

BAB IV ini menjelaskan hasil dari pembahasan penelitian yang diangkat dari rumusan masalah dan didapatkan hasil sesuai metode metode yang digunakan serta pendapat pendapat dari para ahli di bidangnya agar hasil dari penelitian bisa mencari solusi untuk rumusan masalah yang di ambil untuk penelitian ini

5. BAB VI: PENUTUP

BAB VI ini menjelaskan tentang semua bab yang sebelumnya dari penulisan tugas akhir yang kemudian disimpulkan yang kemudian untuk bahan seba pertimbangan.



BAB II

STUDI PUSTAKA

2.1 Tinjauan Umum

Tanah adalah material padat yang tidak terikat secara kimia (tidak tersementasi) satu sama lain terdiri dari agregat (butiran) mineral-mineral dari bahan organik yang telah melapuk yang berpartikel padat disertai zat cair juga gas yang mengisi ruang kosong antar partikel-partikel padat tersebut (Das,1995). Tanah merupakan campuran dari mineral-mineral, baik itu bahan organik ataupun tidak organik yang telah melepuh, dan endapan endapan material lain didalamnya. Rongga tanah atau ruang kosong pada tanah berisikan partikel-partikel gan dan air yang saling berikatan dengan material tanah. Tanah yang berasal dari batuan terbentuk karena pelapukan fisika maupun kimia yang berjalan dengan waktu tertentu yang dipengaruhi oleh faktor luar sehingga terjadi pelapukan. Dalam teknik sipil terdapat istilah yang dipakai untuk membedakan jenis-jeni tanah seperti kerikil, pasir, lanau, dan lempung. Tanah pada suatu daerah berbukit sangat rawan akan terjadinya longsor, untuk itu diperlukan penambahan suatu kontruksi untuk menstabilkan tanah di daerah yang rawan akan terjadinya longsor yang bisa membuat kerugian materil atau kerugian lainya.

2.2 Penyelidikan Tanah

Dalam tahapan awal pembuatan dinding penahan tanah untuk penstabilan lereng dilakukan penyelidikan tanah di lapangan dahulu lalu dilanjutkan di laboratorium guna mendapatkan karakteristik tanah, sifat tanah, daya dukung tanah, dan kondisi geologi tempat pengambilan sampel tanah.

2.3 Klasifikasi Tanah

Sistem klasifikasi tanah adalah suatu sistem pengaturan beberapa jenis tanah yang berbeda tetapi mempunyai sifat yang serupa ke dalam kelompok-kelompok dan sub-sub kelompok berdasarkan pemakaiannya (Das.1993). Sistem klasifikasi tanah bertujuan untuk mempermudah dalam

membedakan dan menjelaskan sifat-sifat tanah yang bervariasi kedalam penjelasan yang singkat dan tidak terperinci. Sehingga sangat membantu dalam penelitian tanah untuk mengetahui tanah-tanah bersifat tertentu.

Ada beberapa sistem klasifikasi tanah salah satunya adalah sistem klasifikasi AASHTO (*American Association of state Highway and Transportation Official*) dan sistem klasifikasi tanah *Unified* (USCS)

A. Sistem Klasifikasi Tanah ASSTHO

Dalam sistem klasifikasi ASSTHO yang dikembangkan dalam tahun 1929 terdapat 8 pembagian kelompok tanah, mulai dari A-1 sampai A-8 sudah termasuk sub-sub kelompok. Sistem Klasifikasi Tanah ASSTHO seperti dalam tabel 2.1 dan 2.2 berikut :

Tabel 2. 1 Klasifikasi Tanah Untuk Dasar Jalan Raya, AASHTO

Klasifikasi Umum	Bahan-bahan berbutir (35% atau kurang lolos No.200)						
	A-1		A-3	A-2			
Klasifikasi Kelompok	A-1a	A-1b		A-2-4	A-2-5	A-2-6	A-2-7
Analisis Saringan Persen lolos :							
No.10	≤ 50						
No. 40	≤ 30	≤ 50	≤ 51				
No. 200	≤ 15	≤ 25	≤ 10	≤ 35	≤ 35	≤ 35	≤ 35
Karateristik fraksi Lolos No.40							
Batas Cair				≤ 40	≤ 41	≤ 40	≤ 41
Indeks Plastisitas	≤ 50	N.P.		≤ 10	≤ 10	≤ 11	≤ 10
Indeks Kelompok	0	0	0				≤ 4
Jenis-jenis bahan Pendukung utama	Fragmen batu pasir dan kerikil halus	Pasir	Kerikil dan pasir berlanau atau berlempung				
Tingkatan umum sebagai tanah dasar	Sangat baik sampai baik						

Tabel 2. 2 Klasifikasi Tanah Sistem AASTHO

Klasifikasi Umum	Tanah Granuler	Tanah mengandung Lanau-Lempung				
Kelompok	A-2	A-4	A-5	A-6	A-7	
	A-2-7				A-7- ^b	A-7- ^c
Persen Lelos Saringan						
No. 10						
No. 20						
No. 200	35 max	36	36	36 min	36	36 min
Batas Cair ²	41 min	40	41	40 min	40	41 min
Indeks Plastisitas ³	11 min	10 min	10	10 min	10	11 min
Fraksi Tanah	Kerikil, pasir		Lanau		Lempung	
Kondisi Kuat	Sangat Baik		Kurang baik hingga jelek			

B. Sistem Klasifikasi Tanah *Unified*

Sistem Klasifikasi tanah *Unified* atau Unified Soil Classification System (USCS). Sistem *Unified* juga digunakan untuk menjadi standar dari (ASTM) American Society for Testing and Materials dalam mengklasifikasi tanah. Klasifikasi tanah *Unified* sebagai berikut :

1. Tanah berbutir kasar atau *coarse-grained soils* terdiri dari pasir dan kerikil yang lolos saringan No.200 dengan presentase kurang dari 50% ($F_{200} < 50$). Dengan pemberian simbol G untuk kerikil (*Gravel*) atau tanah berkerikil (*Gravely soil*) dan simbol S untuk pasir (*sand*) atau tanah berpasir (*sandy Soil*).
2. Tanah berbutir halus atau *fine-grained soils* terdiri dari tanah yang lolos dari saringan No. 200 dengan presentase lebih dari 50% ($F_{200} \geq 50$). Dengan pemberian simbol M untuk lanau inorganik (*inorganic silt*), simbol C untuk lempung inorganik (*inorganic clay*), simbol O untuk lanau dan lempung organik. Simbol Pt untuk gambut (*peat*) dan tanah dengan kandungan organik yang tinggi. Simbol W untuk gradasi baik (*well graded*), simbol P untuk gradasi buruk (*poorly graded*), simbol L untuk plastisitas rendah (*low plasticity*), dan simbol H untuk plastisitas tinggi (*high plasticity*).

Sistem Klasifikasi *Unified* dapat dilihat pada tabel 2.3 berikut

Tabel 2. 3 Klasifikasi Unified

Jenis Tanah	Simbol	Sub Kelompok	Simbol
Kerikil	G	Gradasi Baik	W
		Gradasi Buruk	P
Pasir	S	Berlanau	M
		Berlempung	C
Lanau	M		
Lempung	C	WL<50%	L
Organik	O	WL>50%	H
Gambut	Pt		

(Sumber : Bowles ,1991)

Dengan :

G = *Gravelly Soil* (tanah berkerikil)

S = *Sandy Soil* (tanah berpasir)

M = *Inorganic Silt* (tanah lanau inorganic)

C = *Inorganic Clay* (tanah lempung inorganik)

O = *Organic Clay/Silt* (tanah lempung/lanau organik)

Pt = *Peat* (tanah gambut)

W = *Well Graded* (tanah dengan gradasi baik)

P = *Poorly Graded* (tanah dengan gradasi buruk)

L = *Low Plasticity* (plastisitas rendah),LL<50)

H = *High Plasticity* (plastisitas tinggi,LL>50)

2.4 Parameter Tanah

2.4.1 Parameter Tanah Data Sondir

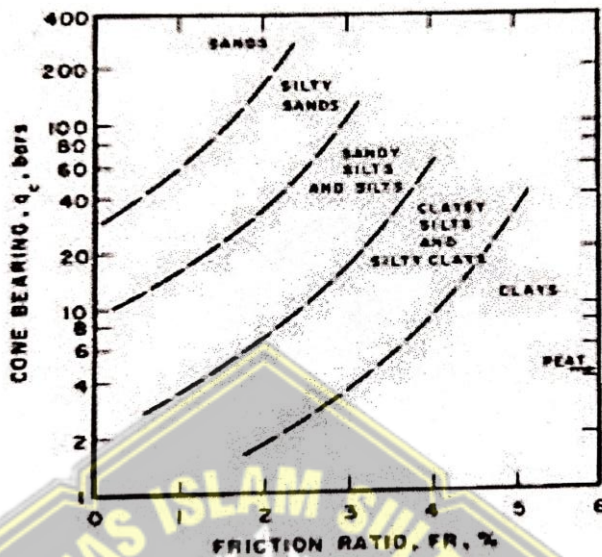
Dalam pengujian sondir di lapangan tiap interval per 2 meter kedalaman memuat hasil bacaan manomerter sampai ke dalam akhir konus, bacaan pertama merupakan perlawanan konus (q_c) dan perlawanan geser ($q_c + F_s$) yang digunakan untuk menentukan jenis tanah yang ditunjukkan dalam tabel berikut :

Tabel 2. 4 Klasifikasi Tanah

Hasil Sondir		Klasifikasi
Qc	Fs	
6,0	0,15	Humus lempung sangat lunak
6,0-10,0	0,20	Pasir kelanauan lepas,pasir sangat lepas
	0,20-0,60	Lempung lembek, lempung kelanauan lembek
10,0-30,0	0,10	Kerikil lepas
	0,10-0,40	Pasir lepas
	0,40-0,80	Lempung atau lempung kelanauan
	0,80-2,00	Lempung agak kenyal
30-60	1,50	Pasir kelanauan, pasir agak padat
	1,0-3,0	Lempung atau lempung kelanauan kenyal
60-150	1,0	Kerikil kepasiran lepas
	1,0-3,0	Pasir padat, pasir kelanauan atau lempung padat dan lempung kelanauan
	3,0	Lempung kerikilan kenyal
Hasil Sondir		Klarifikasi
150-300	1,0-2,0	Pasir padat, pasir kerikilan, pasir kasar pasir, pasir kelanauan sangat padat

(Sumber : Braja M. Das, 1998)

Untuk Menentukan jenis tanah juga dapat menggunakan grafik hubungan antara tekanan conus (q_c) dan perlawanan geser (Fr) seperti pada gambar dibawah :



Gambar 2. 1 Grafik Hubungan Tekanan Conus Dengan Perlawan Geser

2.4.2 Parameter Tanah Berdasarkan Standart Penetration Test

Hubungan antara berat jenis tanah kering, kepadatan tanah, berat jenis tanah jenuh, nilai N-SPT, daya dukung tanah (q_c), sudut geser tanah (ϕ) adalah sebanding, yaitu semakin tinggi dari nilai N-SPT, (q_c), (ϕ) maka semakin tinggi kekerasan tanah, ini bisa dilihat pada tabel 2.5.

Tabel 2. 5 Hubungan Antara Kepadatan, Berat Jenis Tanah Kering, Nilai N-SPT, qc, dan

Kepadatan	Berat Jenis Tanah Kering	Nilai N SPT	Tekanan Conus qc (kg/cm ²)	Sudut Geser(ϕ)
<i>Very loose</i> (sangat lepas)	< 0,2	< 4	< 20	< 30
<i>Loose</i> (lepas)	0,2 - 0,4	4 - 10	20- 40	30 – 35
<i>Medium Dense</i> (agak padat)	0,4 - 0,6	10 – 30	40 – 120	35 – 40
<i>Dense</i> (padat)	0,6 - 0,8	30 – 50	120 – 200	40 – 45
<i>Very Dense</i> (sangat padat)	0,8 – 10	>50	>200	>45

(Sumber : Mayerhof, 1965)

Tabel 2. 6 Hubungan Antara Nilai N-SPT Dengan Berat Jenis Tanah Jenuh

N-SPT (blows/ft)	Konsentrasi	q_u (Unconfined Compressive Strength) ton/ft ²	γ_{sat} (Kn/m ³)
< 2	Very soft	< 0,25	16 – 19
2 – 4	Soft	0,25 - 0,50	16 – 19
4 – 8	Medium	0,5 – 1,00	17 – 20
8 – 15	Stiff	1,00 – 2,00	19 – 22
15 – 30	Very stiff	2,00 – 4,00	19 – 22
> 30	Hard	>4,00	19 – 22

(Sumber : Terzaghi and Peck, 1948)

Tabel 2. 7 Hubungan Antara Nilai Tipikal Tipikal Berat dan Volume Kering

Jenis Tanah	γ_{sat} (kN/m ³)	γ_{dry} (kN/m ³)
Kerikil	20 – 22	15 – 17
Pasir	18 – 20	13 – 16
Lanau	18 – 20	14 – 18
Lempung	16 – 22	14 – 21

(Sumber : Jhon Wiley and Sons, 2000)

2.4.3 Permeabilitas (Permeability)

Permeabilitas tanah adalah kemampuan tanah untuk meloloskan atau melewatkkan air. Permeabilitas tanah juga merupakan suatu kesatuan yang meliputi infiltrasi tanah dan bermanfaat sebagai permudahan dalam pengolahan tanah. Tanah dengan permeabilitas tinggi dapat menaikkan laju infiltrasi sehingga menurunkan laju air larian (Rohmat, 2009)

Koefisien tanah dipilih berdasarkan penelitian yang dilakukan Wesley pada tahun 1977 tentang koefisien permeabilitas pada jenis tanah. Pada tabel 2.8 berikut:

Tabel 2. 8 Nilai Permeabilitas (k) Dalam Satuan(m/s)

Ukuran Partikel	Koefisien Permeabilitas,k(m/s)
Pasir berlempung, pasir berlanau	$5 \times 10^{-5} - 1 \times 10^{-4}$
Pair halus	$1 \times 10^{-5} - 5 \times 10^{-5}$
Pasir kelanauan	$1 \times 10^{-6} - 2 \times 10^{-5}$
Lanau	$1 \times 10^{-7} - 5 \times 10^{-6}$
Lempung	$1 \times 10^{-11} - 1 \times 10^{-8}$

(Sumber : Wesley, 1977)

2.4.4 Modulus Young dan Poisson Ratio (v)

Nilai *Modulus Young* adalah perbandingan antara tegangan dan regangan dari suatu benda dilambangkan dengan E. Nilai *poisson ratio* ditentukan sebagai rasio kompresi poros terhadap regangan pemuaian lateral. Nilai *poisson ratio* dan modulus elastisitas (Es) dapat ditentukan jenis tanhnya pada tabel berikut :

Tabel 2. 9 Hubungan Modulus Elastisitas (Es) Dan Nilai poisson ratio

Type of soil	Young's modulus (Es)		Poisson ratio
	MN/m ²	Ib/in ²	
Loose sand	10,35 – 24,15	1500 – 3500	0,20 – 0,40
Medium dense sand	17,25 – 27,60	2400 – 4000	0,25 – 0,40
Silty sand	10,35 – 17,25	1500 – 2500	0,2 – 0,40
Sand and Gravel	69,00 – 172,50	10000 – 25000	0,15 – 0,35
Soft clay	2,07 – 5,18	300 – 750	0,20 – 0,50
Medium clay	5,18 – 10,35	750 – 1500	
Stiff clay	10,35 – 24,15	1500 – 3500	

(Sumber : Mayerhof, 1956)

2.4.5 Sudut Geser Dalam

Sudut geser dalam merupakan sudut yang terbentuk karena hubungan antara tegangan normal dan tegangan geser yang terdapat pada tanah atau batuan. Sudut geser dalam dengan kohesi menentukan ketahanan tanah yang diakibatkan tekanan lateral tanah. Nilai tersebut juga didapatkan oleh pengukuran *engineering properties* tanah berupa *Direct Shear Test*. Hubungan antara sudut geser dalam dan jenis tanah ditunjukkan pada Tabel 2.10 :

Tabel 2. 10 Hubungan Antara Sudut Geser Dalam Dengan Jenis Tanah

Jeni Tanah	Sudut Geser Dalam
Kerikil kepasiran	35 – 40
Kerikil kerakal	35 – 40
Pasir padat	35 – 40
Pasir lepas	30
Lempung kelanauan	25 – 30
Lempung	20 – 25

(Sumber : Braja M. Das, 1998)

2.4.6 Kohesi

Kohesi adalah gaya tarik menarik antar partikel batuan, yang dinyatakan dalam satuan berat persatuan luas. Semakin besar kekuatan geser menyebabkan semakin besar nilai kohesi batuan. Nilai suatu kohesi didapatkan melalui pengujian Direct Shear Test. Nilai kohesi secara empiris dapat ditentukan dengan mengetahui data sondir nilai konus (qc).

Tabel 2. 11 Hubungan Antara N-SPT, Kohesi, Sudut Geser Tanah

N – SPT	c	φ
0 – 2	12,5	0
2 – 4	12,5 – 25	0
4 – 8	25 – 50	0
8 – 15	50 – 100	0
15 – 30	100 – 200	0
>30	> 200	0

(Sumber : Article Stabilitation Project, 2000)

2.5 Kekuatan Geser Tanah

Kekuatan geser tanah adalah gaya perlawanan yang dilakukan oleh butir-butir tanah terhadap desakan atau tarikan. Gangan dasar pengertian ini, bila tanah mengalami pembebahan akan ditahan oleh (Hardiyatmo, 2002) :

1. Kohesi tanah yang bergantung pada jenis tanah dan kepadatanya, tetapi tidak tergantung dari tegangan normal yang bekerja pada bidang geser.
 2. Gesekan antara butir-butirtanah yang besarnya berbanding lurus dengan tegangan normal pada bidang gesernya.

Rumus Kekuatan geser tanah tak jenuh :

$$\tau s = c + (\sigma - u) \tan \varphi \dots \quad (2.2)$$

Dimana :

τ_s = Kekuatan geser

c = Kohesi

σ = Tegangan total pada bidang geser

φ = Sudut geser

Rumus Kekuatan geser tanah jenuh :

Pada tanah jenuh, total tegangan normal pada suatu titik besarnya sama dengan tegangan efektif ditambah tegangan air pori.

2.6 Tanah longsor

Tanah longsor adalah perpindahan material pembentuk lereng berupa batuan, bahan rombakan , tanah atau materia laporan bergerak ke bawah atau keluar lereng. Secara geologis tanah longsor adalah suatu peristiwa geologi dimana terjadi pergerakan tanah seperti jatuhnya bebatuan atau gumpalan besar tanah (Nandi, 2007) dalam Arif. 2015.

Intinya longsor akan terjadi apabila gaya pendorong lebih besar dari gaya penahan longsor dan akhirnya menyebabkan longsor. Banyak faktor yang bisa menyebabkan longsor. Diantaranya sebagai berikut :

1. Hujan

Air pada yang disebabkan hujan akan memasuki pori-pori pada tanah sehingga tanah ikut mengembang, penambahan volume dan massa karena air akan memperbesar kemungkinan terjadinya longsor.

2. Lereng Terjal

Lereng terjal atau daerah yang memiliki kemiringan ekstrim akan memperbesar gaya pendorong.

3. Tanah Kurang Padat

Tanah yang kurang padat sangat risikan terjadinya longsor, karena ikatan antar tanah yang tidak kuat serta terdapat banyak pori-pori yang bisa tersuspi oleh air. Jenis tanah yang kurang padat biasanya pada tanah lempung, tanah lempung sangat mudah kering bila terjadi kemarau, serta gampang berkembang bila pada musim hujan karena adanya pori-pori tanah.

4. Batuan yang Kurang Kuat

Batuan endapan dari gunung berapi dan sendimen camuran antara pasir, kerikil, dan lempung merupakan campuran yang kurang kuat. Batuan yang terjadi saat masih awal terjadinya letusan gunung sangat mudah terjadinya pelapukan dan rentan terjadi longsor pada daerah lereng yang terjal.

5. Jenis Tata Lahan

Tanah longsor sering terjadi pada penyalah gunaan tata lahan, lahan yang rawan terjadinya longsor harus bebas dari penggunaan tanaman pertanian dan ditanami tanaman yang kuat akarnya dalam menahan tanah.

6. Getaran

Getaran salah satu penyebab terjadinya longsor, getaran biasanya bersumber dari gempa bumi, ledakan, getaran mesin, dan arus lalu lintas. Akibatnya membuat tanah bergerak dan bisa terjadi longsor.

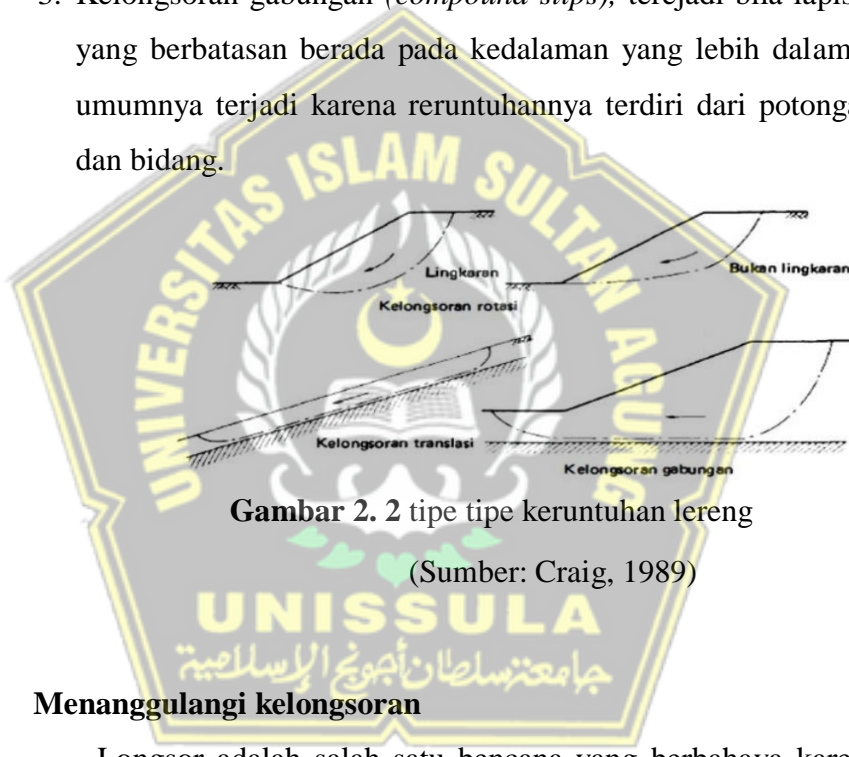
(Sumber : Firman, 2015)

Menurut Craig (1989), gaya-gaya gravitasi dan rembesan (*seepage*) menyebabkan ketidakstabilan (*instability*) pada lereng alami (*natural*

slope), pada lereng yang dibentuk dengan cara penggalian, pada tanggul, dan bendungan tanah (*earth dams*).

Ada 3 tipe kelongsoran tanah menurut *craig*, yaitu sebagai berikut :

1. Kelongsoran rotasi (*rotation slips*), yaitu kelongsoran yang bentuk permukaan runtuh pada potongannya dapat berupa busur lingkaran atau kurva bukan lingkaran.
2. Kelongsoran translasi (*translation slips*), cenderung terjadi bila lapisan tanah yang berbatasan berada pada kedalaman yang relatif dangkal dibawah permukaan lereng.
3. Kelongsoran gabungan (*compound slips*), terjadi bila lapisan tanah yang berbatasan berada pada kedalaman yang lebih dalam. Hal ini umumnya terjadi karena reruntuhan terdiri dari potongan kurva dan bidang.



Gambar 2. 2 tipe tipe keruntuhan lereng

(Sumber: Craig, 1989)

2.7 Menanggulangi kelongsoran

Longsor adalah salah satu bencana yang berbahaya karena dapat membuat kerugian yang besar secara materil, serta dapat menimbulkan korban jiwa. Kedatangan longsor sering terjadi secara mendadak, oleh karena itu harus dilakukan upaya-upaya untuk menanggulangi dan mengantisipasi terjadinya longsor, dengan memperbaiki atau menstabilkan lereng pada suatu tempat. Menurut (Wesley, 1977) terdapat dua cara untuk membuat lereng lebih aman, yaitu sebagai berikut :

1. Memperkecil gaya penggerak atau momen penggerak

Yaitu dengan mengubah bentuk lereng. Cara yang dilakukan yaitu:

- a. Membuat lereng lebih datar, yaitu dengan mengurangi sudut kemiringan
- b. Memperkecil ketinggian lereng, cara ini hanya dapat dipakai pada lereng yang ketinggiannya terbatas, yaitu dalam hal kelongsoran yang bersifat “*rational slide*”

2. Memperbesar Gaya Melawan

Memperbesar gaya melawan dapat dilakukan dengan beberapa cara, yaitu :

- a. Dengan memakai *counterweight* yaitu tanah timbunan pada kaki lereng.
- b. Dengan mengurangi tegangan air pori di dalam lereng
- c. Dengan cara injeksi, yaitu dengan menambahkan tanah timbunan pada kaki lereng, membuat selokan secara teratur pada lereng dengan mengurangi tegangan air pori pada tanah, dengan menambahkan bahan kimia atau semen dipompa melalui pipa supaya masuk ke dalam lereng.
- d. Dengan cara mekanis, yaitu dengan membuat dinding penahan atau dengan memancang tiang. Cara ini dilakukan jika lereng tersebut mempunyai tingkat kelongsoran yang kecil.

(Sumber : Craig, 1989)

2.8 Dinding Penahan Tanah

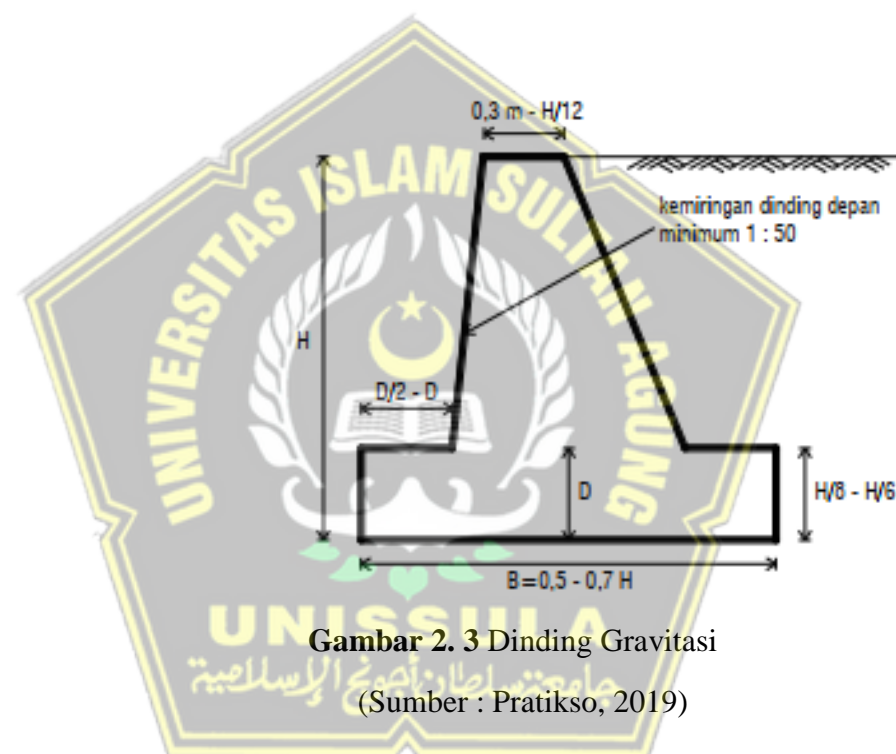
Dinding penahan tanah adalah bangunan yang berfungsi menstabilkan tanah pada kondisi tanah tertentu khususnya untuk areal lereng alam dan lereng buatan serta lereng akibat urugan tanah. (Kalalo, Ticoh, Mandagi, 2017). Kondisi tanah yang terganggu akibat keadaan tertentu, seperti hujan, getaran, gempa, dan lain-lain yang menurunkan kualitas fisik dan kualitas mekanik tanah, akan membahayakan terhadap struktur serta membahayakan manusia. Dinding penahan tanah menjadi salah satu solusi untuk meminimalisir kerugian yang lebih besar materil dan jiwa. Dinding penahan

tanah didesain agar mampu menahan beban dari tanah dan pengaruh beban luar.

Beberapa tipe dinding penahan tanah sebagai berikut :

1. Dinding Gravitasi

Dinding gravitasi adalah dinding penahan yang dibuat dari beton tak bertulang atau pasangan batu. Sedikit tulang beton kadang-kadang diberikan pada permukaan dinding untuk mencegah retakan permukaan akibat perubahan temperatur.



Bentuk dinding penahan harus sedemikian hingga resultan gaya-gaya terletak pada bagian tengah sejarak sepertiga sepertiga lebar atau $e < B/6$ (e = ekstrentis dihitung dari pusat fondasi). Tebal puncak dinding dibuat antara $0.30 - (H/12)$ meter.

Dinding penahan gravitasi umumnya dibuat dari pasangan batu atau beton. Bila penahan dibuat dari beton, sedikit tulangan dibutuhkan untuk menanggulangi perubahan temperatur. Dimensi dinding penahan harus

dibuat sedemikian hingga tidak terdapat tegangan tarik pada badan dinding.

2. Dinding Semi Gravitasi

Dinding semi gravitasi adalah dinding gravitasi yang berbentuk agak ramping. Karena ramping, pada strukturnya diperlukan penulangan beton, namun hanya pada bagian dinding saja. Tulang beton yang berfungsi sebagai pasak untuk menghubungkan bagian dinding dan pondasi.

3. Dinding Kantilever

Dinding kantilever adalah dinding yang terdiri dari kombinasi dinding beton bertulang yang berbentuk huruf *T*. ketebalan dari kedua bagian ini relatif tipis dan secara penuh diberi tulangan untuk menahan momen dan gaya lintang yang bekerja padanya.



Gambar 2. 4 Dinding Gravitasi

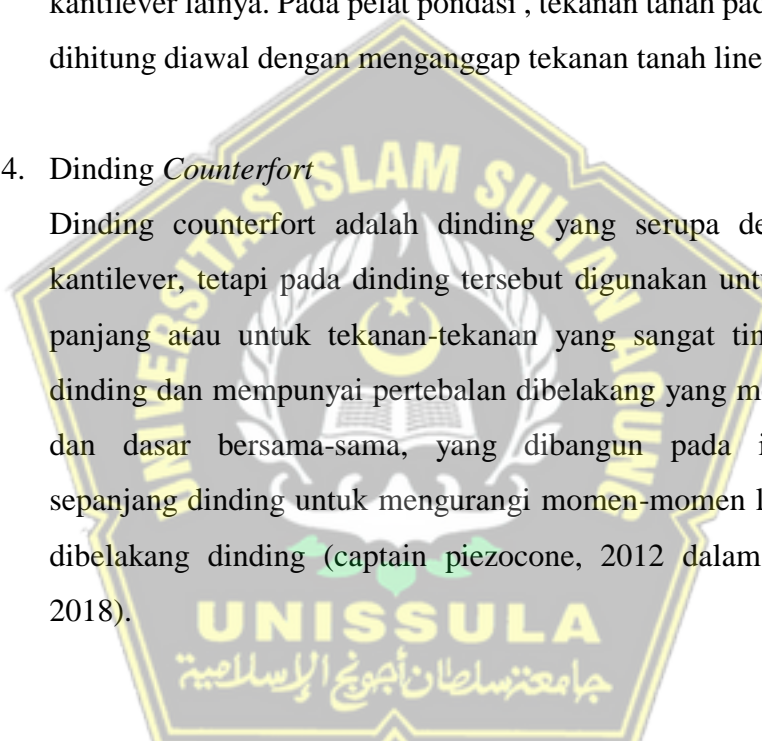
(Sumber : Pratikso,2019)

Dimensi pelat dasar dinding kantilever dibuat sedemekiaan hingga eksentrisitas resultan beban terletak pada $e < (B/6)$. Jika resultan beban jatuh diluar daerah tersebut, tekanan pondasi menjadi terlalu besar dan hanya sebagian luasan pondasi yang mendukung beban. Tebal puncak dinding minimum 0.20 m, kecuali untuk memudahkan pengecoran beton. Dinding kantilever terdiri dari pelat pondasi depan, pelat pondasi belakang, dan dinding.

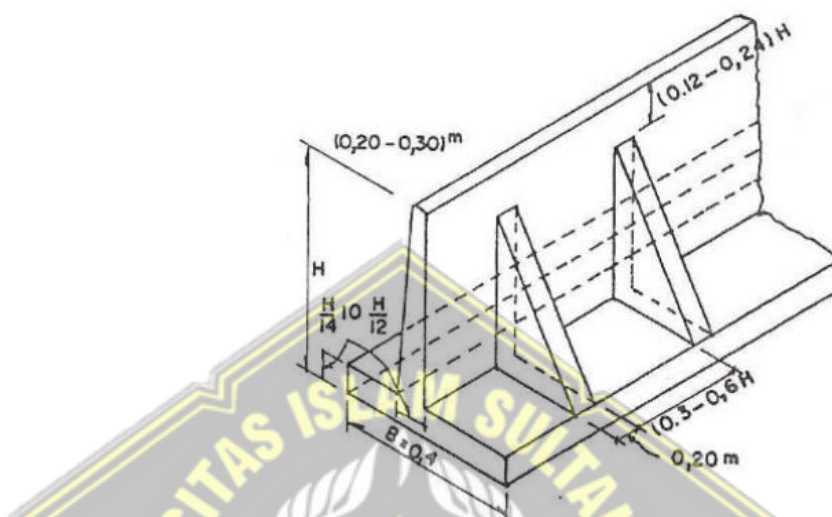
Dalam merancang dinding kantilever seperti merancang struktur kantilever lainya. Pada pelat pondasi , tekanan tanah pada dasar pondasi dihitung diawal dengan menganggap tekanan tanah linear.

4. Dinding *Counterfort*

Dinding counterfort adalah dinding yang serupa dengan dinding kantilever, tetapi pada dinding tersebut digunakan untuk konsol yang panjang atau untuk tekanan-tekanan yang sangat tinggi dibelakang dinding dan mempunyai pertebalan dibelakang yang mengikat dinding dan dasar bersama-sama, yang dibangun pada interval-interval sepanjang dinding untuk mengurangi momen-momen lentur dan geser dibelakang dinding (captain piezocone, 2012 dalam Mukhriansyah 2018).



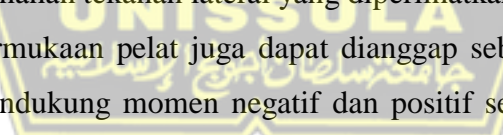
Dinding *counterfourt* biasanya digunakan jika tinggi dinding (H) lebih dari 6 m. Untuk menentukan jarak dilakukan dengan percobaan dan segi ekonomis dengan kisaran 0.4-0.7 H, kepala dinding dibuat berkisar 0.2-0.3 m. contoh gambar bisa dilihat sebagai berikut :



Gambar 2. 5 Dinding penahan tanah tipe Counterfort

(Sumber : Hardiyatmo, 2002).

Pada perancangan dinding *counterfort* Huntington (1957) mengusulkan cara sebagai berikut :

- 
 1. Permukaan pelat dianggap sebagai pelat horizontal menerus yang menahan tekanan lateral yang diperlihatkan pada gambar
 2. Permukaan pelat juga dapat dianggap sebagai pelat vertikal yang mendukung momen negatif dan positif seperti yang diperlihatkan dalam gambar
 3. Kaki pondasi belakang harus mendukung gaya ekivalen ke bawah. Gaya ini harus ditambahkan pada gaya-gaya pada gambar. Gaya ekivalen dievaluasi dengan memperhitungkan pengaruh momen lentur kaki depan pondasi dianggap didistribusi secara parabolis dengan nilai maksimum w_h pada ujung kaki.

Dengan :

M₁ = momen lentur per meter pada bagian kaki
 a = panjang kaki belakang diukur dari belakang permukaan dinding belakang ke ujung kaki

2.9 Stabilitas Dinding Penahan

Hal-hal yang ditinjau dalam stabilitas dinding penahan tanah adalah sebagai berikut :

1. Penggulingan dan pergeseran harus mencukupi faktor aman.
 2. Daya dukung tanah izin harus lebih besar dari tekanan pada dasar pondasi.
 3. Tidak boleh adanya penyumbatan dan penurunan tidak seragam yang berlebihan.
 4. Secara keseluruhan stabilitas lereng harus memenuhi syarat.

2.10 Stabilitas terhadap penggeseran

Gaya-gaya yang menggeser dinding penahan akan ditahan oleh

1. Gesekan antara tanah dan dasar pondasi.
 2. Tekanan tanah pasif bila di depan dinding penahan terdapat tanah timbunan.

Faktor aman terhadap penggeseran (F_{gs}), didefinisikan sebagai berikut :

$$F_{\text{G}} = \frac{\sum R_h}{\sum P_h} \geq 1. \quad \dots \quad (2.4)$$

Untuk tanah granular ($c=0$)

$$R_h \equiv Wf \quad (2.5)$$

$$= W \tan \delta_k$$

Dengan $\delta h < \emptyset$

Untuk tanah kohesif ($\phi = 0$)

$$\Sigma R_b = c_a B \dots \quad (2.6)$$

Untuk tanah $c - \emptyset$ ($\emptyset \geq 0$ dan $c \geq 0$)

Dengan :

ΣR_h = tahanan dinding penahan terhadap penggeseran

W = berat total dinding penahan dan tanah diatas plat pondasi

δ_h = sudut gesek antara tanah dan dasar pondasi biasanya diambil $(1/3 - 2/3) \phi$.

$c_a = a_d \times c$ = adesi antara tanah dan dasar dinding.

c = kohesi tanah dasar

a_d = adesi

B = lebar pondasi

$\Sigma P_h = jumlah\ gaya-gaya\ horizontal$

$f = \tan \delta_b$ = koefisien gesek antara tanah dasar dan dasar pondasi

faktor aman terhadap penggeseran dasar pondasi (*Fgs*) minimum, diambil 1,5 bowles (1997) dalam (Hardiyatmo,2002),menyarankan :

Fgs ≥ 1,5 untuk tanah dasar granular

Fgs ≥ 2 untuk tanah dasar kohesif

2.11 Stabilitas Terhadap Penggulingan

Tanah urug dibelakang dinding penahan tanah menyebabkan tekanan lateral, dapat menggulingkan dinding pada rotasi di ujung kaki pondasi. Momen berat sendiri dan momen berat tanah diatas pelat pondasi melawan momen penggulingan.

Faktor aman terhadap penggulingan (Fgl) dibawah ini :

Dengan

$$\sum M_w = W b_1$$

$$\sum M_{gl} = \sum P_{ah} h_1 + \sum P_{av} B$$

$\sum M_w$ = momen yang melawan penggulingan (t.m)

ΣM_{gl} = momen yang mengakibatkan penggulingan (t.m)

$W = \text{berat tanah diatas pelat pondasi} + \text{berat sendiri dinding penahan (t)}$

B = lebar kaki dinding penahan (m)

ΣP_{ah} = jumlah gaya-gaya horizontal (t)

$\sum P_{av}$ = jumlah gaya-gaya vertikal (t)

Faktor aman terhadap penggulingan (Fgl) bergantung pada jenis tanah yaitu :

$Fgl \geq 1.5$ untuk tanah granuler

$Fgl \geq 2$ untuk tanah dasar kohesif

Gambar 2.6 Stabilitas Terhadap Penggeseran dan Penggulingan



(Sumber : Hardiyatmo,2002 dalam Ramadhani,2010)

2.12 Stabilitas Terhadap Keruntuhan Kapasitas Daya Dukung Tanah

Dengan :

c = kohesi tanah (t/m^2)

D_f = kedalaman pondasi (m)

Y = berat pondasi dinding penahan tanah (m')

B = lebar pondasi dinding penahan tanah (m)

N_c , N_q , dan N_y = faktor-faktor kapasitas daya dukung terzaghi

Faktor aman terhadap keruntuhan :

$$F = \frac{q_u}{q} \geq 3 \quad \dots \dots \dots \quad (2.10)$$

Dengan $q =$ tekanan akibat beban struktur . keruntuhan tanah dasar faktor aman diambil minimal 3.

(Sumber :Ramadhani,2010)

2.13 Program Plaxis

Plaxis adalah program rekayasa geoteknik yang dikembangkan untuk untuk menganalisis deformasi, stabilitas,dan air tanah dalam perencanaan sipil. Paket-paket program elemen untuk mendesain dan rekayasa geoteknik yang digunakan diseluruh dunia. Grafik yang ada yaitu prosedur-prosedur input data yang mudah dan dapat mendesain model elemen serta menghasilkan output hasil hitungan secara otomatis dan tepat. Plaxis dikembangkan di *Delft University of Technology* pada tahun 1987, yang di inisiatifkan oleh Kementerian PU dan Pengelolaan air (Rijkswaterstaat) Belanda.

Pengujian tanah lokasi penelitian menjadi nilai parameter yang digunakan sebagai data, selanjutnya data tersebutlah yang dipakai untuk di input dalam program plaxis. Urutan dalam penggunaan progam plkaxis sebagai berikut :

1. Memasukkan judul, elemen,dan model pada pilihan yang tersedia serta mengambil perintah yang akan digunakan
 2. Mencantumkan dimensi tanah dari atas, bawah ,dan kanan kiri
 3. Membuat bentuk dimensi tanah yang selanjutnya diberikan beban diatasnya
 4. Dalam parameter tanah dengan mengatur : kohesi, regangan lateral, poisson ratio, dan lain sebagainya.

Dengan program PLAXIS 2D geometri kita dapat dengan mudah mengaplikasikan mode tanah dan struktur, dengan padat independen yang bisa disatukan dan dipotong. Modus konstruksi memungkinkan untuk

proses konstruksi dan penggalian dengan menonaktifkan dan mengaktifkan cluster obyek dan tanah.

Aplikasi PLAXIS 2D adalah program geoteknik yang fleksibel. Simulasi-simulasi yang realistik dari mulai tahap konstruksi, perhitungan kuat dan bisa diandalkan, serta setelah pengolahan yang rinci , sehingga menemukan solusi lengkap untuk desain geoteknik yang dibutuhkan



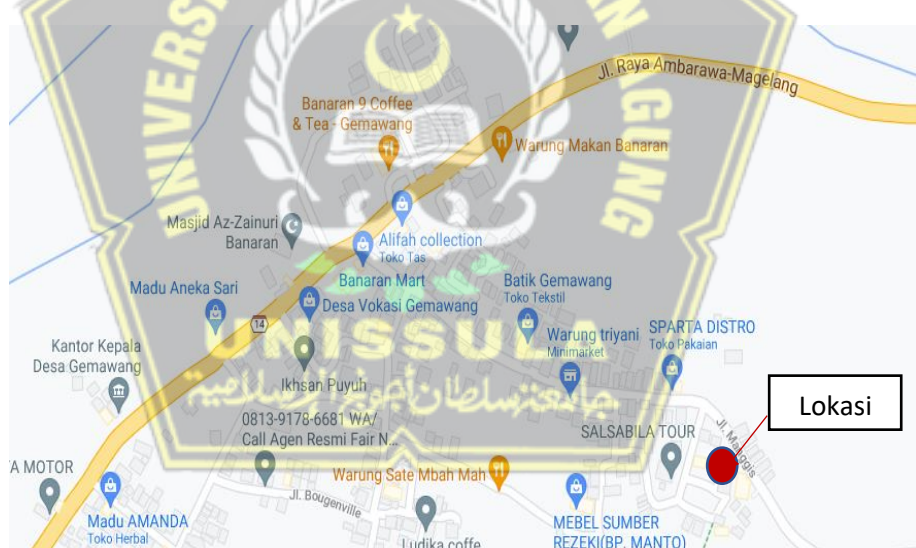
BAB III

METODOLOGI

3.1. Pendahuluan

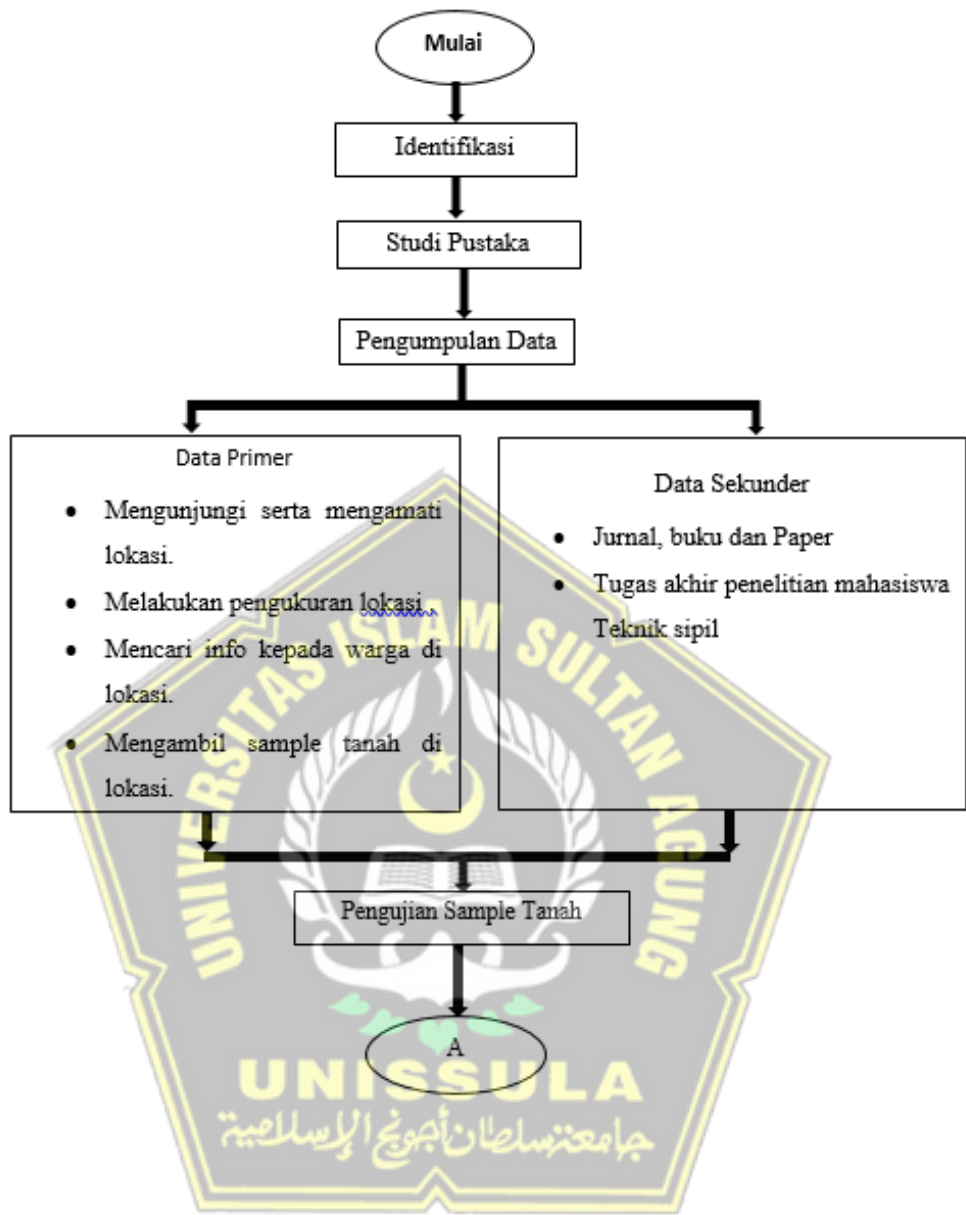
Metodolodi dalam penyelesaian laporan penelitian pengertiannya adalah sebuah Langkah Langkah yang perlu di gunakan untuk menyusun laporan penelitian agar penilitian tersebut terbentuk secara sistematik. Dan tujuan metodologi ini di kerjakan adalah untuk mendapatkan hasil atau memecahkan masalah pada penelitian serta mendapatkan data data yang menunjang untuk mendukung pembuatannya laporan penelitian tersebut.

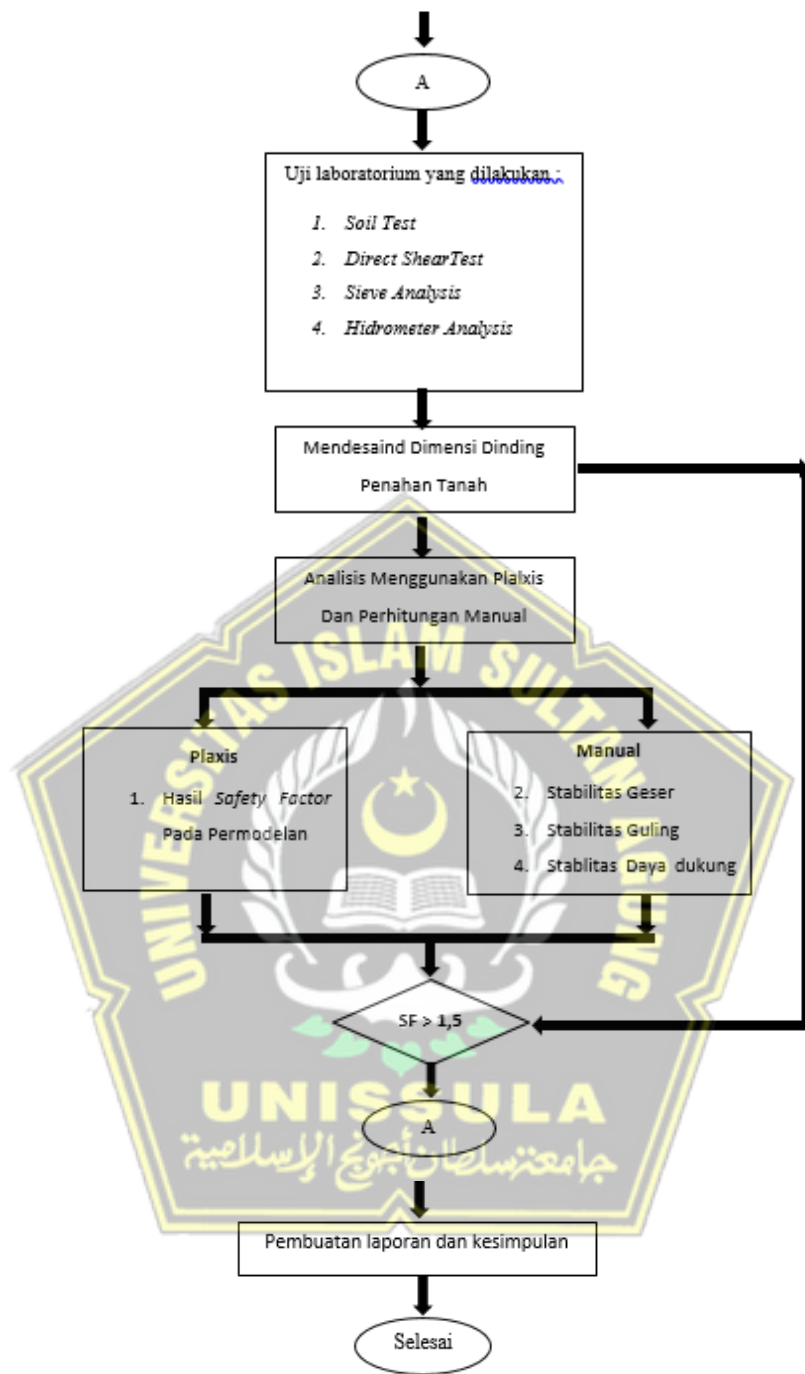
Pembuatan laporan penelitian ini mengambil dari studi kasus tanah longsor di daerah kec. Jambu kab semarang, Adapun maksud dari tujuan pembuatan laporan ini adalah mencari solusi yang baik untuk di gunakan di daerah tersebut, dan untuk peta lokasinya adalah gambar di bawah ini.



Gambar 3. 1 Lokasi Terjadinya Longsor

Lokasi di atas adalah lokasi rumusan masalah yang gunakan untuk penelitian dimana pada lokasi di atas peneliti menganalisa dan mencari informasi tentang masalah yang terjadi contohnya menganalisa bagaimana sifat tanah di daerah tersebut, dan mendapatkan data guna melakukan tahap perbaikan menggunakan aplikasi *Plaxis*, penelitian ini menggunakan diagram alur seperti pada di bawah ini.





Gambar 3. 2 Diagram Alur Penelitian

3.2. Studi Pustaka

Penelitian dan penyusunan tugas akhir ini mengambil studi pustaka dari beberapa buku, jurnal, paper, makalah, laporan, dan hasil dari info warga di sekitar lokasi dan tambahan dari referensi- referensi. Dengan mengambil beberapa referensi- referensi untuk dasar landasan teori dan acuan untuk penyusunan tugas akhir serta di gunakan untuk menganalisa dan menentukan metode yang di gunakan

3.3. Pengumpulan Data

Dalam mencari sebuah solusi untuk rumusan permasalahan perlu di adakannya analisis, yang dimana untuk melakukan analisis tersebut perlu adanya data-data di lapangan, di mana data data yang di dapatkan harus sesuai dengan keadaan yang sesuai di lapangan dengan cara mengadakan beberapa analisis dan metode yang telah di tentukan agar mendapatkan serta mengetahui kondisi tanah secara langsung. Dan untuk metode yang di gunakan dalam pengumpulan data data di bagi menjadi 2 yaitu data primer dan data sekunder.

3.4. Pengujian Sample Tanah

Pengujian sample tanah adalah sebuah metode yang di gunakan untuk mendapatkan data tanah dengan cara melakukan uji laboratorium.

A. Soil Tes

• Mencari Kadar Air

Mencari kadar air adalah sebuah pengujian yang bertujuan untuk mencari presentasi berat air pada suatu tanah terhadap berat tanah keringnya.

• Alat yang digunakan:

- Cawan Aluminium
- Neraca analitis dan anak timbangan
- Oven dengan temperaturnya 105-110°C
- Exicator

B. Mencari Berat Volume Tanah

- Berat volume tanah basah (γ_b)

Tanah memiliki berbagai sifat keadaan yang berbeda salah satunya ialah ada tanah yang padat dan lembek. Pada pengujian mencari berat volume tanah untuk mendapatkan berat volume tanah pada tanah keras bisa langsung menggunakan air raksa. Jika tanah tersebut adalah tanah lunak bisa di keringkan terlebih dahulu

- Alat yang di gunakan
 - Cawan aluminium, cawan kaca
 - Air raksa secukupnya
 - Kaca penekan
 - Neraca analisis dan anak timbangan
 - Oven (untuk tanah basah)
 - Langkah prousedur pengujian
 - Menimbang berat cawan yang kosong, contohnya cawan 1= a gram
 - Mengambil tanah asli kemudian di gelintir, setalh itu di kumpulkan di dalam cawan lalu di timbang, contohnya cawan 2= b gram

- Untuk cara mencari berat tanah pada tabung adalah dengan mengurangkan berat tabung+ tanah dan berat tabung, $W_{tanah} = (W_{tabung} + tanah) - W_{tabung}$
- Kemudian untuk mencari berat volume tanah basah adalah dengan cara membagi berat tanah dengan volume tanah, $\gamma_b = W_{tanah} / V_{tanah}$ dimana $V_{tanah} = V_{tabung}$. Mencari volume tanah basah, $V_{tanah} = \frac{1}{4} \pi \times D^2 \times t$(3.2)
- Mencari berat volume tanah basah (γ_b)
 - $\gamma_b = \frac{(Berat\ cawan+tanah) - Berat\ cawan}{V_{tanah}}$(3.3)
- Berat volume tanah kering (γ_k)

Pengujian mencari berat volume tanah kering adalah sebuah perbandingan antara berat tanah kering dengan volume tanah.

- Alat yang di gunakan
 - Gelas ukur 100 cc
 - Oven
 - Neraca analitis dengan ketelitian 0,01 gr
- Langkah prosedur percobaan
 - Ambil semple secukupnya kemudian di keringkan ke dalam oven
 - Lalu didinginkan, setelah itu menimbang gelas ukur yang akan di gunakan contoh = a gram,
 - Setelah itu gelas ukur di isi dengan sample yang sudah di tentukan volumenya ($V\ cm^3$), lalu di timbang
 - Berat volume kering = $\frac{b-a}{V}\ gr/cm^3$(3.4)
 - Adapun untuk rumus perhitungannya adalah seperti di bawah ini:

$$\gamma_k = \frac{\gamma_b}{1+w}(3.5)$$

Dengan:

γ_k = Berat volume tanah kering (gr/cm^3)

γ_b = Berat volume tanah basah (gr/cm^3)

W = Kadar Air (%)



Gambar 3. 2 Pengujian Soil Test

C. Pegujian Direct Shear Test

Pada uji kali ini tanah atau sample yang di gunakan dengan alat ini adalah pada tanah yang tidak terlalu padat, jadi prcobaan uji coba ini di gunakan untuk tanah lembek dan tanah yang mengandung lumpur.

- Alat yang di gunakan:
 - Timbangan dan anak timbangan atau beban
 - Direct shear test
 - Stop watch
 - Ring pencetak untuk tanah
 - Pisah atau alat pemotong
- Langkah prosdur pengujian
 - Siapkan tanah atau sample yang akan digunakan
 - Kemudian sample di cetak dan di masukan kedalam ring pencetak
 - Siapkan alat direct shear test, stop watch, kemudian dial di atur dalam angka nol
 - Masukan sample yang sudah di dalam ring ke alat direct shear test
 - Sebelum alat direct shear test di putar pasang beban terlebih dahulu di bawah alat
 - Kemudian alat direct shear test di putar pada bagian pemutarnya dan bersamaan di putarnya alat tersebut stop watc mulai di tekan atau dimulai, putaran dilakukan dengan teratur dengan kecepatan

ketika memutar harus sama yaitu dengan sekali putar ± 2 detik. Hal tersebut bertujuan untuk mendapatkan tegangan geser (γ_s).

- Saat tanah sudah bergeser, jarum yang tercatat pada kedudukan jarum tertinggi, demikian juga pada waktu yang berada di stop wacth.
 - Percobaan ini dilakukan beberapa kali di sesuaikan dengan beban dan jumlah sample yang digunakan
 - Hal tersebut berguna untuk mendapatkan tegangan yang berbeda, sehingga hasilnya dapat dibuat grafiknya
- Cara menghitung dan penggambaran untuk mendapatkan c (cohesi) dan \emptyset (sudut geser)
 - Tegangan normal (σ_n)
 - Tegangan normal ialah sebuah perbandingan antara beban normal (P) dengan luas penampang sample (F)
$$\sigma_n = \frac{P}{F}(3.6)$$
 - Tegangan geser (σ_s)
 - Tegangan geser dapatkan dengan cara penunjuk dial dikalikan dengan angka kalibrasinya, setelah itu dibagi dengan luas penampang sample (F)
$$\sigma_s = \frac{\text{gaya geser}}{F}(3.7)$$
 - Penggambaran τ dan \emptyset
 - Angka-angka tegangan geser (τ_s) sebagai sumbu ordinat
 - Angka – angka tegangan normal (τ_n) sebagai sumbu absis
 - Titik- titik koordinat yang dihubungkan oleh garis ini akan memotong sudut koordinat
 - Untuk dapat mencari harga kohesi (c) dapat diukur dari jarak untuk titik potong garis lurus atau terhadap grafik sumbu ordinat ke titik pusat. Pada pengukuran ini, untuk hasilnya dikalikan pada skala yang digunakan

- Dan untuk mendapatkan sudut geser dalam (ϕ) pada tanah ialah dengan cara mengukur sudut potong dari garis horizontal terhadap garis grafik
- Untuk beban yang digunakan pada percobaan ini adalah 8 kg, 16 kg dan 24 kg



Gambar 3. 3 Pengujian Direct Shear Test

D. Pengujian *Grain Size (Sieve Analysis)*

Pada percobaan ini bertujuan untuk mengklasifikasikan tanah atau menentukan butiran butiran tanah

- Alat yang di gunakan:
 - Cawan aluminium
 - Oven
 - Susunan saringan dari ukuran ϕ 4,76 mm sampai dengan ukuran ϕ 0,0074mm
 - Neraca analitis dan anak timbangan
 - Penggetar
- Langkah Prosedur pengujian
 - Siapkan sample yang sudah di keringkan secukupnya kemudian di timbang, contoh = a gram
 - Siapkan cawan dan sample di taruh di dalam cawan, kemudian di beri air lalu di rendam selama \pm 24 jam

- Setelah di rendam kemudian di cuci dalam saringan yang berdiameter 0,074 mm (no 200) dan pisahkan sample dengan lumpur
- Sample yang sudah bersih dari lumpur kemudian di oven setelah itu di timbang, contoh= b gram
- Pada alat penggetar di susun saringan, dengan Ø saringan dari bawah yang paling kecil
- Setelah di getarkan sample di ambil dan taruh di dalam cawan
- Siapkan cawan dan timbang cawan tersebut kemudian sample yang tertinggal di tiap ukuran saringan di taruh dalam cawan lalu di timbang
- Cara penggambaran grafik serta perhitungan
 - Berat sample semula = A gram
 - Berat sample setelah di cuci = B gram
 - Berat lumpur = berat sample yang lolos dari saringan no 200 = C gram
 - Jumlah berat tanah yang tertinggal dalam saringan Ø 4,76 mm sampai dengan Ø0,075 mm = D gram
 - Presentasi kehilangan berat = $\frac{(B-C)}{B} \times 100\% \dots\dots\dots(3.8)$
 - Kadar lumpur = $\frac{(A-B)+\alpha}{A} \times 100\% \dots\dots\dots(3.9)$
 - Dengan α : jumlah berat tanah yang tertinggal pada alas saringan
 - Presentasi tanah yang tertinggal

$$\frac{\text{Berat tanah yang tertinggal}}{A} \times 100\% \dots\dots\dots(3.10)$$
 - Komulatif persen tanah yang tertinggal = jumlah + presentasi tanah di atasnya.
 - Present finer = $(100\% - \text{Komulatif persen}) \dots\dots\dots(3.11)$
 - Untuk penggambaran grafik bisa di gambar pada tabel, dengan Ø saringan sebagai absis dan percent finer sebagai ordinat

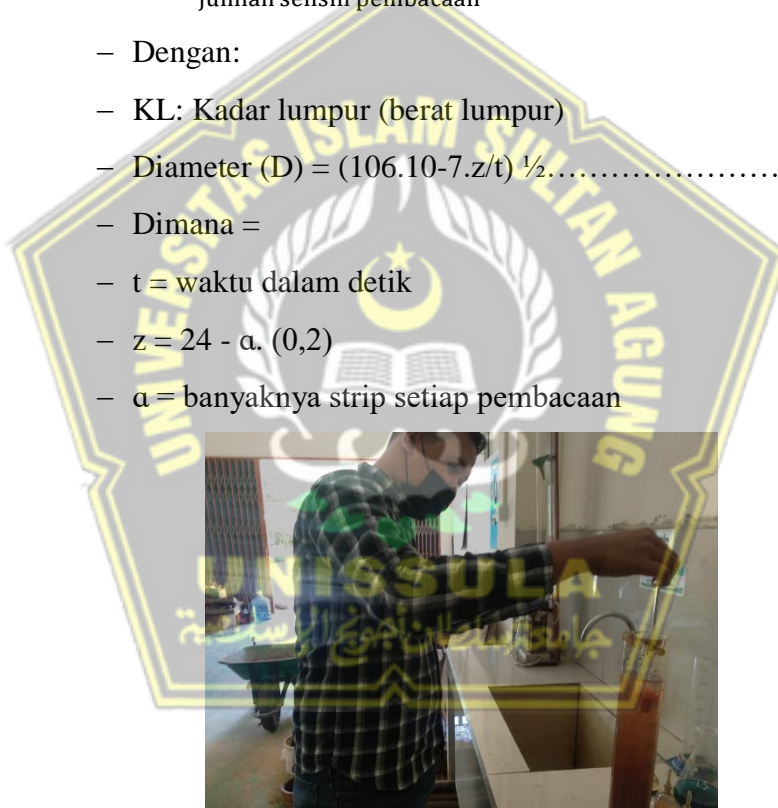


Gambar 3.4 Pengujian Grain Size (Sieve Analysis)

E. Pengujian *Hydrometer*

Pengujian ini bertujuan untuk menentukan pembagian ukuran butiran dari tanah yang lewat saringan no. 200.

- Alat yang di gunakan:
 - Gelas ukuran (1000 cm^3)
 - Stop wacth
 - Oven
 - Alat hydrometer
 - Cawan aluminium
- Langkah prosedur pengujian
 - Mengoeven tanah yang lolos dari saringan ukuran no 200
 - Setelah di oven kemudian di timbang
 - Sample tanah yang sudah di timbang kemudian di rendam dalam botol dengan waktu ± 24 jam
 - Siapkan gelas ukur, kemudian sample yang sudah di rendam di masukan ke dalam gelas ukur tersebut lalu di tambahkan air sampai 100 cc
 - Setalah gelas ukur di isi air sampai 100 cc, gelas ukur tersebut kemudian di kocok- kocok secara perlahan agar sample dan air bercampur homogen,
 - Siapkan stop watch dan alat hidrometernya



Gambar 3. 5 Pengujian Hydrometer

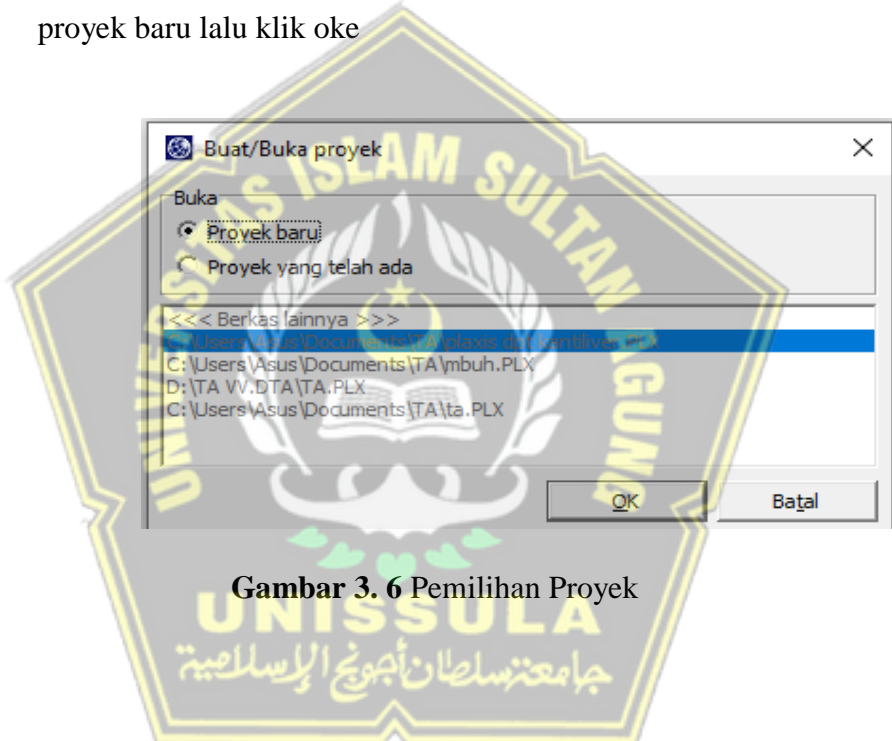
F. Hasil Pengujian Laboratorium

Tabel 3. 1 Kesimpulan Hasil Pengujian

Depth	Ketebalan	Gs	w	ysat	yunsat	e	n	c	ϕ	Gravel	Sand
atas	6-10m	2.172	54	1.555	1.455	1.112	0.526	0.293	38.6	18.48	57.22
tengah	3-6m	2.361	56	1.650	1.55	1.094	0.522	0.261	38.6	14.73	66.83
bawah	0-3m	2.225	48	1.671	1.571	0.825	0.452	0.112	31.4	18.45	52.22

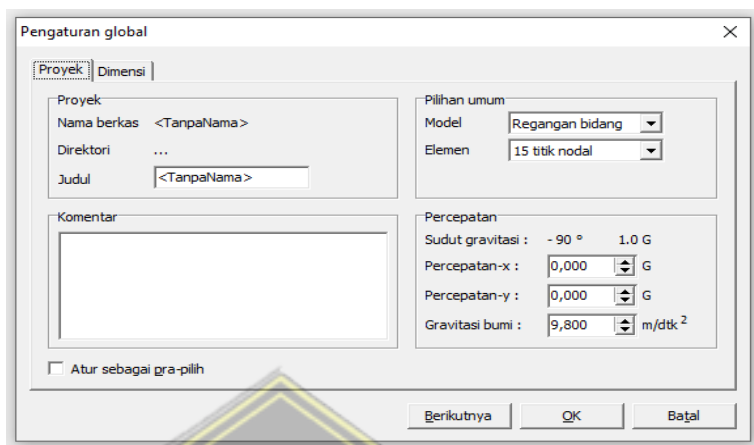
3.5. Tahapan Analisa Menggunakan Program Plaxis V.8.6

- 1) Langkah pertama adalah membuka aplikasi *Plaxis* kemudian pilih proyek baru lalu klik oke



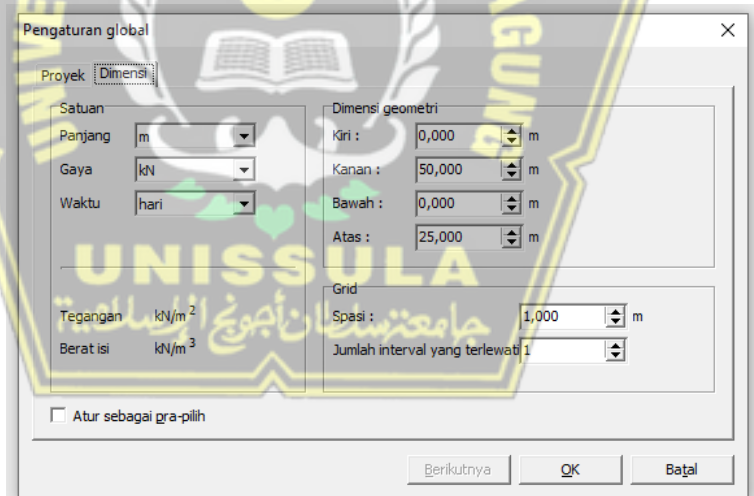
Gambar 3. 6 Pemilihan Proyek

- 2) Setelah klik oke kemudian akan muncul Pengaturan global. Setelah itu klik pada proyek dan dimensi



Gambar 3. 7 Pengaturan Global

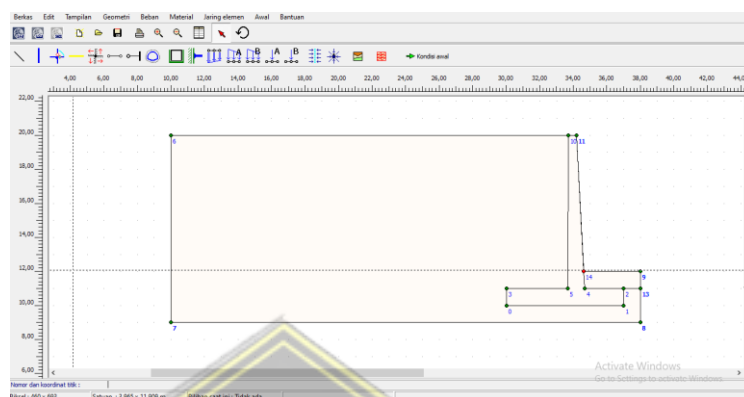
Pada pengaturan global bagian proyek isi judul, percepatan-x dan percepatan- y. kemudian lanjut pada bagian dimensi



Gambar 3. 8 Pengaturan Global

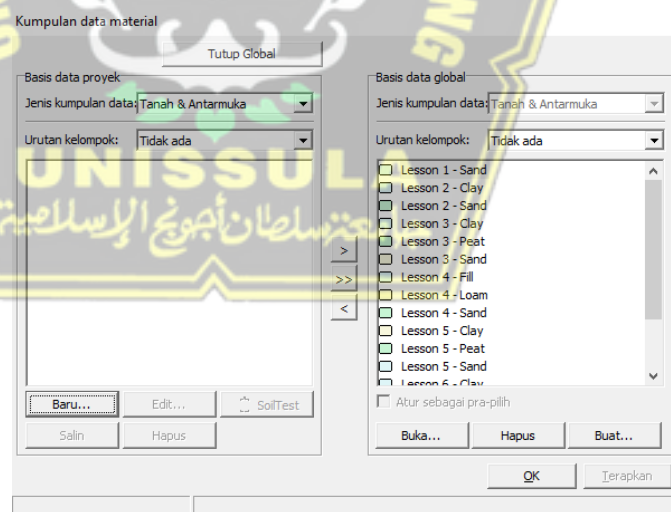
Pada bagian pengaturan global bagian dimensi isi dimensi geometri dan spasi, setelah semuanya sudah klik oke

- 3) Setelah tahap pengaturan global sudah selesai, maka selanjutnya adalah susun dan gambar data lapisan tanah serta konstruksi yang akan digunakan



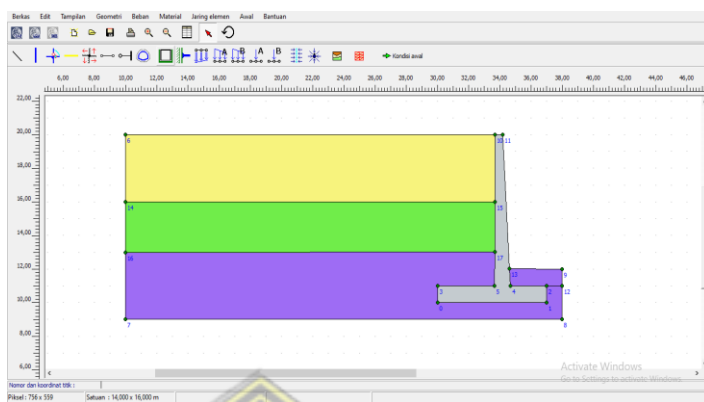
Gambar 3. 9 Sketsa permodelan

- 4) Langkah selanjutnya adalah masukkan bahan material dengan mengambil data dari hasil lab



Gambar 3. 10 Kumpulan Data Material

- 5) Setelah semua bahan material sudah di input, kemudian *Drag* satu persatu bahan material ke gambar yang sudah dibuat



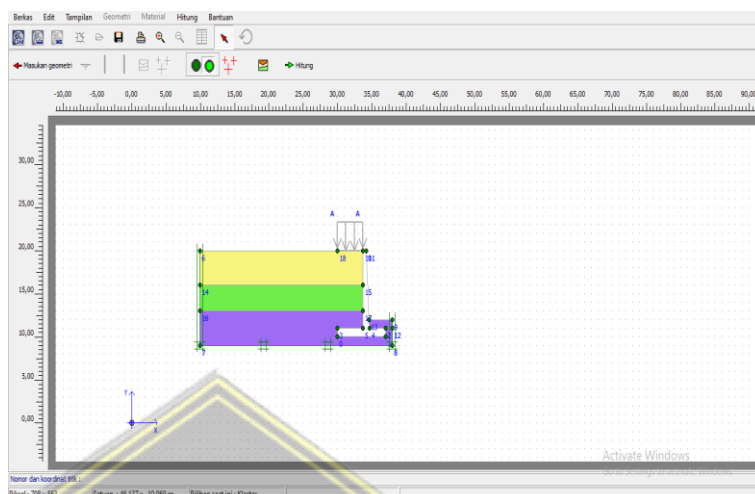
Gambar 3. 11 Permodelan

- 6) Langkah selanjutnya adalah klik perintah *Standard Fixities* yang berfungsi untuk membatasi gaya-gaya yang bekerja pada sumbu X dan sumbu Y.



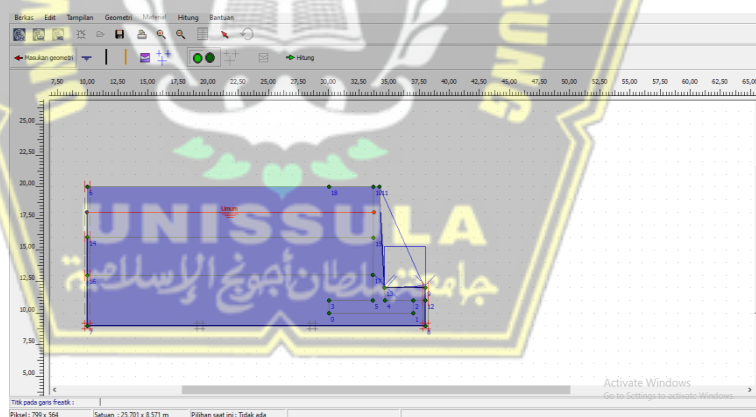
Gambar 3. 12 Standard Fixities

- 7) Kemudian klik distributed *load* untuk memasukan beban merata pada permodelan.



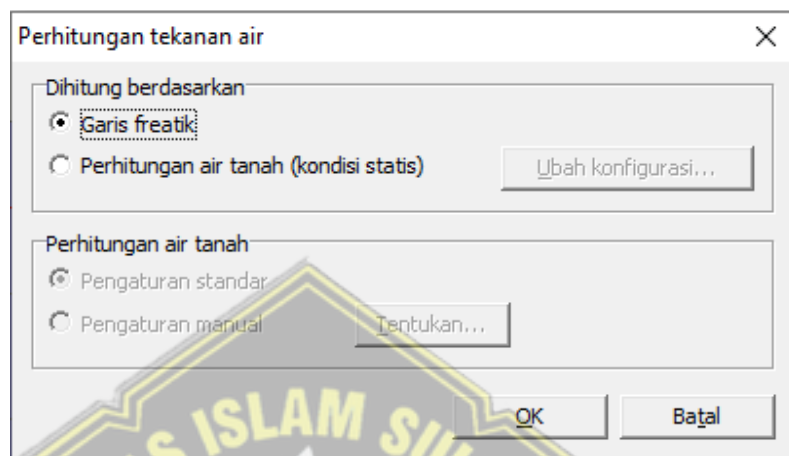
Gambar 3. 13 Distributed Load

- 8) Setelah memasukan beban merata, langkah selanjutnya adalah tambah kan muka air tanah pada permodelan



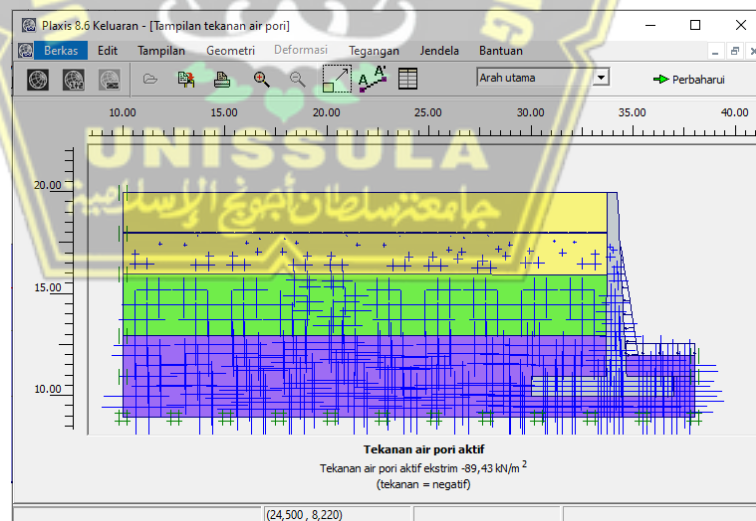
Gambar 3. 14 Muka Air Tanah

- 9) Setelah tinggi muka air tanah sudah di tentukan, maka langkah selanjutnya adalah pilih lambang *Generate Water Pressure* yang berfungi untuk mengaktifkan tekanan air, kemudian akan muncul tampilan seperti di bawah ini



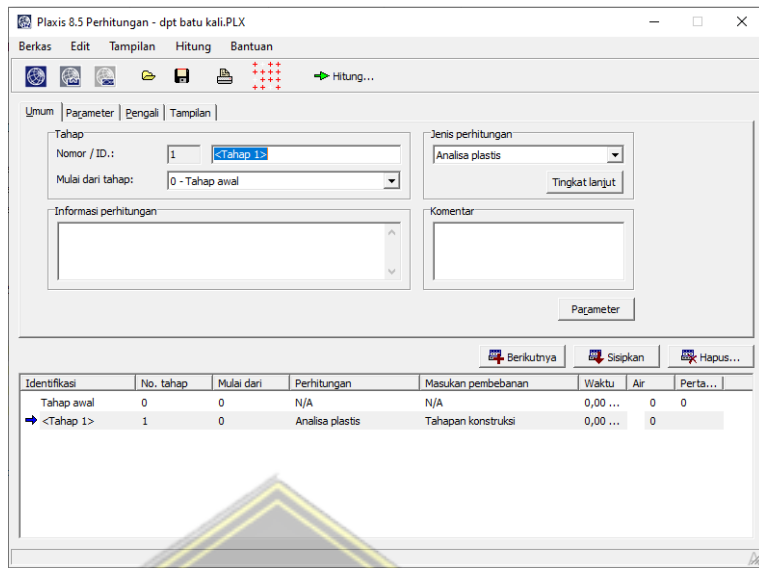
Gambar 3. 15 Perhitungan Tekanan Tanah Air

Kemudian klik oke maka akan muncul gambar seperti di bawah ini



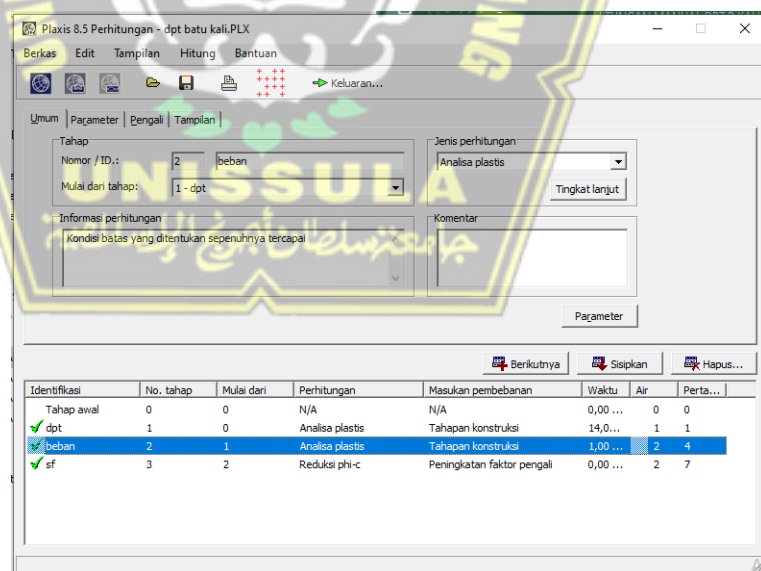
Gambar 3. 16 Tekanan Air

Setelah tahap permodelan udah selesai maka akan lanjut pada langkah perhitungan



Gambar 3. 17 Tahap Perhitungan

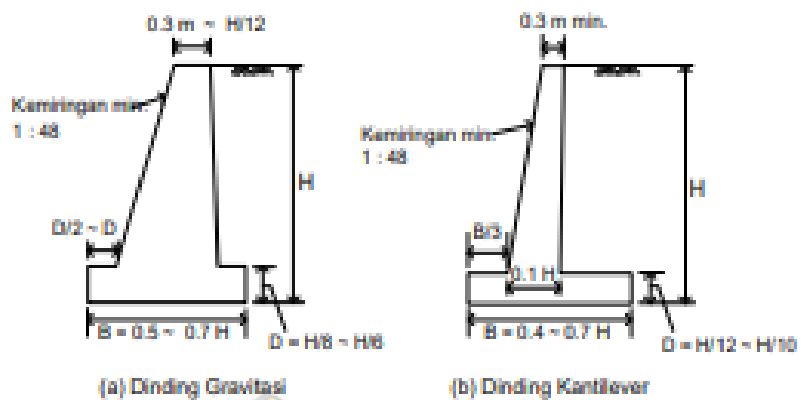
- 10) Selanjutnya adalah masukan seluruh tahapan perhitungan , kemudian klik hitung, maka akan muncul gambar seperti di bawah ini.



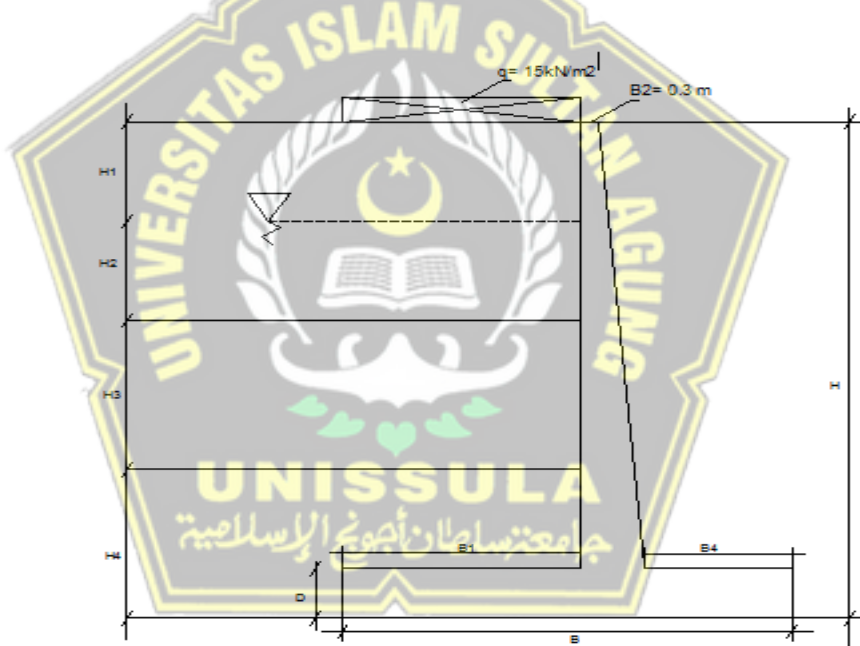
Gambar 3. 18 Hasil Akhir Perhitungan

3.6. Perhitungan Manual Menggunakan Rumus Mhor Coulomb

A. Mendimensi Dinding Penahan Tanah

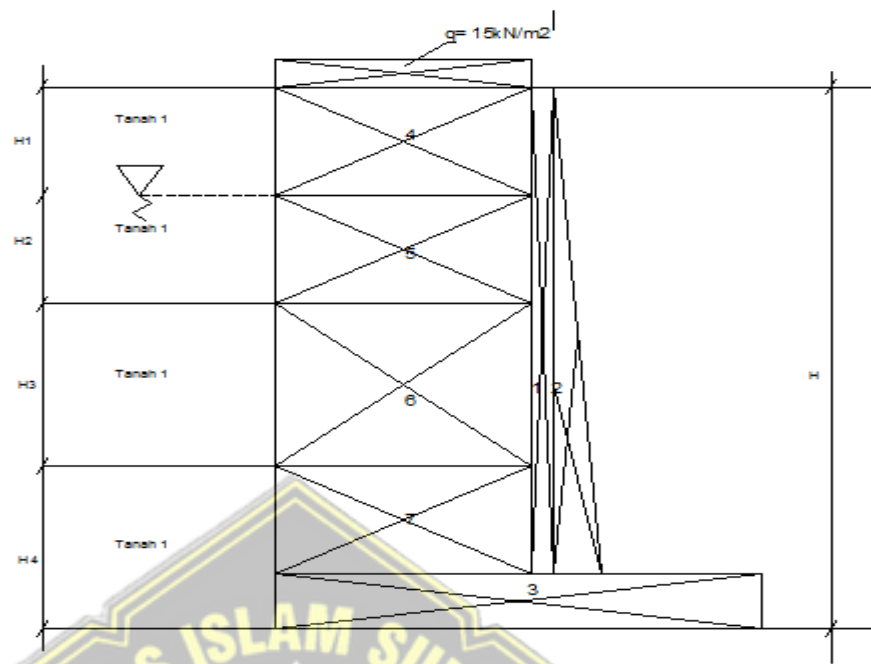


Gambar 3. 19 Cara Mencari Dimensi Dinding Penahan Tanah



Gambar 3. 20 Dimensi Dinding Penahan Tanah

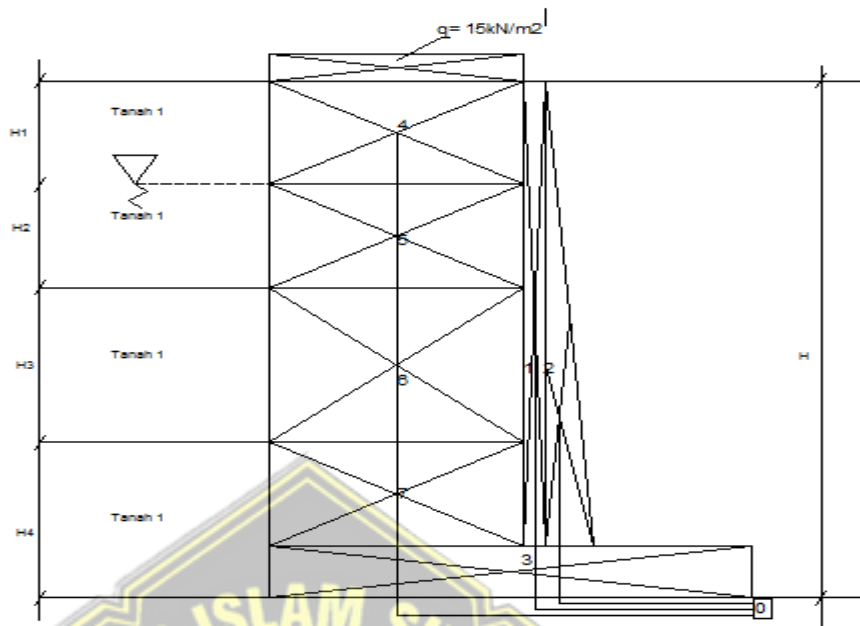
B. Berat Dinding Penahan Tanah



Gambar 3.21 Distribusi Beban Pada Dinding Penahan Tanah

Menghitung berat dinding penahan tanah dengan beban merata (W)

C. Jarak Beban Terhadap Ujung Dinding Penahan (di titik 0)



Gambar 3. 22 Jarak Titik Berat (x) terhadap titik 0

Jarak titik berat (x) terhadap titik 0

D. Momen akibat gaya vertical

Dengan:

Mw = Momen gaya vertical (kNm)

W = Beban dinding penahan tanah dengan beban merata (kN)

x = jarak titik berat terhadap titik O (m)

E. Koefisien Tekanan Tanah Aktif (Ka) Menurut Rankine

$$K_a =$$

$$\frac{1-\sin\theta}{1+\sin\theta} \dots \quad (3.26)$$

Dengan:

K_a = Koefisiensi tekanan tanah aktif

\emptyset = Sudut geser tanah

F. Koefisiensi Tekanan Tanah Pasif (Kp) Menurut Rankine

Dimana

Kp = Koefisiensi tekanan tanah pasif

K_a = Koefisiensi tekanan tanah aktif

G. Tekanan Tanah Menurut *Mhor Coulomb*



Gambar 3. 23 Tekanan Tanah

H. Tekanan Tanah Aktif (Pa) Menurut Mhor Coulomb

Dengan:

Pa = Total tekanan tanah aktif

K_a = Koefisiensi tekanan tanah aktif

I. Tekanan tanah pasif (P_p) Menurut *Mhor Coulomb*

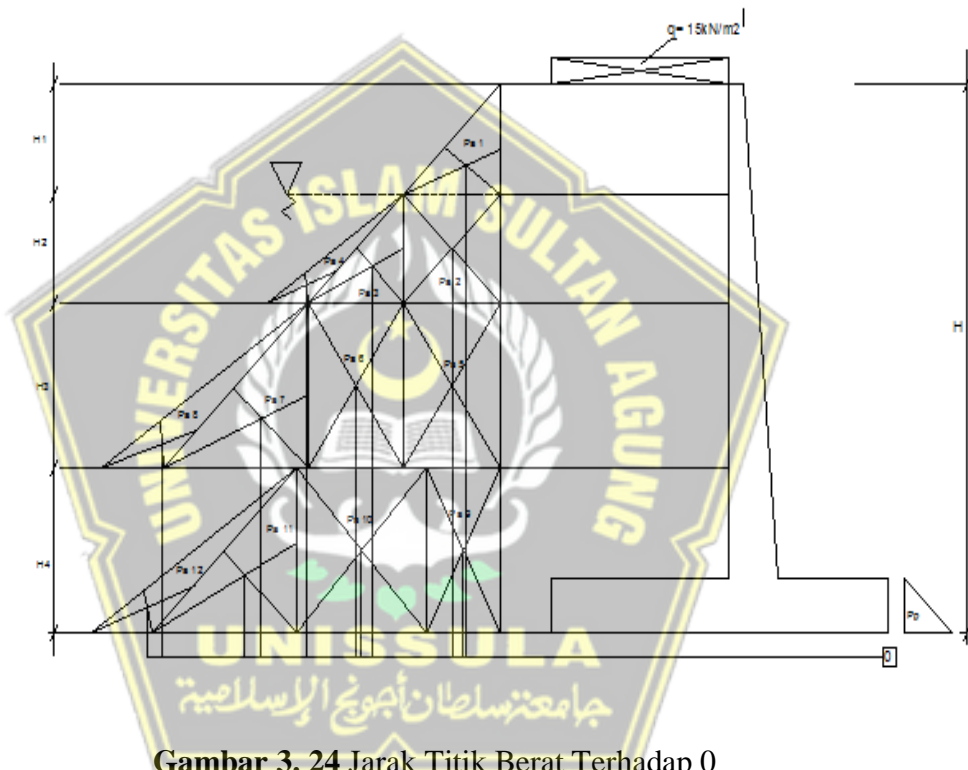
$$P_p = 0,5 \cdot \gamma \cdot H^2 \cdot K_p \dots \dots \dots (3.29)$$

Dengan:

P_p = Total tekanan tanah pasif

K_p = Koefisiensi tekanan tanah pasif

J. Jarak titik berat (L) terhadap titik 0



$$\text{Jarak titik berat (L) terhadap titik } 0 \dots \dots \dots (3.30)$$

$$L_1 = \frac{1}{2} \cdot H$$

$$L_2 = \frac{1}{3} \cdot H$$

$$L_3 = \frac{1}{3} \cdot H$$

$$L_4 = \frac{1}{3} \cdot (h_2 + h_3)$$

K. Momen akibat tekanan tanah aktif

$$M_a = W \cdot P_a \dots \dots \dots (3.31)$$

Dengan:

- Ma = Momen tekanan tanah aktif (kNm)
 Pa = Tekanan tanah aktif (kN)
 L = Jarak titik berat terhadap titik 0 (m)

L. Momen akibat tekanan tanah pasif

Dengan:

- M_p = Momen tekanan tanah pasif (kNm)
 P_p = Tekanan tanah pasif (kN)
 L = Jarak titik berat terhadap titik 0 (m)

M. Jumlah gaya gaya horizontal

Dengan:

- ΣPh = jumlah gaya-gaya horizontal (kN)
 ΣPa = jumlah tekanan tanah aktif (kN)
 ΣPp = jumlah tekanan tanah aktif (kN)

N. Momen yang mengakibatkan Penggulingan

Dengan:

- ΣMg = jumlah momen yang mengakibatkan penggulingan
 ΣMa = jumlah momen tekanan tanah aktif (kNm)
 ΣMp = jumlah momen tekanan tanah pasif (kNm)

O. Tahanan dinding penahan tanah terhadap penggeseran

Dengan:

- ΣRh = tahanan dinding penahan tanah terhadap penggeseran
 Ca = adhesi antara tanah dan dasar dinding
 B = lebar pondasi

W = berat total dinding penahan dan tanah di atas plat pondasi
 δ_b = sudut geser antara tanah dan dasar pondasi

P. Factor keamanan terhadap pergeseran menurut Bowles

Dengan:

Fgs = faktor keamanan terhadap pergeseran

ΣRh = Tahanan dinding penahan terhadap pergeseran (kN)

ΣPh = Jumlah gaya gaya horizontal (kN)

Faktor aman terhadap pergeseran dasar pondasi (F_{gs}) minimum diambil 1,5, Bowles (1997). Dan menurut Hardiyanto (2002) yaitu menyarakan agar $F_{gs} \geq 1,5$ untuk dasar tanah granular dan $F_{gs} \geq 2$ di gunakan untuk tanah dasar kohesif.

Q. Faktor keamanan terhadap penggulingan menurut Hardiyatmo

H.C,

Dengan:

Fgl = faktor keamanan terhadap penggulingan

ΣM_w = jumlah momen gaya vertical (kNm)

ΣM_g = jumlah momen yang mengakibatkan penggulungan (kNm)

R. Eksentrisitas

Dengan:

Xe = jarak eksentrisitas (m)

ΣM_w = jumlah momen gaya vertical (kNm)

ΣMg = jumlah moment yang mengakibatkan penggulingan

Mw = momen gaya vertical (kNm)

Dengan:

E = eksentrisitas (m)

B = lebar alas dinding penahan tanah (m)

Xe = jarak eksentrisitas (m)

S. Lebar efektif

Dengan:

B = lebar alas dinding penahan tanah (m)

e = eksentrisitas (m)

T. Faktor Kemiringan Beban

$$iq = \left[1 \left[\frac{0,5 \cdot \Sigma H}{\Sigma V + A' \cdot C_2 \cdot \tan 32^\circ} \right] \right]_5$$

Dengan:

Iq = Faktor Kemiringan Beban

ΣV = Jumlah gaya-gaya vertikal (kN)

$\Sigma H \equiv$ Jumlah

c = Kohesi

Tabel 3. 2 Faktor- faktor daya dukung tanah

ANGLE OF FRICTION ϕ (DEGREES)	TERZAGHI			MEYERHOF			HANSEN		
	N_c	N_q	N_r	N_c	N_q	N_r	N_c	N_q	N_r
0	5.70	1.00	0.00	5.10	1.00	0.00	5.10	1.00	0.00
2	6.30	1.22	0.18	5.63	1.20	0.01	5.63	1.20	0.01
4	6.97	1.49	0.38	6.19	1.43	0.04	6.19	1.43	0.05
5	7.34	1.64	0.50	6.49	1.57	0.07	6.49	1.57	0.07
6	7.73	1.81	0.62	6.81	1.72	0.11	6.81	1.72	0.11
8	8.60	2.21	0.91	7.53	2.06	0.21	7.53	2.06	0.22
10	9.60	2.69	1.21	8.34	2.47	0.37	8.34	2.47	0.39
12	10.78	3.29	1.70	9.28	2.97	0.60	9.28	2.97	0.63
14	12.11	4.02	2.23	10.37	3.59	0.92	10.37	3.59	0.97
15	12.86	4.45	2.50	10.98	3.94	1.13	10.98	3.94	1.18
16	13.68	4.92	2.94	11.63	4.34	1.37	11.63	4.34	1.43
18	15.52	6.04	3.87	13.10	5.26	2.00	13.10	5.26	2.08
20	17.69	7.44	4.97	14.83	6.40	2.87	14.83	6.40	2.95
22	20.27	9.19	6.81	16.88	7.82	4.07	16.88	7.82	4.13
24	23.36	11.40	8.58	19.32	9.60	5.72	19.32	9.60	5.75
25	25.13	12.72	9.70	20.72	10.66	6.77	20.72	10.66	6.76
26	27.09	14.21	11.35	22.25	11.85	8.00	22.25	11.85	7.94
28	31.61	17.81	15.15	25.80	14.72	11.19	25.80	14.72	10.94
30	37.16	22.46	19.73	30.14	18.40	15.87	30.14	18.40	15.07
32	44.04	28.52	27.49	35.49	23.18	22.02	35.49	23.18	20.79
34	52.64	36.50	36.96	42.15	29.44	31.15	42.16	29.44	28.77
35	57.75	41.44	42.40	46.12	33.30	37.15	46.12	33.30	33.92
36	63.53	47.16	51.70	50.59	37.75	44.43	50.59	37.75	40.05
38	77.50	61.55	73.47	61.35	49.93	64.07	61.35	48.93	56.17
40	95.66	81.27	100.39	75.31	64.20	93.69	75.31	64.20	79.54
42	119.67	108.75	165.89	93.71	85.37	139.32	93.71	85.37	113.96
44	151.95	147.74	248.29	118.37	115.31	211.41	118.37	115.31	165.58
45	172.29	173.29	294.50	193.87	134.87	262.74	133.87	134.87	200.81
46	196.22	204.19	426.98	152.10	158.50	328.73	152.10	158.50	244.85
48	258.29	287.85	742.61	199.26	222.30	526.45	199.26	222.30	368.67
50	347.51	415.15	1153.15	266.86	319.06	573.66	266.86	319.06	566.57

$$ic = iq = \left[\frac{1 - iq}{Nq - 1} \right]$$

Dengan:

Iq = Faktor kemiringan beban

Nq = Faktor kapasitas daya dukung

$$iy = \left[1 \left[\frac{0.7 \cdot \Sigma H}{\Sigma V + A \cdot C_2 \cdot \cotan 32^\circ} \right] \right]^5$$

Dengan :

Iq = Faktor Kemiringan Beban

ΣV = Jumlah gaya-gaya vertikal (kN)

ΣH = Jumlah gaya-gaya horizontal (kN)

c = Kohesi

ϕ = Sudut geser tanah

U. Stabilitas Daya Dukung Tanah Menurut Hansen (1970)

Persamaan ini digunakan untuk menghitung kapasitas dukung limit pada beban miring dan eksentris

Dengan

i_c, i_q, i_y = faktor kemiringan beban

B = lebar dasar pondasi sebenarnya

γ = berat volume tanah

N_c, N_q, N_r = faktor kapasitas dukung

c = kohesi

D_f = kedalaman pondasi

Dihitung berdasarkan lebar pondasi efektif adalah tekanan pondasi ke tanah dasar terbagi rata secara sama, maka

Dengan

q' = tekanan pondasi tanah dasar terbagi rata

ΣV = jumlah gaya-gaya vertical (kN)

B' = Lebar efektif

Faktor keamanan terhadap keruntuhan kapasitas daya dukung tanah

Dengan:

F = faktor keamanan

qu = daya dukung ultimit

q' = tekanan pondasi ke tanah dasar terbagi rata

BAB IV

HASIL DAN PEMBAHASAN

4.1 Gambaran umum

Tanah longsor adalah perpindahan material pembentuk lereng berupa batuan, bahan rombakan , tanah atau materia laporan bergerak ke bawah atau keluar lereng. Secara geologis tanah longsor adalah suatu peristiwa geologi dimana terjadi pergerakan tanah seperti jatuhnya bebatuan atau gumpalan besar tanah (Nandi, 2007) dalam Arif. 2015.

Akibat curah hujan yang deras Desa Gemawang, Kecamatan jambu, Kabupaten Semarang mengalami longsor, longsor tersebut terjadi pada lereng samping perumahan warga, ketinggian lereng mencapai 10m dan memiliki kemiringan lereng sekitar 75° yang membuat dinding penahan tanah sebelumnya mengalami keruntuhan.

Anaasis perbandingan penggunaan dinding penahan tanah tipe *kantiliver* dan tipe *gravity* menggunakan perhitungan manual dan aplikasi *plaxis v.8.6*. Analisis ini bertujuan untuk mencari angka aman dan koefisiensi pada perencanaan dinding penahan tanah yang baru. Dan untuk mendapatkan data tanah dalam perhitungan di dapat melalui uji laboratorium fakultas teknik UNISSULA yang mengambil tanah sebanyak 3 lapis titik pada lokasi tersebut.



Gambar 4. 1 Kondisi Lereng

4.2 Data Tanah

Data tanah di dapat dengan cara mengambil tiga sample tanah di lokasi longsor yaitu Desa Gemawang, Kecamatan Jambu, Kabupaten Semarang kemudian di uji labaratoritum, dan untuk hasil uji laboatorium tersebut adalah sebagai berikut. :

Tabel 4. 1 Data Hasil Direct Shear Test

Tanah Tengah		I	II	III
No. Pengujian				
Beban	kg	8	16	24
Bacaan Dial Max		39	55	73
Tegangan Normal	kg/cm ²	0,2576	0,5152	0,7728
Gaya Geser	kg	14,63	20,63	27,38
Tegangan Geser	kg/cm ²	0,471	0,664	0,881
Kohesi			0,261	
Sudut Geser Dalam			38,6	
Tanah Bawah		I	II	III
No. Pengujian				
Beban	kg	8	16	24
Bacaan Dial Max		23	34	49
Tegangan Normal	kg/cm ²	0,2576	0,5152	0,7728
Gaya Geser	kg	8,63	12,75	18,38
Tegangan Geser	kg/cm ²	0,278	0,411	0,592
Kohesi			0,112	
Sudut Geser Dalam			31,4	
Tanah Atas		I	II	III
No. Pengujian				
Beban	kg	8	16	24
Bacaan Dial Max		23	34	49
Tegangan Normal	kg/cm ²	0,2576	0,5152	0,7728
Gaya Geser	kg	8,63	12,75	18,38
Tegangan Geser	kg/cm ²	0,278	0,411	0,592
Kohesi			0,112	
Sudut Geser Dalam			31,4	

Tabel 4. 2 Data Hasil Perhitungan Soil Test

no	Ketebalan	Gs	w	γsat	γunsat	e	n	c
atas	6-10m	2,172	54	1,555	1,455	1,112	0,526	0,293
tengah	3-6m	2,361	56	1,650	1,55	1,094	0,522	0,261
bawah	0-3m	2,225	48	1,671	1,571	0,825	0,452	0,112

Dimana :

Gs = Spesific Gravity / Berat jenis butiran

W = Water Content / Kadar Air

γ_{sat} = Berat isi tanah jenuh air (kN/m³)

γ_{unsat} = Berat isi tanah kering (kN/ m³)

e = Void Ratio / Angka Pori

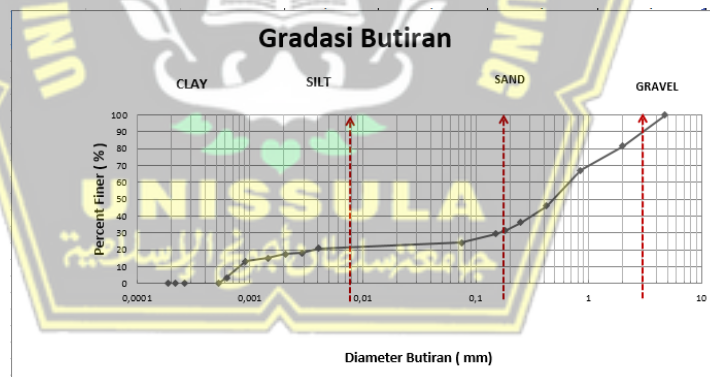
n = Porosity / Kadar Pori (%)

c = Cohesi (kN/ m³)

Tabel 4. 3 Data perhitungan Grain Size Analysis Tanah Atas

Column1	Column2	Column3	Column4	Column5	Column6	Column7	Column8
Diameter	No. Cwn	Brt. Cawan (gr)	Brt.SAMPEL+CW	Brt. Sampel yg	Prosentase	Komulatif Pro	Percent
saringan			yg tertinggal dlm	tertinggal dlm	Tnh yg ter-	sentase yg ter	
			saringan (gr)	saringan (gr)	tinggal (%)	tinggal (%)	
4,750	102	6,68	14,04	7,36	3,68	3,68	100,00
2,000	111	7,18	36,78	29,60	14,80	18,48	81,52
0,850	19	4,10	32,76	28,66	14,33	32,81	67,19
0,425	29	6,27	48,56	42,29	21,15	53,96	46,05
0,250	42	6,24	25,58	19,34	9,67	63,63	36,38
0,180	17	4,12	13,98	9,86	4,93	68,56	31,45
0,150	14	6,12	9,82	3,70	1,85	70,41	29,60
0,075	105	6,16	16,74	10,58	5,29	75,70	24,31
0,000	122	7,90	9,82	1,92	0,96	76,66	23,35
				153,31	76,66		

Clay = 3,3%, Silt = 20,97 %, Sand, 57,22 %, Gravel 18,48 %

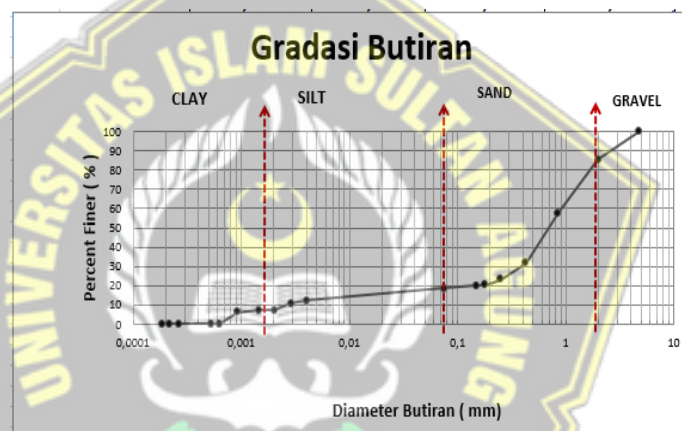


Grafik 4.1. *Grain Size Analysis Tanah Atas*

Tabel 4. 4 Hasil Perhitungan Grain Size Analysis Tanah Tengah

Diameter saringan	No. Cwn	Brt. Cawan (gr)	Brt.SAMPEL+CW yg tertinggal dlm saringan (gr)	Brt . Sampel yg tertinggal dlm saringan (gr)	Prosentase tinggal (%)	Kumulatif Pro sentase yg ter- tinggal (%)	Percent Finer (%)
4,750	102	6,68	13,04	6,36	3,18	3,18	100,00
2,000	111	7,18	30,28	23,10	11,55	14,73	85,27
0,850	19	4,10	59,24	55,14	27,57	42,30	57,70
0,425	29	6,27	58,34	52,07	26,04	68,34	31,67
0,250	42	6,24	23,50	17,26	8,63	76,97	23,04
0,180	17	4,12	9,54	5,42	2,71	79,68	20,33
0,150	14	6,12	6,54	0,42	0,21	79,89	20,12
0,075	105	6,16	9,50	3,34	1,67	81,56	18,45
0,000	122	7,90	8,58	0,68	0,34	81,90	18,11
				163,79	81,90		

Clay = 0%, Silt = 18,45 %, Sand, 66,83 %, Gravel 14,73 %

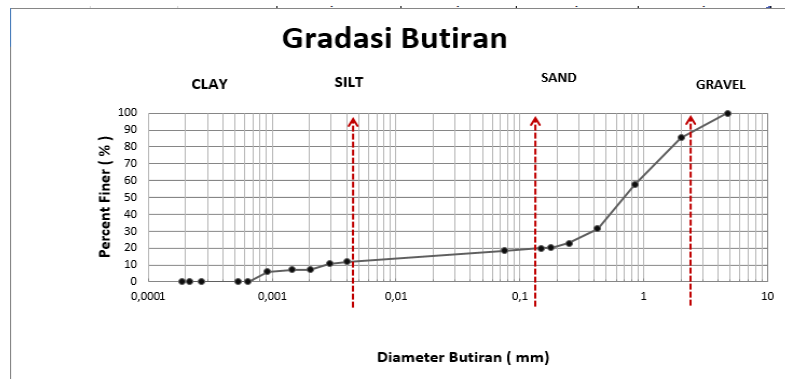


Grafik 4.2. Grain Size Analysis Tanah Tengah.

Tabel 4. 5 Hasil Perhitungan Grain Size Analysis Tanah Bawah

Diameter saringan	No. Cwn	Brt. Cawan (gr)	Brt.SAMPEL+CW yg tertinggal dlm saringan (gr)	Brt . Sampel yg tertinggal dlm saringan (gr)	Prosentase tinggal (%)	Kumulatif Pro sentase yg ter- tinggal (%)	Percent Finer (%)
4,750	102	6,68	12,98	6,30	3,15	3,15	100,00
2,000	111	7,18	37,78	30,60	15,30	18,45	81,55
0,850	19	4,10	49,62	45,52	22,76	41,21	58,79
0,425	29	6,27	45,16	38,89	19,45	60,66	39,35
0,250	42	6,24	18,60	12,36	6,18	66,84	33,17
0,180	17	4,12	8,72	4,60	2,30	69,14	30,87
0,150	14	6,12	6,16	0,04	0,02	69,16	30,85
0,075	105	6,16	9,18	3,02	1,51	70,67	29,34
0,000	122	7,90	9,12	1,22	0,61	71,28	28,73
				142,55	71,28		

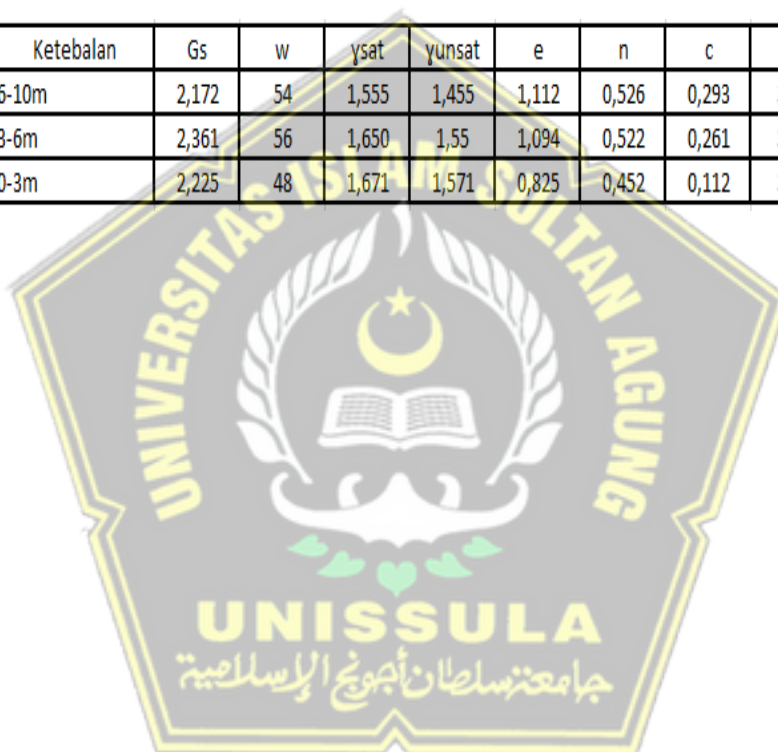
Clay = 8,62 %, Silt = 20,72 %, Sand, 52,22 %, Gravel 18,45 %



Grafik 4.3. *Grain Size Analysis* Tanah Bawah.

Tabel 4. 6 Kesimpulan Data

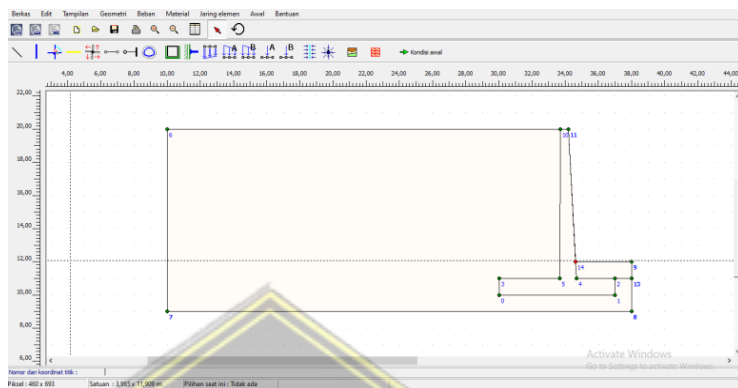
no	Ketebalan	Gs	w	γ_{sat}	γ_{unsat}	e	n	c	ϕ	Gravel	Sand
atas	6-10m	2,172	54	1,555	1,455	1,112	0,526	0,293	38,6	18,48	57,22
tengah	3-6m	2,361	56	1,650	1,55	1,094	0,522	0,261	38,6	14,73	66,83
bawah	0-3m	2,225	48	1,671	1,571	0,825	0,452	0,112	31,4	18,45	52,22



4.3 Perhitungan Menggunakan Aplikasi Plaxis v.8.6

4.3.1. Perhitungan Dinding Penahan Tanah Tipe *Kantiliver*

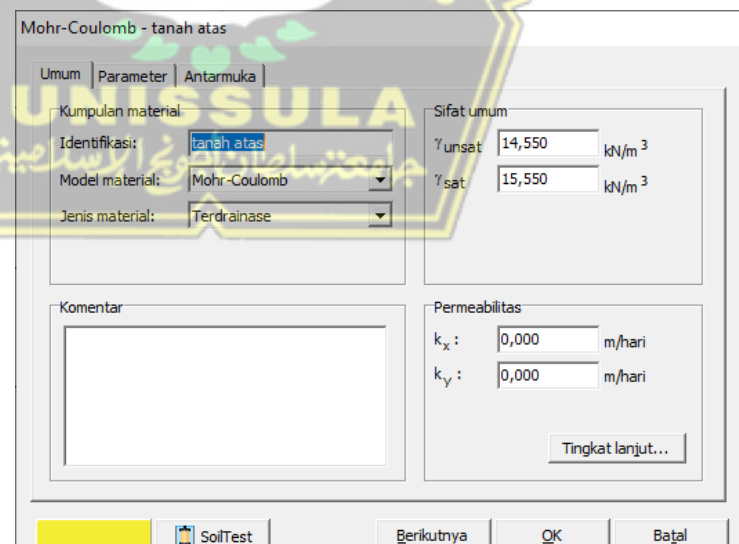
1. membuat pemodelan geometri 2D dan susun data lapisan tanah dengan cara input.



Gambar 4. 2 Pemodelan Geometri 2D

2. setelah geometri terbentuk input material yang digunakan sesuai data yang telah ada
A. Input Data Material Tanah

Data tanah dimasukkan dalam data tabel parameter didalam Plaxis 8.6 2D seperti dibawah ini :



Gambar 4. 3 General tanah atas

Data Tanah 1

$$\gamma_1 = 14,44$$

$$\phi_1 = 39^\circ$$

$$c_1 = 29 \text{ kn/m}^2$$

Data Tanah 2

$$\gamma_2 = 15,5$$

$$\phi_2 = 39$$

$$c_2 = 26,1$$

Data tanah 3

$$\gamma_3 = 15,71$$

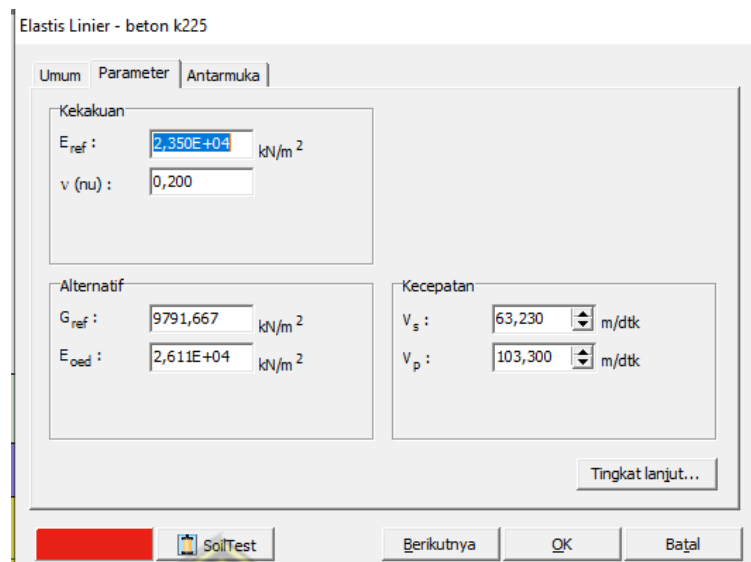
$$\phi_3 = 32$$

$$c_3 = 11,2$$

B. Input Data Dinding Penahan Tanah

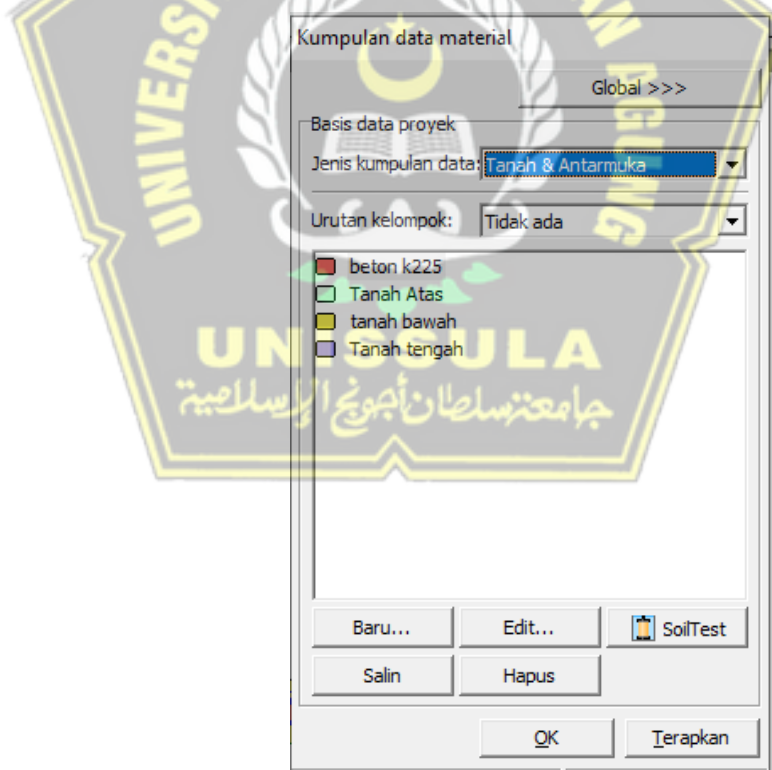


Gambar 4. 4 General Dinding Penahan Tanah



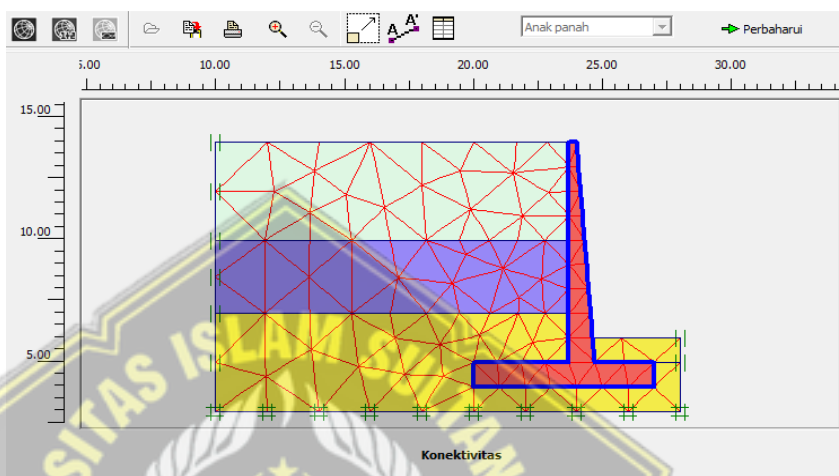
Gambar 4. 5 Parameter Dinding Penahan Tanah

3. Data material yang telah dibuat dimasukkan pada pemodelan geometri 2D yang telah dibuat diawal dengan cara *drag* material.



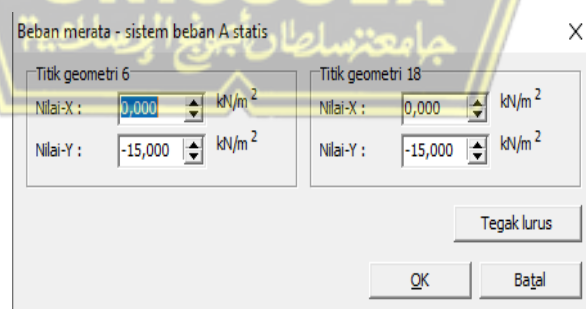
Gambar 4. 6 Properties Material Dalam Geometri

- Setelah drag material kedalam pemodelan selesai Klik *standard fixities*  untuk membatasi gaya-gaya yang bekerja pada arah sumbu X dan Sumbu Y yang terjadi pada pemodelan.
- Kemudian klik *mesh*  untuk mengatur pembentukan jaring-jaring.



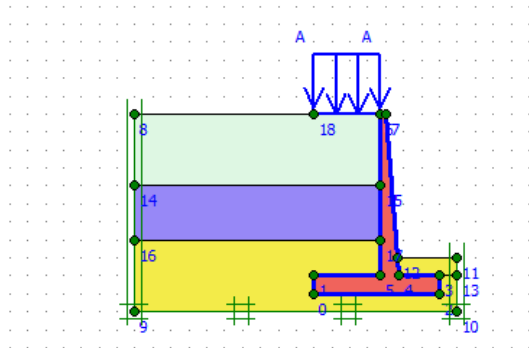
Gambar 4. 7. Tampilan Geometri Setelah Di Mesh

- Setelah itu *update* untuk masuk lagi ke pemodelan 2D. Masukkan *distributed load*  yang bekerja pada pemodelan.
- Input beban yang bekerja pada pemodelan. Input data negatif (-) menandakan gaya bekerja kebawah



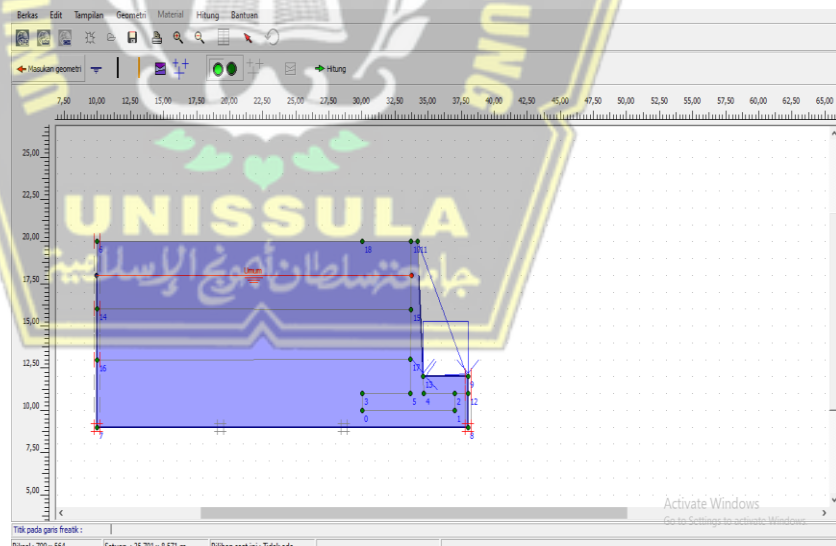
Gambar 4. 8. Input Beban

- Setelah pembebanan sudah dimasukkan pemodelan akan terlihat seperti dibawah ini



Gambar 4. 9. Tampilan Geometri Setelah Diberi Beban

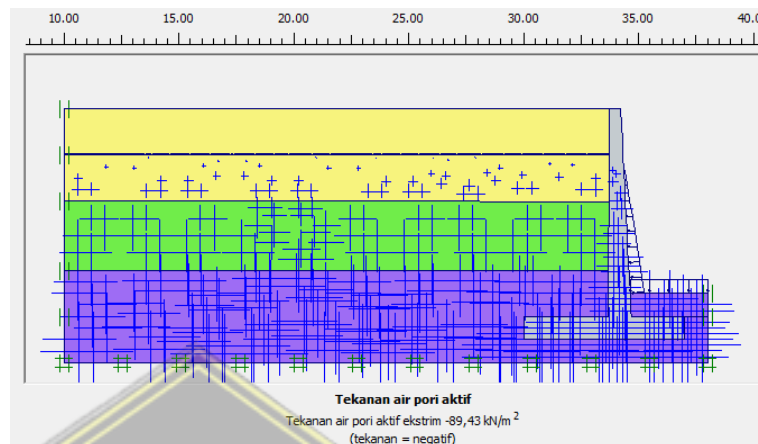
- Masukkan batas muka air pada pemodelan dengan mengklik ikon seperti ini. Tarik garis diketinggian yang sudah ditentukan, tarik dari sisi paling luar tanah sampe menyentuh geometri dinding penahan tanah secara menyambung.



Gambar 4. 10. Tampilan Geometri Yang Diberi Muka Air Tanah

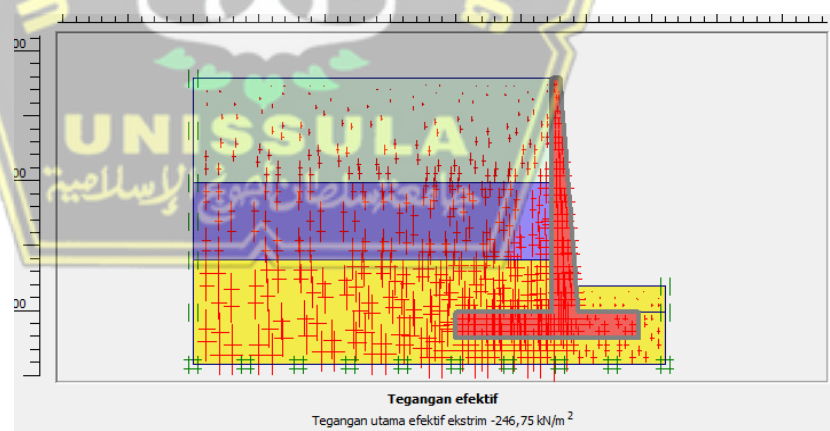
- Lanjut dengan klik *generate water pressure* setelah mengatur muka air untuk mengaktifkan tekanan air. Setelah itu akan muncul menu perhitungan tekanan air pilih titik *phreastic*

level lalu Klik OK. Akan muncul gambar seperti dibawah, dilanjutkan klik *update*



Gambar 4. 11. Tampilan Pressure Level Setelah Di Update

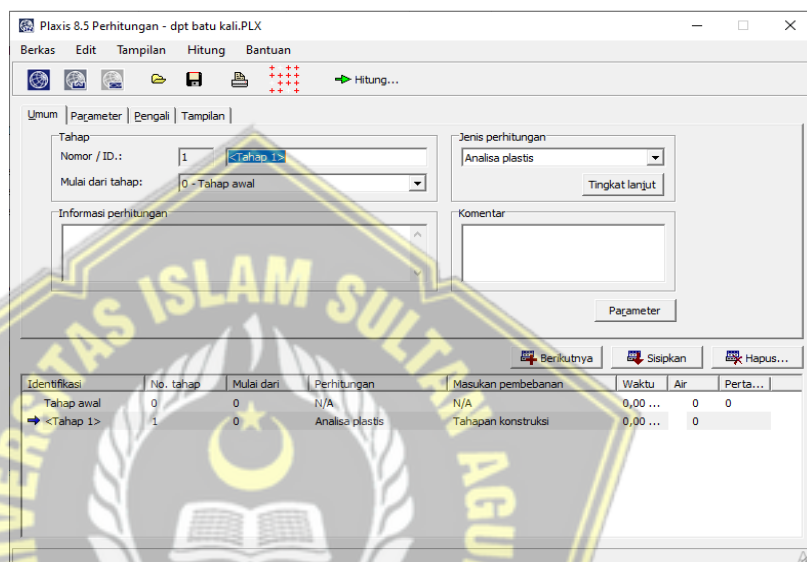
11. Pilih *generate initial stresses* untuk mengaktifkan tegangan awal. Otomatis setelah mengklik menu *generate initial stresses*. Lanjut dengan klik OK, akan muncul tampilan dan angka tegangan efektif yang terjadi pada geometri pemodelan.



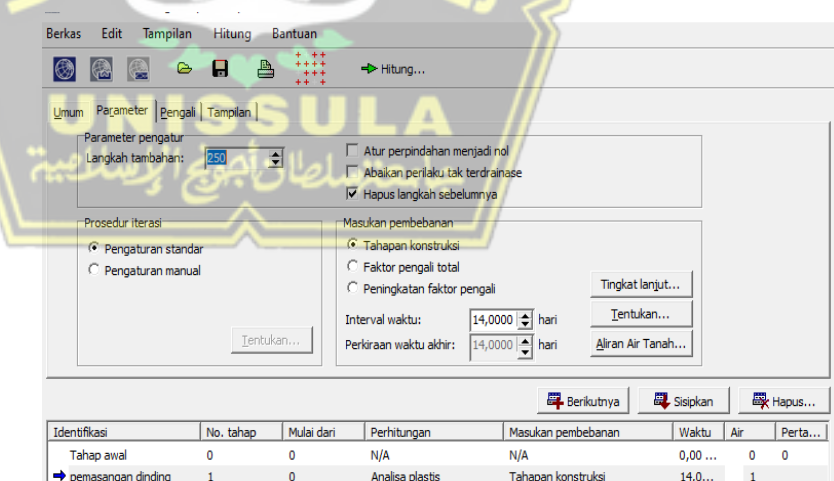
Gambar 4. 12. Tampilan Tegangan Efektif

12. Klik *update* untuk kembali ke geometri pemodelan dan melanjutkan langkah berikutnya. Setelah kembali ke geometri pemodelan, klik *calculate*.  Akan muncul otomatis tampilan seperti dibawah. Lalu klik *next*. Membuat tahap selanjutnya klik parameters masukkan time interval 14 hari kemudian klik *define*.

Gambar 4. 13. Tampilan Perhitungan Tahap 1

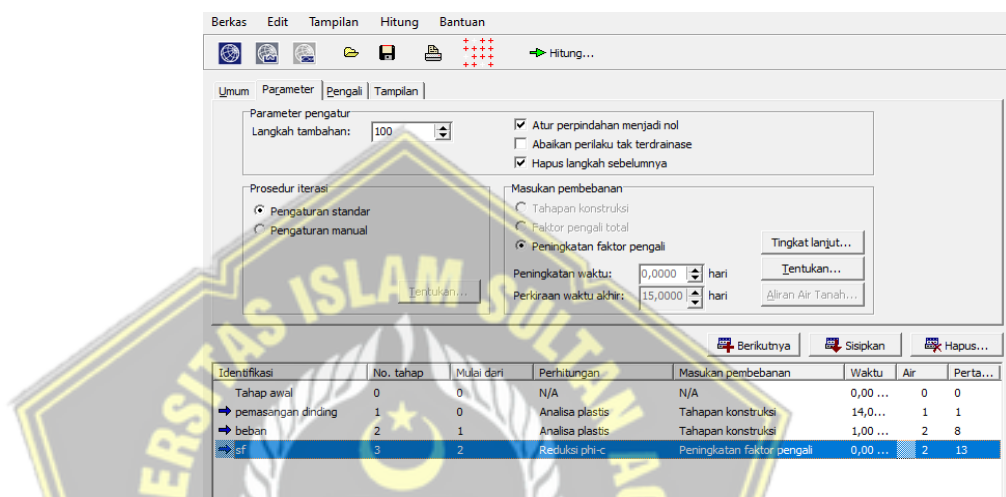


Gambar 4. 14. Tahap Perhitungan Pemasangan Dinding

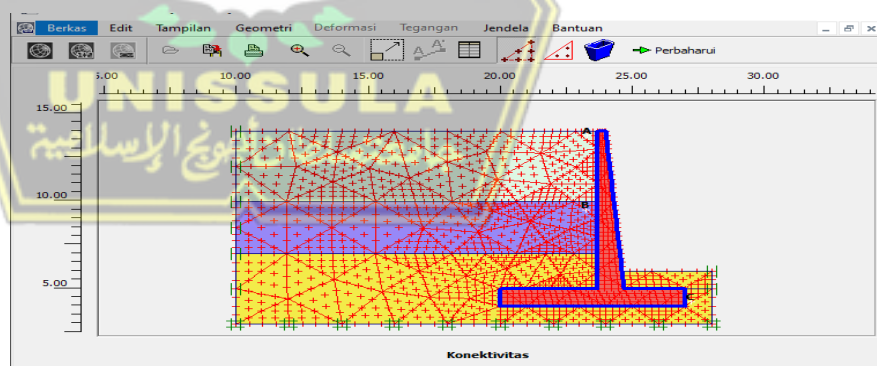


13. Lanjut klik *next*. Akan muncul kembali tahap pemasangan beban dan mengaktifkan beban pada geometri dengan meng-klik *define* selanjutnya, time interval diganti 1 hari. Lanjut dengan klik *next* lagi. Akan muncul kembali tampilan seperti diabwah *calculate type* diganti phi/c reduction. Lalu klik parameter, centang pilihan *reset displacement* dan *delete intermediete steps*.

Gambar 4. 15. Parameter Pada SF



14. Klik *select point* berguna sebagai titik kontrol deformasi, atur titik yang diinginkan dengan mengklik tempat yang diingin dikontrol. Lanjut klik *update*, Calculate lagi.



Gambar 4.18.

Gambar 4. 16. Geometri Pada Select Point

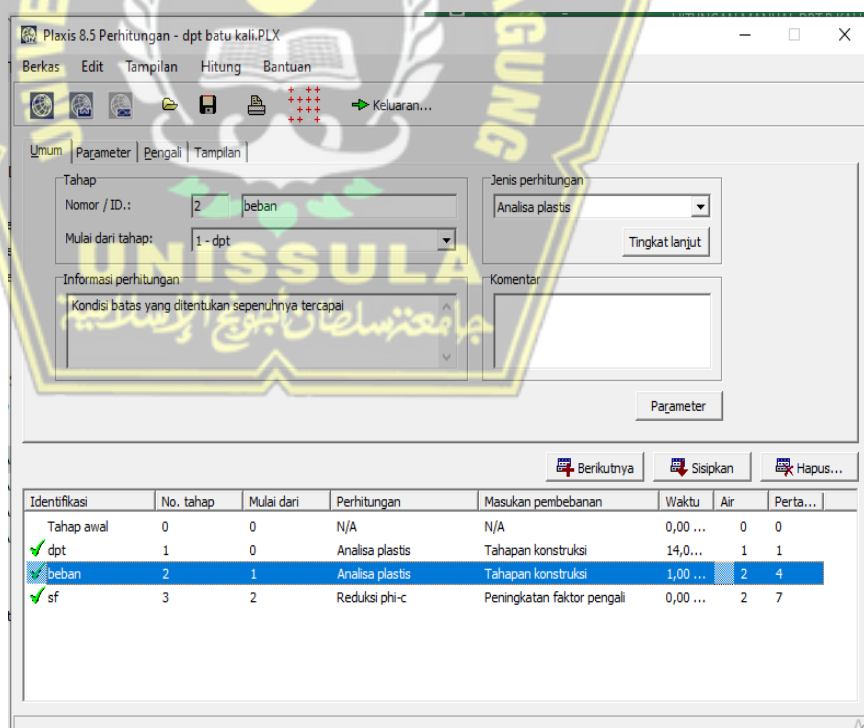
15. Proses perhitungan



Gambar 4. 17. Tampilan Saat Perhitungan

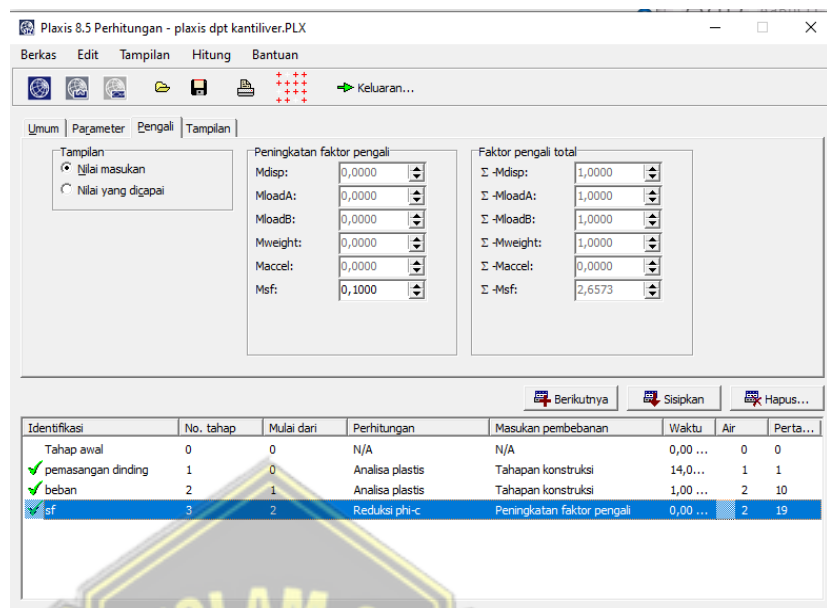
16. Setelah perhitungan selesai akan muncul hasil perhitungan.

Tanda centang tanda sebagai bahwa perhitungan aman,
sedangkan silang pertanda tidak aman

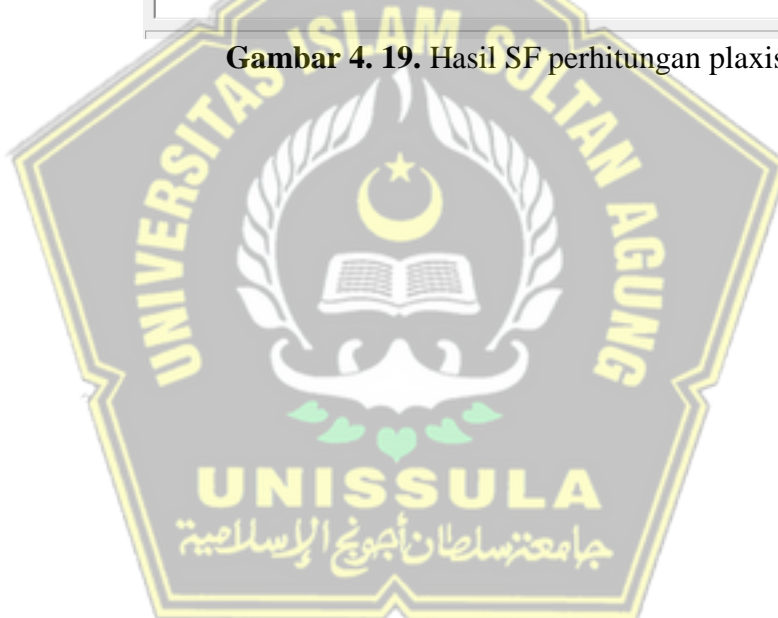


Gambar 4. 18. Tampilan Setelah Selesai Dihitung

17. Hasil SF 2,657 berarti aman karena diatas batas $\geq 1,5$



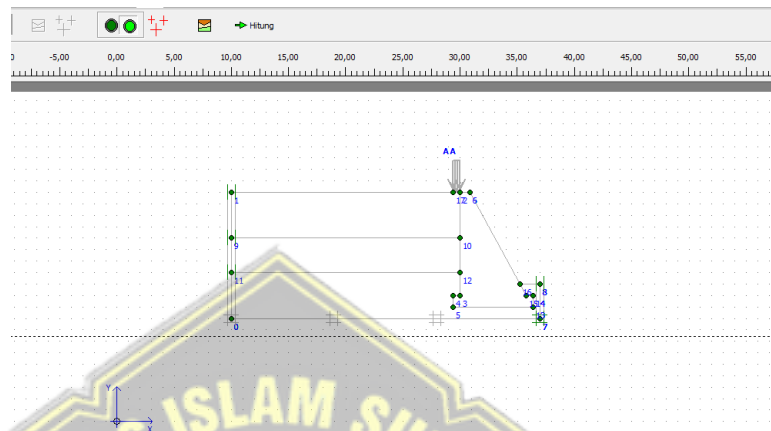
Gambar 4. 19. Hasil SF perhitungan plaxis 2D



4.4 Perhitungan Menggunakan Aplikasi Plaxis v.8.6

4.4.1 Perhitungan Dinding Penahan Tanah Tipe Gravitasi

1. membuat pemodelan geometri 2D dan susun data lapisan tanah dengan cara input.



Gambar 4. 20. Pemodelan Geometri 2D

2. setelah geometri terbentuk input material yang digunakan sesuai data yang telah ada
 - A. Input Data Material Tanah

Data tanah yang dimasukkan dimasukkan dalam data tabel parameter didalam Plaxis 8.6 2D seperti dibawah ini:

Data Tanah 1

$$\gamma_1 = 14,44$$

$$\phi_1 = 39^\circ$$

$$c_1 = 29 \text{ kn/m}^2$$

Data Tanah 2

$$\gamma_2 = 15,5$$

$$\phi_2 = 39$$

$$c_2 = 26,1$$

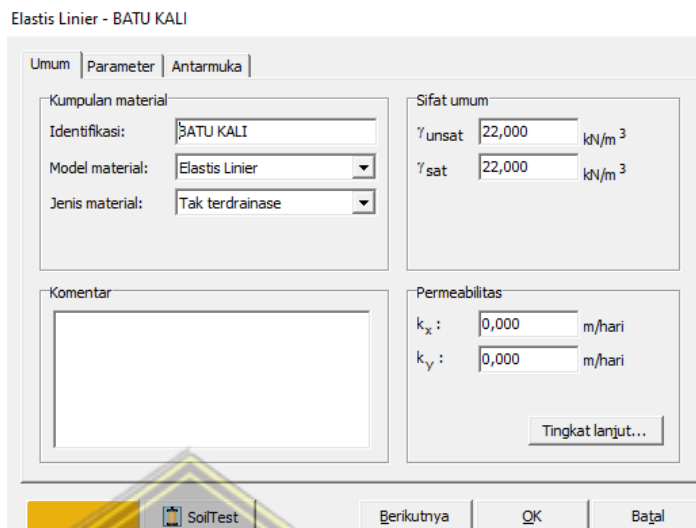
Data tanah 3

$$\gamma_3 = 15,71$$

$$\phi_3 = 32$$

$$c_3 = 11,2$$

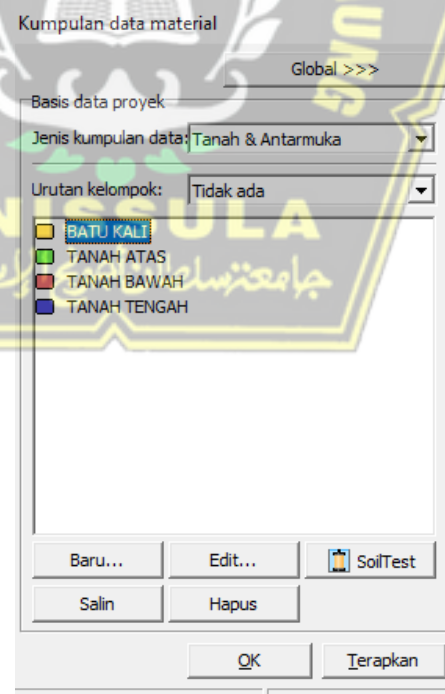
B. Input Data Dinding Penahan Tanah



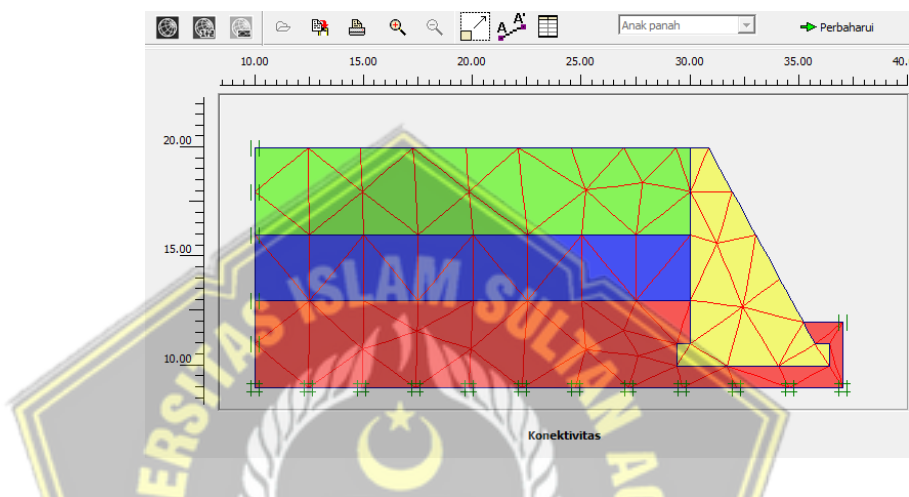
Gambar 4. 21. General Dinding Penahan Tanah

3. Data material yang telah dibuat dimasukkan pada pemodelan geometri 2D yang telah dibuat diawal dengan cara *drag* material.

Gambar 4. 22. Properties Material Dalam Geometri

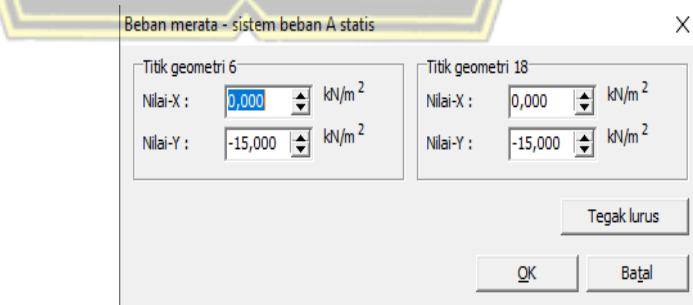


- Setelah drag material kedalam pemodelan selesai Klik *standard fixities*  untuk membatasi gaya-gaya yang bekerja pada arah sumbu X dan Sumbu Y yang terjadi pada pemodelan.
- Kemudian klik *mesh*  untuk mengatur pembentukan jaring-jaring.



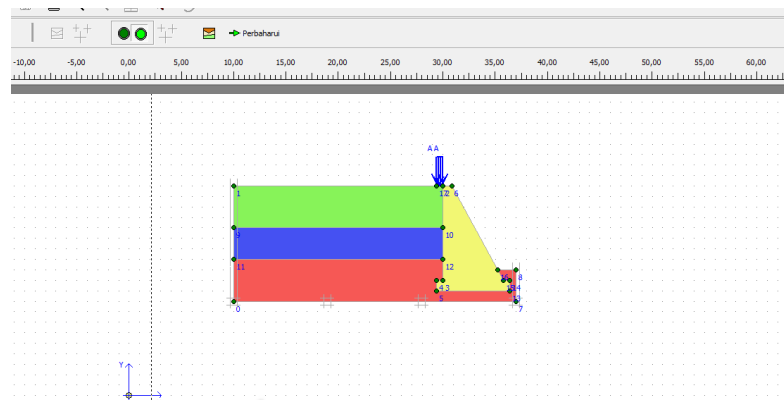
Gambar 4. 23 Tampilan Geometri Setelah Di Mesh

- Setelah itu *update* untuk masuk lagi ke pemodelan 2D. Masukkan *distributed load* yang bekerja pada pemodelan.
- Input beban yang kita pakai sama dengan dinding kantiliver pada pemodelan, yaitu 15 kN. Input data negatif (-) menandakan gaya bekerja kebawah.



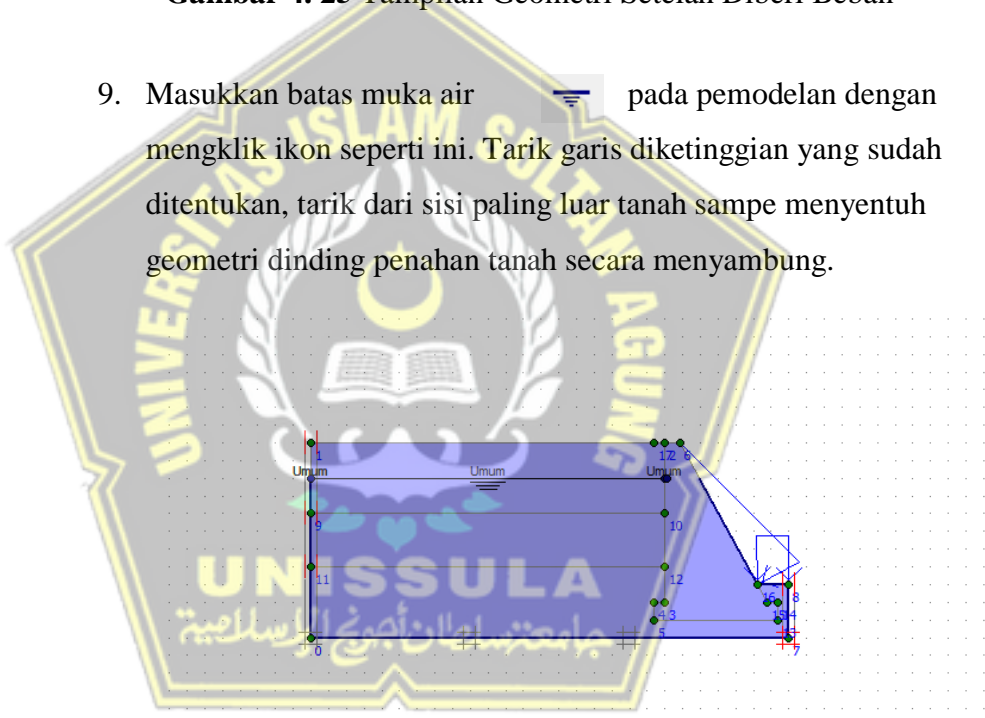
Gambar 4. 24 Input Beban

- Setelah pembebanan sudah dimasukkan pemodelan akan terlihat seperti dibawah ini



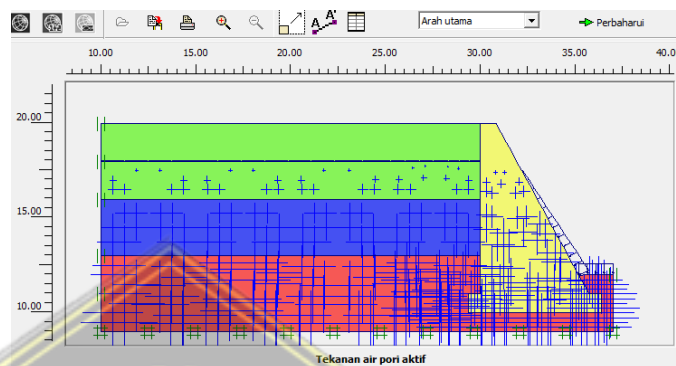
Gambar 4. 25 Tampilan Geometri Setelah Diberi Beban

- Masukkan batas muka air pada pemodelan dengan mengklik ikon seperti ini. Tarik garis diketinggian yang sudah ditentukan, tarik dari sisi paling luar tanah sampe menyentuh geometri dinding penahan tanah secara menyambung.



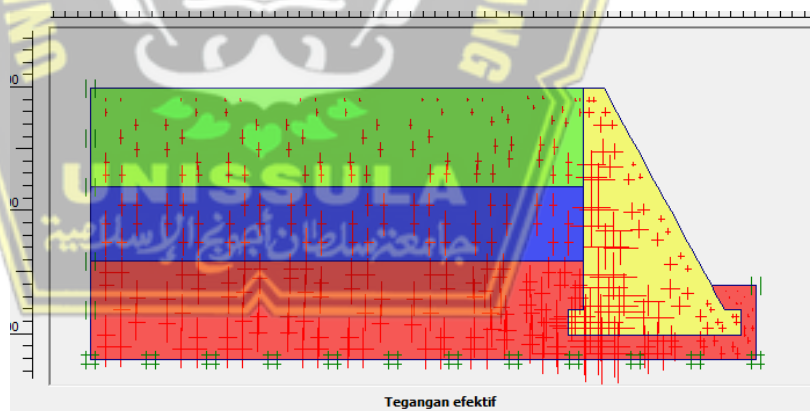
Gambar 4. 26 Tampilan Geometri Yang Diberi Muka Air Tanah

10. Lanjut dengan klik *generate water pressure*  setelah mengatur muka air untuk mengaktifkan tekanan air. Setelah itu akan muncul menu perhitungan tekanan air pilih titik *phreatic level* lalu Klik OK. Akan muncul gambar seperti dibawah, dilanjutkan klik *update*



Gambar 4. 27 Tampilan Pressure Level Setelah Di Update

11. Pilih *generate initial stresses*  untuk mengaktifkan tegangan awal. Otomatis setelah mengklik menu *generate initial stresses*. Lanjut dengan klik OK, akan muncul tampilan dan angka tegangan efektif yang terjadi pada geometri pemodelan.



Gambar 4. 28 Tampilan Tegangan Efektif

12. Klik *update* untuk kembali ke geometri pemodelan dan melanjutkan langkah berikutnya. Setelah kembali ke geometri pemodelan, klik *calculate*. Akan muncul otomatis tampilan seperti dibawah. Lalu klik *next*. Membuat tahap selanjutnya klik parameters masukkan time interval 14 hari kemudian klik *define*.

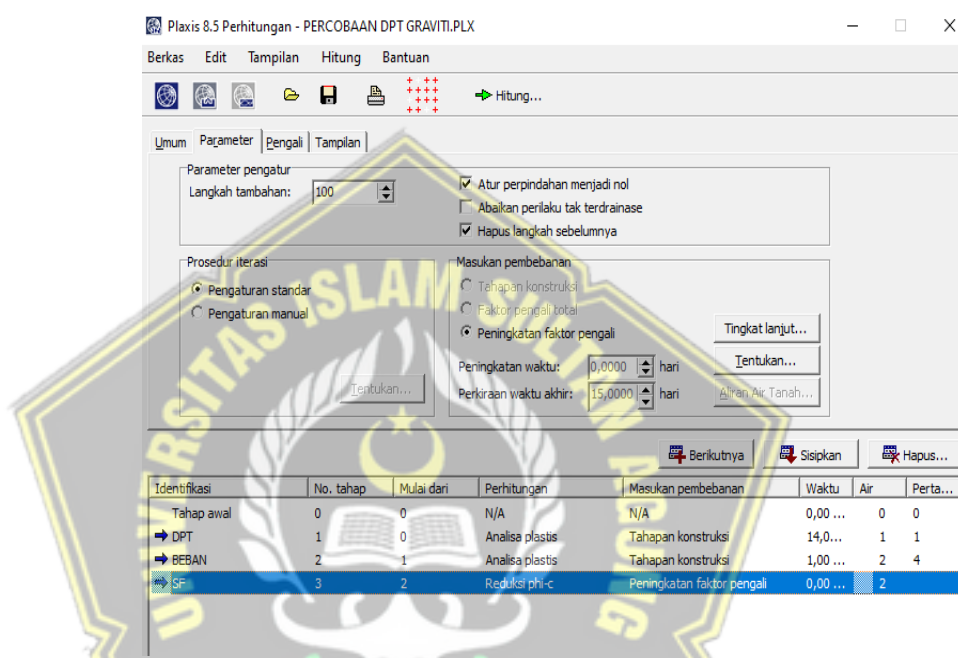
Identifikasi	No. tahap	Mulai dari	Perhitungan	Masukan pembebahan	Waktu	Air	Perta...
Tahap awal	0	0	N/A	N/A	0,00 ...	0	0
➡ DPT	1	0	Analisa plastis	Tahapan konstruksi	14,0...	1	1

Gambar 4. 29 . Tampilan Perhitungan Tahap 1

Identifikasi	No. tahap	Mulai dari	Perhitungan	Masukan pembebahan	Waktu	Air	Perta...
Tahap awal	0	0	N/A	N/A	0,00 ...	0	0
➡ DPT	1	0	Analisa plastis	Tahapan konstruksi	14,0...	1	1

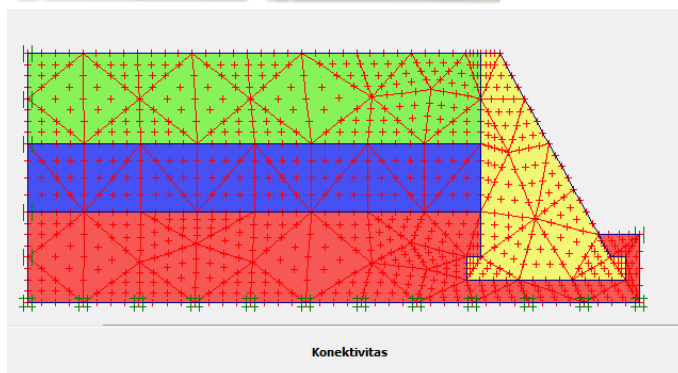
Gambar 4. 30 Tahap Perhitungan Pemasangan Dinding

13. Lanjut klik *next*. Akan muncul kembali tahap selanjutnya yaitu membuat beban, atur time interval menjadi 1 hari, lalu dengan klik *define*. Lanjut dengan klik *next* lagi. Akan muncul kembali tampilan seperti dibawah, *calculate type* diganti *phi/c reduction*.lu klik parameter, centang pilihan *reset displacement* dan *delete intermediate steps*. Lanjut masukkan *time interval* dengan 1 hari



Gambar 4. 31 Parameter Pada SF

14. Klik *select point* berguna sebagai titik kontrol deformasi, atur titik yang diinginkan dengan mengklik tempat yang diingin dikontrol. Lanjut klik *update*. Calculate lagi



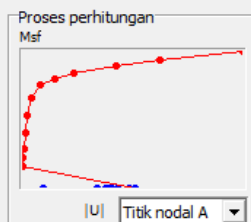
Gambar 4. 32 Geometri Pada Select Point Kemudian di calculate

15. Proses perhitungan

Plaxis 8.5 - Perhitungan Plastis - Regangan bidang

Proyek: PERCOBAAN DPT GRAVITI
Tahap: SF

Faktor pengali total pada akhir langkah beban sebelumnya		
$\Sigma\text{-Mdisp}$:	1,000	PMaks: 1298,700
$\Sigma\text{-MloadA}$:	1,000	$\Sigma\text{-Marea}$: 1,000
$\Sigma\text{-MloadB}$:	1,000	Gaya-X: 0,000
$\Sigma\text{-Mweight}$:	1,000	Gaya-Y: 0,000
$\Sigma\text{-Macel}$:	0,000	Kekakuan: 0,018
$\Sigma\text{-Msf}$:	2,689	Waktu: 15,000
$\Sigma\text{-Mstage}$:	0,000	Waktu dinamis: 0,000



Proses iterasi dari langkah saat ini			
Langkah saat ini:	23	Langkah maks. :	110
Iterasi:	2	Iterasi maks. :	60
Kesalahan global:	0,022	Toleransi:	0,010

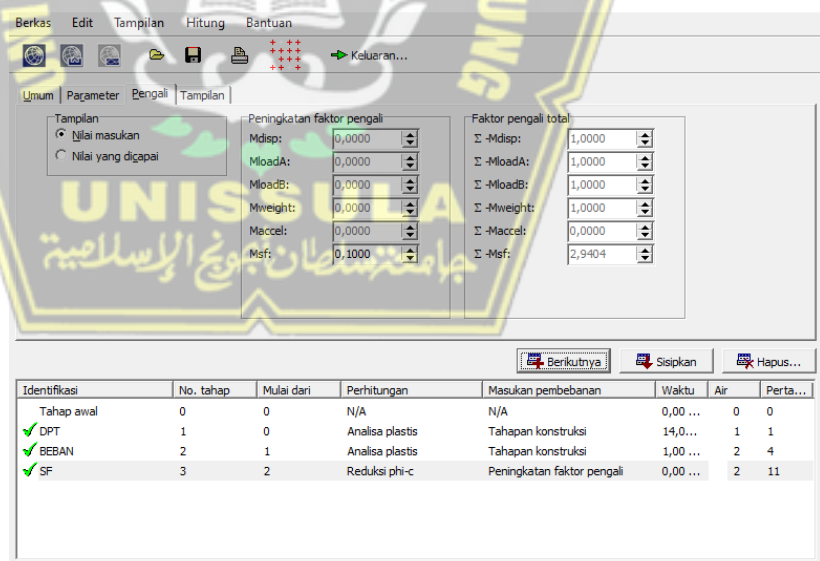
Titik plastis dalam langkah saat ini			
Titik tegangan plastis:	618	Tidak akurat:	509
Titik antarmuka plastis:	0	Tidak akurat:	0
Titik tegangan tarik:	107	Titik "Cap/Hard":	0

Batal

Gambar 4. 33 Tampilan Saat Perhitungan

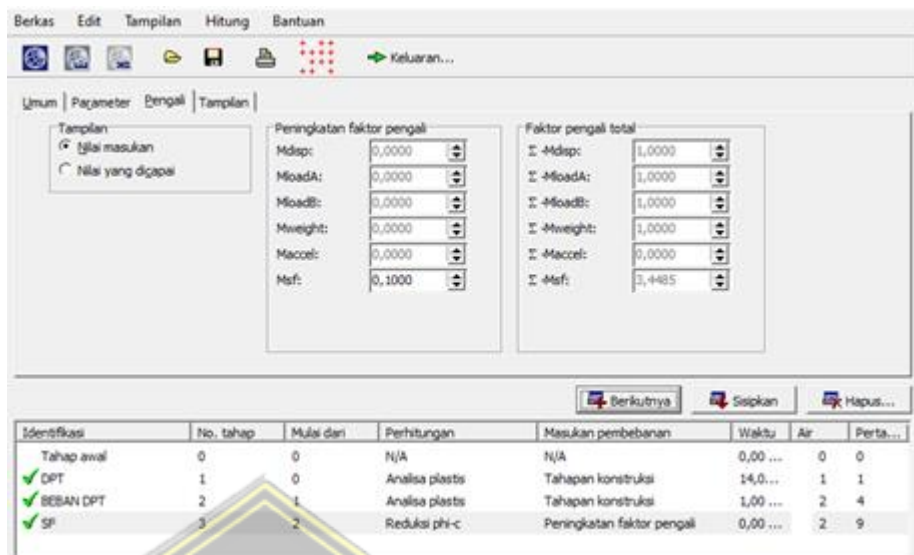
16. Setelah perhitungan selesai akan muncul hasil perhitungan.

Tanda centang tanda sebagai bahwa perhitungan aman,
sedangkan silang pertanda tidak aman

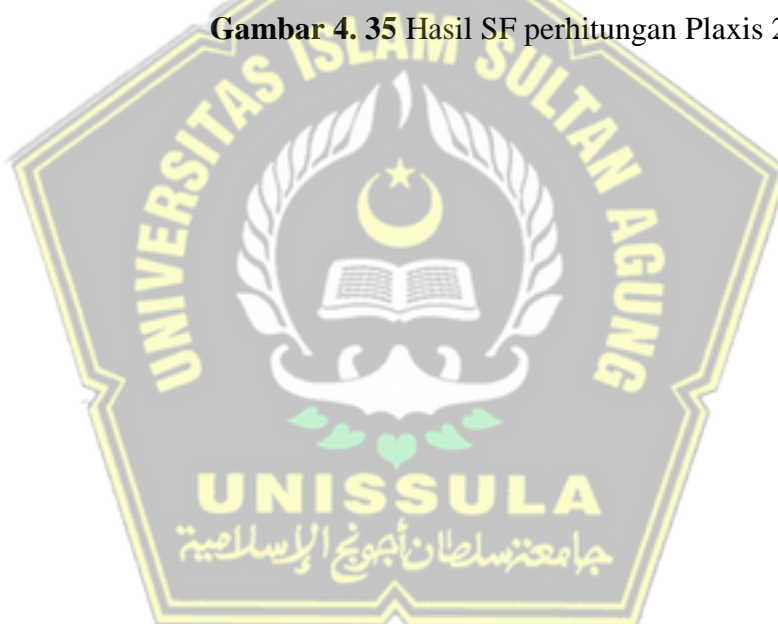


Gambar 4. 34 Tampilan Setelah Selesai Dihitung

17. Hasil SF 3,45 yang berati aman karena diatas $\geq 1,5$

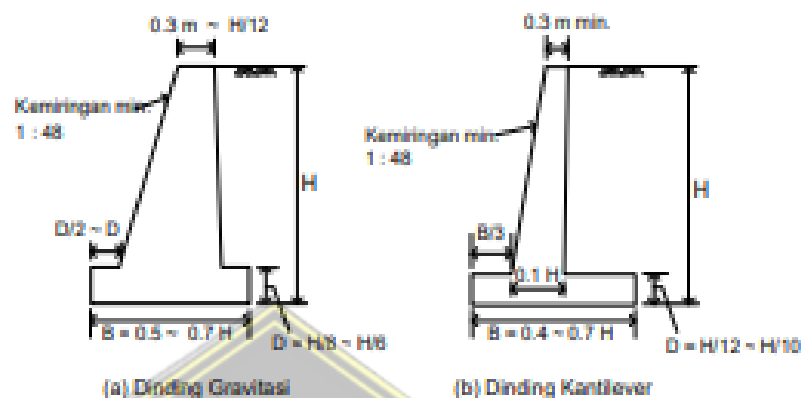


Gambar 4. 35 Hasil SF perhitungan Plaxis 2D

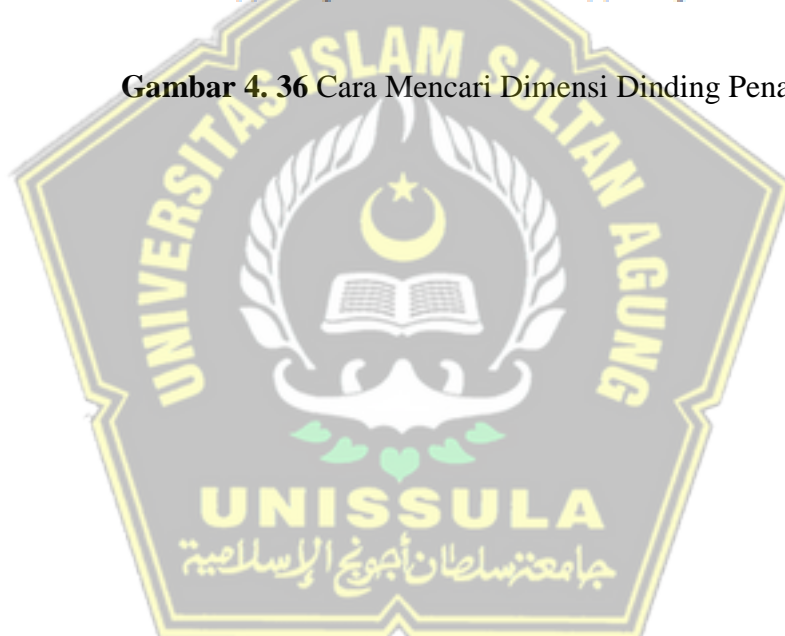


4.5 Perhitungan Manual Analisa Perbandingan Dinding Penahan Tanah Tipe Kantiliver Dan Tipe Gravity

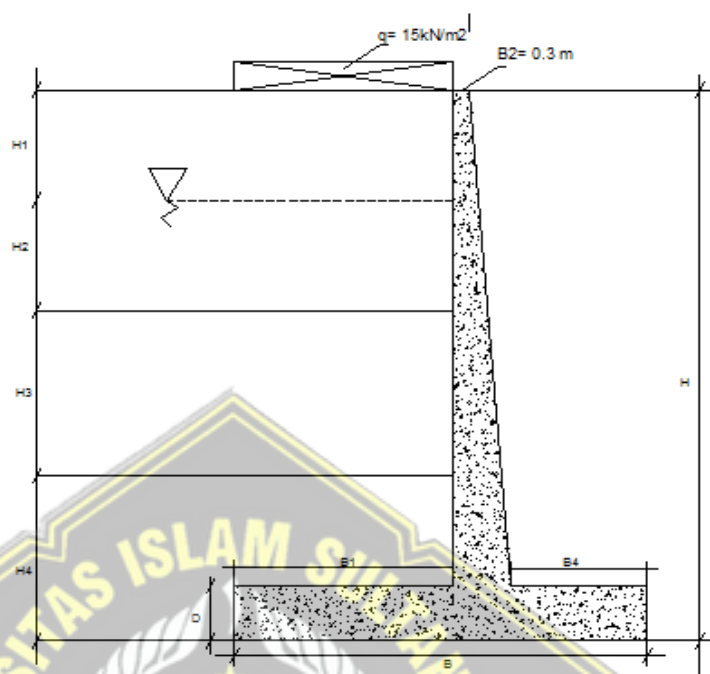
4.5.1. Mendesain Dinding Penahan Tanah



Gambar 4. 36 Cara Mencari Dimensi Dinding Penahan Tanah



4.5.2. Perhitungan Tipe Kantiliver

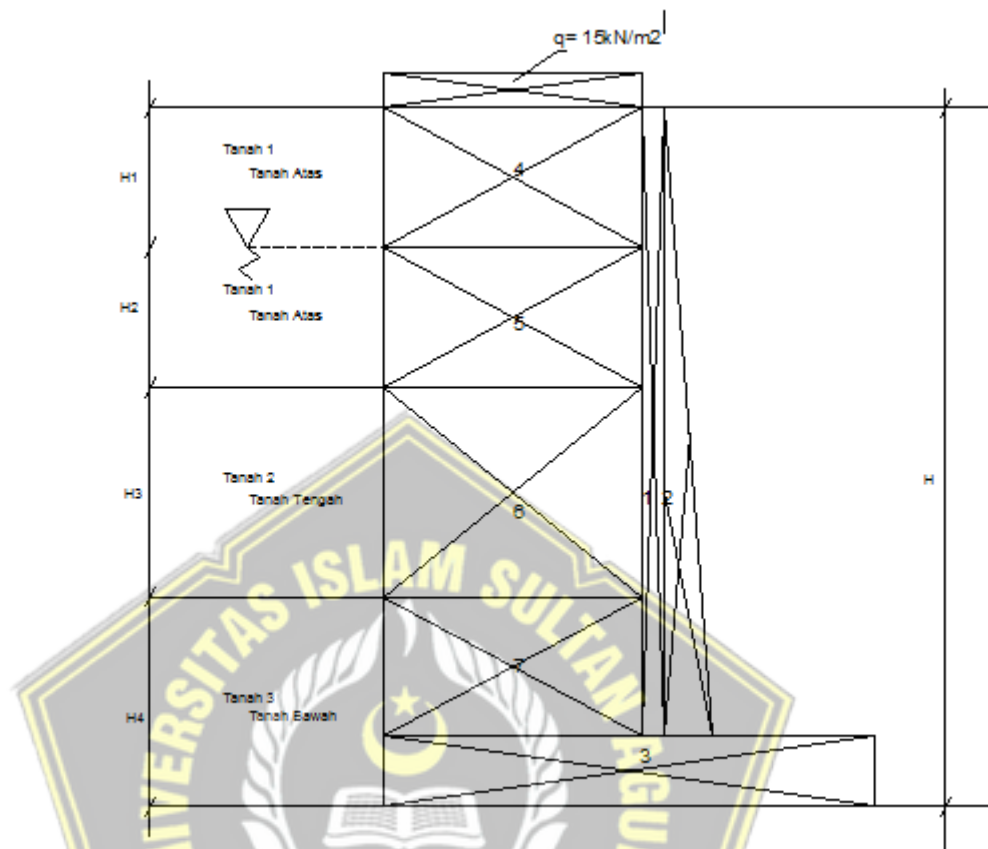


Gambar 4. 37 Desain Dinding Penahan Tanah Tipe Kantiliver

Dengan :

q	= 15 kN	D	= 1 m
H	= 10 m	B	= 7 m
$H1$	= 2 m	$B1$	= 3,67 m
$H2$	= 2 m	$B2$	= 0,3 m
$H3$	= 3 m	$B3$	= 0,7 m
$H4$	= 3 m	$B4$	= 2,33 m

- A. Menghitung berat dinding penahan tanah dengan beban merata



Gambar 4. 38 Distribusi Beban Pada Dinding Penahan Tanah

• Bidang 1 :

$$\text{Berat jenis beton bertulang} = 24 \text{ kN/m}^3$$

$$W_1 = P.L.\gamma_{\text{beton bertulang}}$$

$$= 9.0.3.24$$

$$= 64.8 \text{ kN}$$

• Bidang 2 :

$$W_2 = 0,5.A.T. \gamma_{\text{beton bertulang}}$$

$$= 0,5. 0.7.9.24$$

$$= 75.6 \text{ kN}$$

• Bidang 3 :

$$W_3 = P.L. \gamma_{\text{beton bertulang}}$$

$$= 7.1. 24$$

$$= 168 \text{ kN}$$

- Bidang 4 :

$$W_4 = P.L. \gamma_{tanah}$$

$$= 3,67.2.16,04$$

$$= 117,627 \text{ kN}$$

- Bidang 5 :

$$W_5 = P.L. (\gamma_{sat_1} - \gamma_{air})$$

$$= 3,67.2 (15,55.10)$$

$$= 40,7 \text{ kN}$$

- Bidang 6 :

$$W_6 = P.L. (\gamma_{sat_2} - \gamma_{air})$$

$$= 3,67.8 (16,50.10)$$

$$= 40,7 \text{ kN}$$

- Bidang 7 :

$$W_7 = P.L. (\gamma_{sat_3} - \gamma_{air})$$

$$= 2.8 (16,70.10)$$

$$= 49,2 \text{ kN}$$

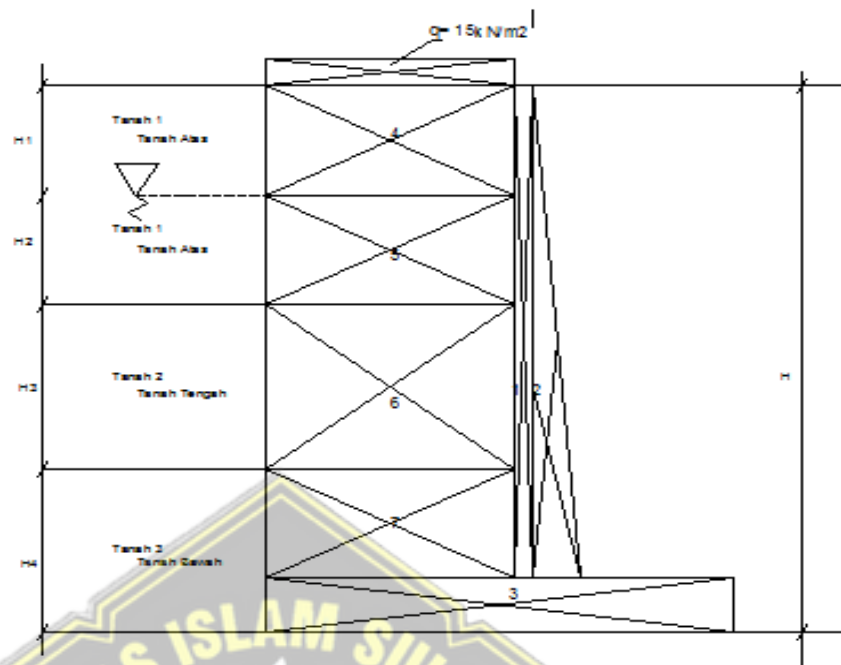
- Beban akibat beban merata :

$$W = q.L.$$

$$= 15. 3.67$$

$$= 55 \text{ kN}$$

B. Jarak Beban Kepada Ujung Dinding Penahanan (Titik 0)



Gambar 4. 39 Jarak Titik Berat (x) Terhadap Titik 0

- $$\begin{aligned} X_1 &= (0,5.B2) + B3 + B4 \\ &= (0,5.0,3) + 0,7 + 2,33 \\ &= 3,18 \text{ m} \end{aligned}$$
- $$\begin{aligned} X_2 &= (2/3.B3) + B4 \\ &= (2/3.0,3) + 2,33 \\ &= 2,8 \text{ m} \end{aligned}$$
- $$\begin{aligned} X_3 &= 0,5.B \\ &= 0,5.7 \\ &= 3,5 \text{ m} \end{aligned}$$
- $$\begin{aligned} X_4 &= (0,5.B1) + B2 + B3 + B4 \\ &= (0,5.3,67) + 0,3 + 0,7 + 2,33 \\ &= 5,17 \text{ m} \end{aligned}$$
- $$\begin{aligned} X_5 &= (0,5.B1) + B2 + B3 + B4 \\ &= (0,5.3,67) + 0,3 + 0,7 + 2,33 \\ &= 5,17 \text{ m} \end{aligned}$$
- $$\begin{aligned} X_6 &= (0,5.B1) + B2 + B3 + B4 \\ &= (0,5.3,67) + 0,3 + 0,7 + 2,33 \end{aligned}$$

$$= 5,17 \text{ m}$$

- $X_7 = (0,5.B1) + B2 + B3 + B4$
 $= (0,5 \cdot 3,67) + 0,3 + 0,7 + 2,33$
 $= 5,17 \text{ m}$
- $X_8 = (0,5.B1) + B2 + B3 + B4$
 $= (0,5 \cdot 3,67) + 0,3 + 0,7 + 2,33$
 $= 5,17 \text{ m}$

C. Hasil Perhitungan Momen Akibat Gaya Vertikal

No	Berat (W) kN	Jarak (x) m	Momen (M) Kn/m
1	64,8	3,18	206,28
2	75,6	2,8	211,68
3	168	3,5	588,00
4	117,627	5,17	607,74
5	40,7	5,17	210,28
6	71,5	5,17	369,42
7	49,21	5,17	254,23
8	55	5,17	284,17
	$\Sigma W = 642,433$		$\Sigma M_w = 2731,80$

D. Koefisien Tekanan Tanah Aktif (Ka)

$$Ka1 = \frac{1-\sin\phi}{1+\sin\phi} = \frac{1-\sin 39}{1+\sin 39} = 0,23$$

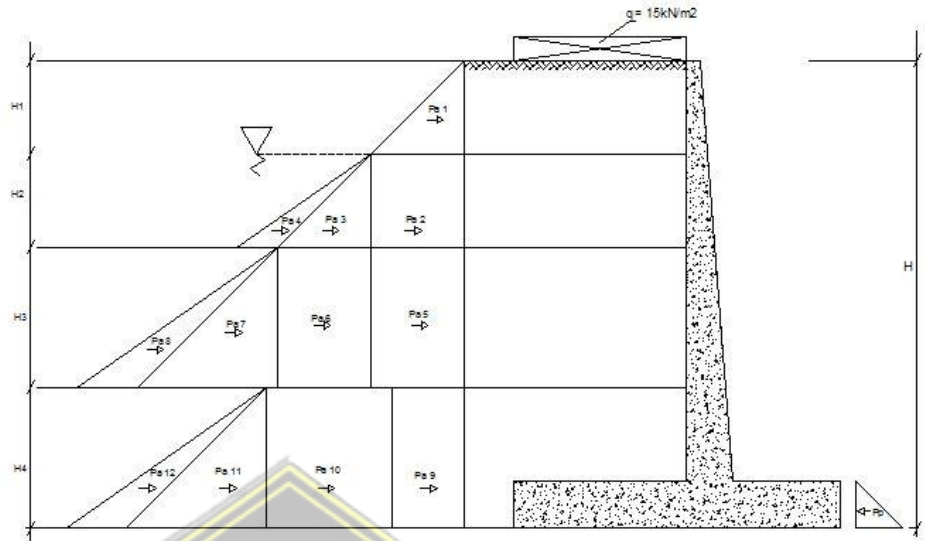
$$Ka2 = \frac{1-\sin\phi}{1+\sin\phi} = \frac{1-\sin 39}{1+\sin 39} = 0,23$$

$$Ka3 = \frac{1-\sin\phi}{1+\sin\phi} = \frac{1-\sin 32}{1+\sin 32} = 0,31$$

E. Koefisien Tekanan Tanah Pasif (PA)

$$KP = \frac{1}{Ka} = 4,35$$

F. Tekanan Tanah Pada Dinding Penahan Tanah



Gambar 4. 40 Tekanan Tanah Pada Dinding Penahan Tanah

G. Tekanan Tanah Aktif

- Bidang 1 :

$$\begin{aligned} Pa_1 &= K_{a1} \cdot q \cdot (h_1 + h_2 + h_3) \\ &= 0,23 \cdot 15 \cdot (2 + 2 + 2 + 3) \\ &= 24,15 \text{ kN} \end{aligned}$$

- Bidang 2 :

$$\begin{aligned} Pa_2 &= \frac{1}{2} \cdot K_{a1} \cdot \gamma \text{ tanah basah 1} \cdot (H_2)^2 \\ &= \frac{1}{2} \cdot 0,23 \cdot 16,04 \cdot (2)^2 \\ &= 7,38 \text{ kN} \end{aligned}$$

- Bidang 3 :

$$\begin{aligned} Pa_3 &= K_{a1} \cdot \gamma \text{ tanah basah 1} \cdot H_1 \cdot H_2 \\ &= 0,23 \cdot 16,04 \cdot 2 \cdot 2 \\ &= 14,76 \text{ kN/m} \end{aligned}$$

- Bidang 4 :

$$\begin{aligned} Pa_4 &= \frac{1}{2} \cdot K_{a1} \cdot \gamma_{sat1} \cdot (H_2)^2 \\ &= \frac{1}{2} \cdot 0,23 \cdot 15,55 \cdot (2)^2 \\ &= 7,15 \text{ kN} \end{aligned}$$

- Bidang 5 :

$$\begin{aligned}
 Pa_5 &= \frac{1}{2} \cdot \gamma w \cdot (H2)^2 \\
 &= \frac{1}{2} \cdot 10 \cdot (2)^2 \\
 &= 20 \text{ kN}
 \end{aligned}$$

- Bidang 6 :

$$\begin{aligned}
 Pa_6 &= Ka_2 \cdot H1 \cdot \gamma \text{ tanah basah 1} \cdot H3 \\
 &= 0,23 \cdot 2,16,04 \cdot 3 \\
 &= 22,14 \text{ kN}
 \end{aligned}$$

- Bidang 7 :

$$\begin{aligned}
 Pa_7 &= Ka_2 \cdot H2 \cdot \gamma \text{ sat 1} \cdot H3 \\
 &= 0,23 \cdot 2,15,55 \cdot 3 \\
 &= 21,46 \text{ kN}
 \end{aligned}$$

- Bidang 8 :

$$\begin{aligned}
 Pa_8 &= \frac{1}{2} \cdot Ka_2 \cdot \gamma \text{ sat 2} \cdot (H3)^2 \\
 &= \frac{1}{2} \cdot 0,23 \cdot 16,5 \cdot (3)^2 \\
 &= 17,08 \text{ kN}
 \end{aligned}$$

- Bidang 9 :

$$\begin{aligned}
 Pa_9 &= \frac{1}{2} \cdot \gamma w \cdot (H3)^2 \\
 &= \frac{1}{2} \cdot 10 \cdot (3)^2 \\
 &= 45 \text{ kN}
 \end{aligned}$$

- Bidang 10 :

$$\begin{aligned}
 Pa_{10} &= Ka_3 \cdot q \cdot H4 \\
 &= 0,31 \cdot 15 \cdot 3 \\
 &= 13,95 \text{ kN}
 \end{aligned}$$

- Bidang 11 :

$$\begin{aligned}
 Pa_{11} &= Ka_3 \cdot ((H1 \cdot \gamma T, \text{ basah 1}) + (H2 \cdot \gamma \text{ sat 1}) + \\
 &\quad (H3 \cdot \gamma \text{ sat 2})) \cdot H4 \\
 &= 0,31 \cdot ((2,16,04) + (2 \cdot 15,55) + (3 \cdot 16,5)) \cdot 3 \\
 &= 104,79 \text{ kN}
 \end{aligned}$$

- Bidang 12 :

$$\begin{aligned}
 Pa_{12} &= \frac{1}{2} \cdot Ka_3 \cdot \gamma \text{ sat 3} \cdot (H4)^2 \\
 &= \frac{1}{2} \cdot 0,31 \cdot 16,71 \cdot (3)^2
 \end{aligned}$$

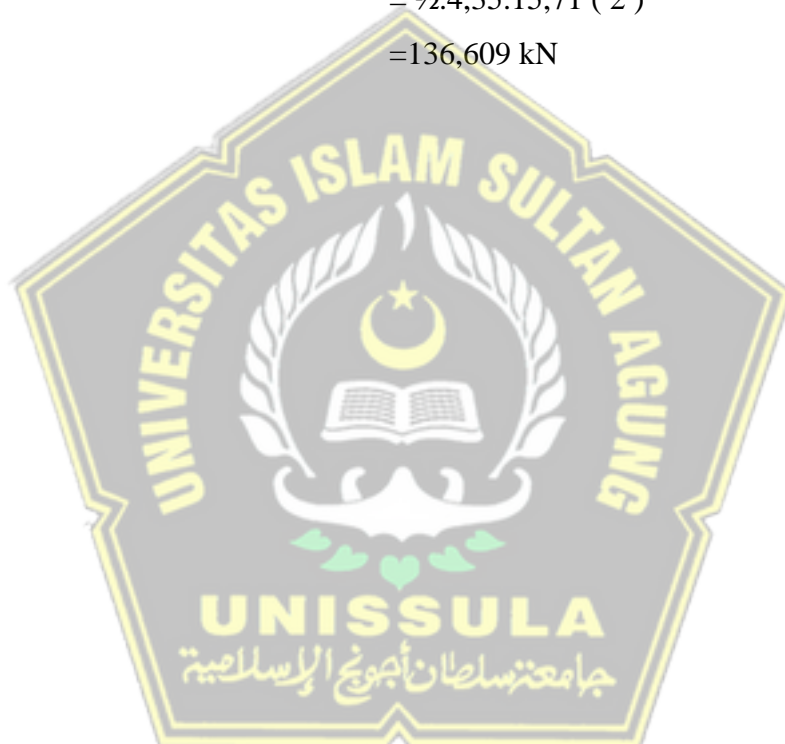
$$= 23,31 \text{ kN}$$

- Bidang 13 :

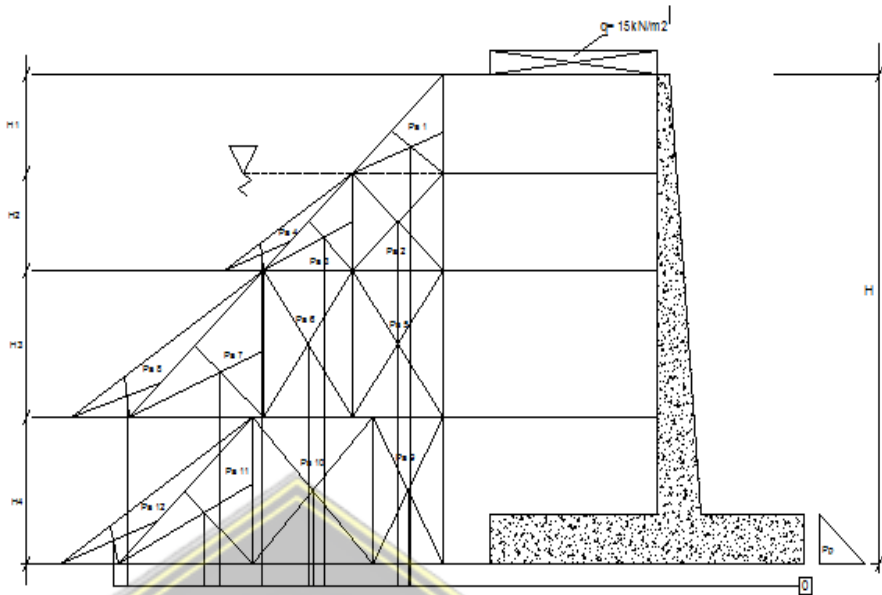
$$\begin{aligned} P_{a13} &= \frac{1}{2} \cdot \gamma w \cdot (H4)^2 \\ &= \frac{1}{2} \cdot 10 \cdot (3)^2 \\ &= 45 \text{ kN} \end{aligned}$$

H. Tekanan tanah pasif (Pp)

$$\begin{aligned} P_p &= \frac{1}{2} \cdot K_p \cdot \gamma \tanah_3 \cdot (H5)^2 \\ &= \frac{1}{2} \cdot 4,35 \cdot 15,71 \cdot (2)^2 \\ &= 136,609 \text{ kN} \end{aligned}$$



I. Jarak Lengan terhadap titik 0



Gambar 4. 41 Jarak Titik Berat Terhadap Titik 0

- $$L_1 = H_4 + \frac{1}{2} \cdot (H_3 + H_2 + H_1)$$

$$= 3 + \left(\frac{1}{2} \cdot (3 + 2 + 2) \right)$$

$$= 6,5 \text{ m}$$

- $$L_2 = H_4 + H_3 + H_2 + \left(\frac{1}{3} \cdot H_1 \right)$$

$$= 3 + 3 + 2 \left(\frac{1}{3} \cdot 2 \right)$$

$$= 8,67 \text{ m}$$

- $$L_3 = H_4 + H_3 + \left(\frac{1}{2} \cdot H_2 \right)$$

$$= 3 + 3 + \left(\frac{1}{2} \cdot 2 \right)$$

$$= 7 \text{ m}$$

- $$L_4 = H_4 + H_3 + \left(\frac{1}{3} \cdot H_2 \right)$$

$$= 3 + 3 + \left(\frac{1}{3} \cdot 2 \right)$$

$$= 6,67 \text{ m}$$

- $$L_5 = H_4 + H_3 + \left(\frac{1}{3} \cdot H_2 \right)$$

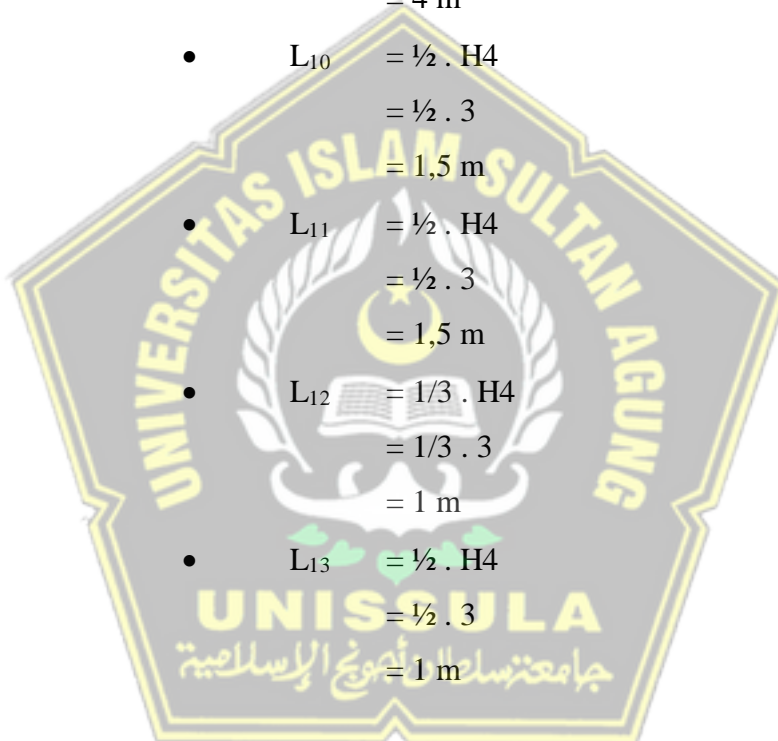
$$= 3 + 3 + \left(\frac{1}{3} \cdot 2 \right)$$

$$= 6,67 \text{ m}$$

- $$L_6 = H_4 + \left(\frac{1}{2} \cdot H_3 \right)$$

$$= 3 + \left(\frac{1}{2} \cdot 3 \right)$$

- = 4,5 m
- $L_7 = H_4 + (\frac{1}{2} \cdot H_3)$
 $= 3 + (\frac{1}{2} \cdot 3)$
 $= 4,5 \text{ m}$
 - $L_8 = H_4 + (\frac{1}{3} \cdot H_3)$
 $= 3 + (\frac{1}{3} \cdot 3)$
 $= 4 \text{ m}$
 - $L_9 = H_4 + (\frac{1}{2} \cdot H_3)$
 $= 3 + (\frac{1}{3} \cdot 3)$
 $= 4 \text{ m}$
 - $L_{10} = \frac{1}{2} \cdot H_4$
 $= \frac{1}{2} \cdot 3$
 $= 1,5 \text{ m}$
 - $L_{11} = \frac{1}{2} \cdot H_4$
 $= \frac{1}{2} \cdot 3$
 $= 1,5 \text{ m}$
 - $L_{12} = \frac{1}{3} \cdot H_4$
 $= \frac{1}{3} \cdot 3$
 $= 1 \text{ m}$
 - $L_{13} = \frac{1}{2} \cdot H_4$
 $= \frac{1}{2} \cdot 3$
 $= 1 \text{ m}$



J. Gaya-gaya horizontal akibat tekanan tanah pasif

NO	Tekanan Tanah Pasif (Pp)	Jarak	Moment
1	136,609	1	136,609
	$\Sigma P_p = 136,609$		$\Sigma M_a = 136,609$

K. Gaya-gaya horizontal akibat tekanan tanah aktif

NO	Tekanan Tanah Aktif (Pa)	Jarak	Moment
1	24,15	6,5	156,98
2	7,38	8,67	63,95
3	14,76	7	103,30
4	7,15	6,67	47,69
5	20	6,67	133,33
6	22,14	4,5	99,61
7	21,46	4,5	96,57
8	17,08	4	688,31
9	45	4	180,00
10	13,95	1,5	20,93
11	104,79	1,5	157,19
12	23,31	1	23,31
13	45	1	45,00
	$\Sigma P_a = 366,6$		$\Sigma M_a = 119,15$

L. Jumlah gaya-gaya horizontal

$$\Sigma P_h = \Sigma P_a - \Sigma P_p$$

$$= 366,16 - 136,609 \\ = 229,55 \text{ kN}$$

M. Moment yang mengakibatkan penggulingan

$$\Sigma M_g = \Sigma M_a - \Sigma M_p$$

$$= 1196,15 - 136,609 \\ = 1059,54 \text{ kNm}$$

N. Menghitung stabilitas terhadap penggeseran

$$\begin{aligned}\Sigma Rh &= Ca \cdot B + W \tan \delta b \\ &= 112,7 + (642,433 \cdot 0,625) \\ &= 479,837 \text{ kN/m}\end{aligned}$$

$$Fgs = \frac{\Sigma Rh}{\Sigma Ph} \geq 1,5$$

$$Fgs = \frac{479,837}{229,55} \geq 1,5$$

$$Fgs = 2,09 \geq 1,5 \text{ (Oke)}$$

O. Menghitung stabilitas terhadap penggulingan

$$Fgl = \frac{\Sigma Mw}{\Sigma Mg} \geq 2,0$$

$$Fgl = \frac{2731,80}{1059,54} \geq 2,0$$

$$Fgl = 2,58 \geq 2,0 \text{ (Oke)}$$

P. Stabilitas terhadap keruntuhan kapasitas daya dukung

$$\begin{aligned}Xe &= \frac{\Sigma Mw - \Sigma Mg}{\Sigma W} \\ Xe &= \frac{2731,80 - 1059,54}{642,433}\end{aligned}$$

$$Xe = 2,60 \text{ m}$$

Eksentrisitas (e)

$$e = \frac{B}{2} - Xe$$

$$e = \frac{7}{2} - 2,60$$

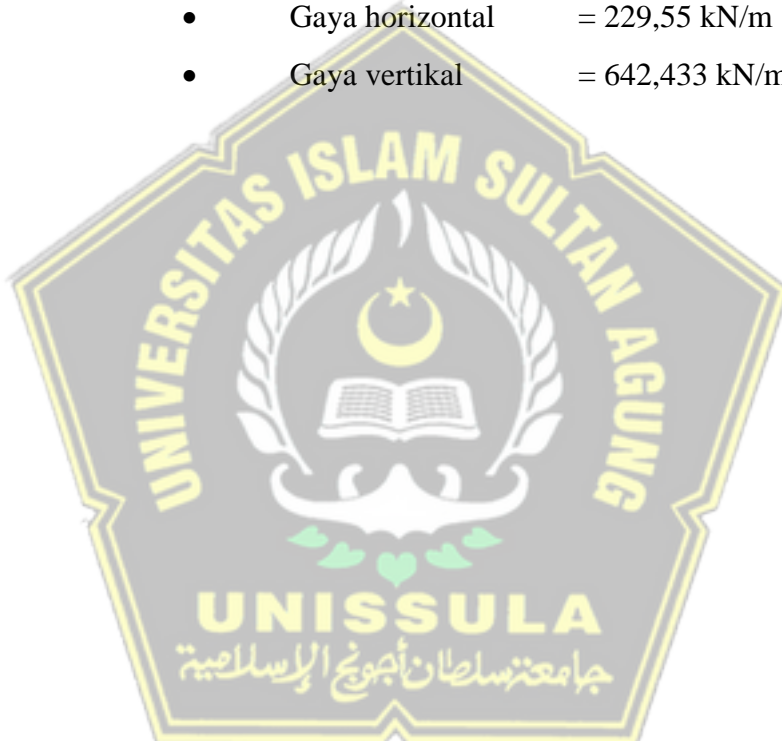
$$e = 0,90 \text{ m}$$

Lebar efektif

$$\begin{aligned}B &= B - 2e \\&= 7 - 2 \cdot 0,90 \\&= 5,21 \text{ m} \\A' &= B' \times 1 \\&= 5,21 \times 1 \\&= 5,21\end{aligned}$$

Q. Gaya-gaya yang ada pada dinding penahan tanah

- Gaya horizontal = 229,55 kN/m
- Gaya vertikal = 642,433 kN/m



R. Data-data faktor daya dukung

Tabel 4. 7 Faktor-faktor daya dukung tanah

ANGLE OF FRICTION ϕ (DEGREES)	TERZAGHI			MEYERHOF			HANSEN		
	N_c	N_q	N_y	N_c	N_q	N_y	N_c	N_q	N_y
0	5.70	1.00	0.00	5.10	1.00	0.00	5.10	1.00	0.00
2	6.30	1.22	0.18	5.63	1.20	0.01	5.63	1.20	0.01
4	6.97	1.49	0.38	6.19	1.43	0.04	6.19	1.43	0.05
5	7.34	1.64	0.50	6.49	1.57	0.07	6.49	1.57	0.07
6	7.73	1.81	0.62	6.81	1.72	0.11	6.81	1.72	0.11
8	8.60	2.21	0.91	7.53	2.06	0.21	7.53	2.06	0.22
10	9.60	2.69	1.21	8.34	2.47	0.37	8.34	2.47	0.39
12	10.76	3.29	1.70	9.28	2.97	0.60	9.28	2.97	0.63
14	12.11	4.02	2.23	10.37	3.59	0.92	10.37	3.59	0.97
15	12.86	4.45	2.50	10.98	3.94	1.13	10.98	3.94	1.18
16	13.68	4.92	2.94	11.63	4.34	1.37	11.63	4.34	1.43
18	15.52	6.04	3.87	13.10	5.26	2.00	13.10	5.26	2.08
20	17.89	7.44	4.97	14.83	6.40	2.87	14.83	6.40	2.95
22	20.27	9.19	6.61	16.88	7.82	4.07	16.88	7.82	4.13
24	23.36	11.40	8.58	19.32	9.60	5.72	19.32	9.60	5.75
25	25.13	12.72	9.70	20.72	10.66	6.77	20.72	10.66	6.76
26	27.09	14.21	11.35	22.25	11.85	8.00	22.25	11.85	7.94
28	31.61	17.61	15.15	25.80	14.72	11.19	25.80	14.72	10.94
30	37.16	22.46	19.73	30.14	18.40	15.67	30.14	18.40	15.07
32	44.04	28.52	27.49	35.49	23.18	22.02	35.49	23.18	20.79
34	52.64	36.50	38.96	42.16	29.44	31.15	42.16	29.44	28.77
35	57.75	41.44	42.40	46.12	33.30	37.15	46.12	33.30	33.92
36	63.53	47.16	51.70	50.59	37.75	44.43	50.59	37.75	40.05
38	77.50	61.55	73.47	61.35	49.93	64.07	61.35	49.93	56.17
40	95.68	81.27	100.39	75.31	64.20	93.89	75.31	64.20	79.54
42	119.67	109.75	165.69	93.71	86.37	139.32	93.71	86.37	113.96
44	151.96	147.74	248.29	118.37	115.31	211.41	118.37	115.31	165.58
45	172.29	173.29	294.50	133.87	134.87	262.74	133.87	134.87	200.61
46	196.22	204.19	426.98	152.10	158.80	328.73	152.10	158.80	244.85
48	258.29	287.85	742.61	199.26	222.30	526.45	199.26	222.30	368.67
50	347.51	415.15	1153.15	266.88	319.06	673.86	266.88	319.06	568.57

Sudut 32°

$$N_c = 35,49$$

$$N_q = 23,18 \quad N_y = 30,21$$

S. Faktor kemiringan beban

$$iq = \left[1 \left[\frac{0,5 \cdot \Sigma H}{\Sigma V + A' \cdot C_2 \cdot \tan 32^\circ} \right] \right]^5$$

$$iq = \left[1 \left[\frac{0,5 \cdot 229,55}{642,433 + 5,21 \cdot 11,2 \cdot 0,624} \right] \right]^5$$

$$iq = 0,40$$

$$ic = iq = \left[\frac{1 - iq}{Nq - 1} \right]$$

$$ic = 0,433 = \left[\frac{1 - 0,40}{23,18 - 1} \right]$$

$$ic = 0,36$$

$$iy = \left[1 \left[\frac{0,7 \cdot \Sigma H}{\Sigma V + A' \cdot C_2 \cdot \cotan 32^\circ} \right] \right]^5$$

$$iy = \left[1 \left[\frac{0,7 \cdot 229,29}{642,433 + 5,21 \cdot 11,2 \cdot 1,600} \right] \right]^5$$

$$iy = 0,29$$

T. Kapsitas daya dukung *ultimit* untuk pondasi

$$q_u = i_c c \cdot N_c + i_q D_f \gamma N_q \cdot i_r 0,5 B_r N_r$$

$$q_u = 0,40 \cdot 11,2 \cdot 35,49 + 0,29 \cdot 0,5 \cdot 5,21 \cdot 18,04 \cdot 30,21$$

$$q_u = 571,2416 \text{ kN/m}^2$$

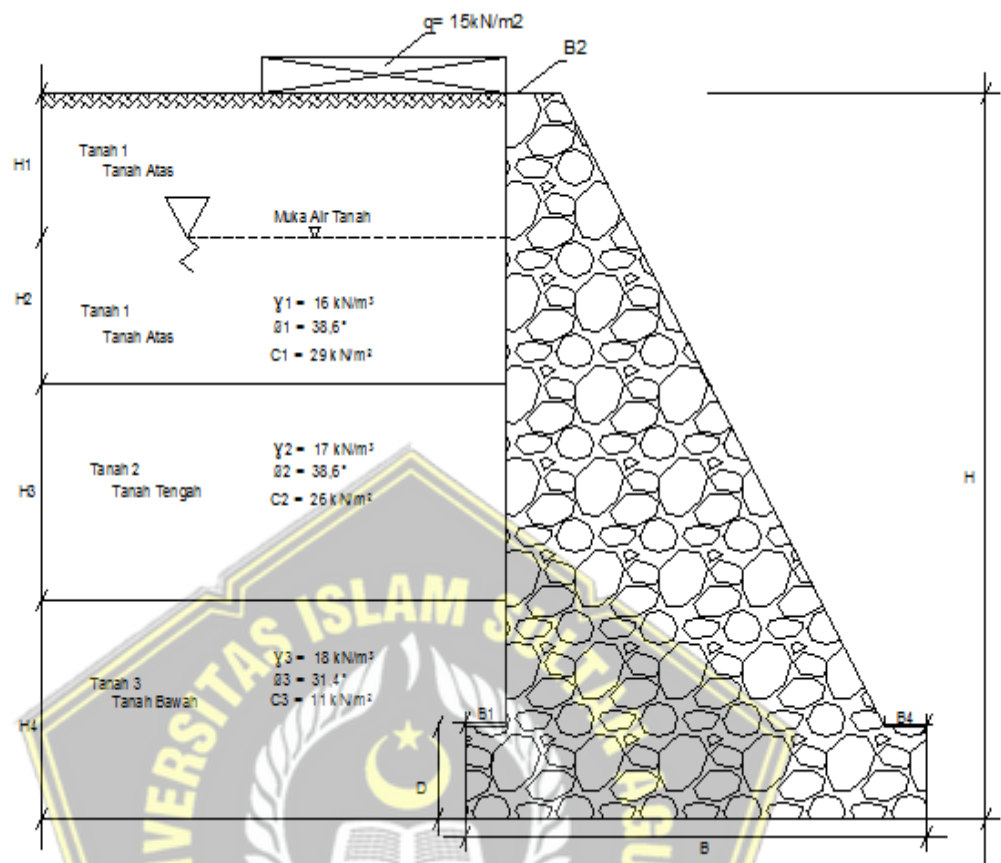
$$q' = \frac{\Sigma v}{B'} = \frac{642,433}{5,21} = 123,40$$

Faktor aman terhadap keruntuhan kapasitas daya dukung tanah

$$SF = \frac{q_u}{q'} = \frac{642,433}{5,21} = 4,629 \geq 3 \text{ (Oke)}$$



4.5.3. Perhitungan Tipe Gravity



Gambar 4. 42 Desain Dinding Penahan

Tanah Tipre GravityDengan :

$$\begin{aligned} q &= 15 \text{ kN} \\ H &= 10 \text{ m} \end{aligned}$$

$$H1 = 2 \text{ m}$$

$$H2 = 2 \text{ m}$$

$$H3 = 3 \text{ m}$$

$$H4 = 3 \text{ m}$$

$$D = 1 \text{ m}$$

$$B = 7 \text{ m}$$

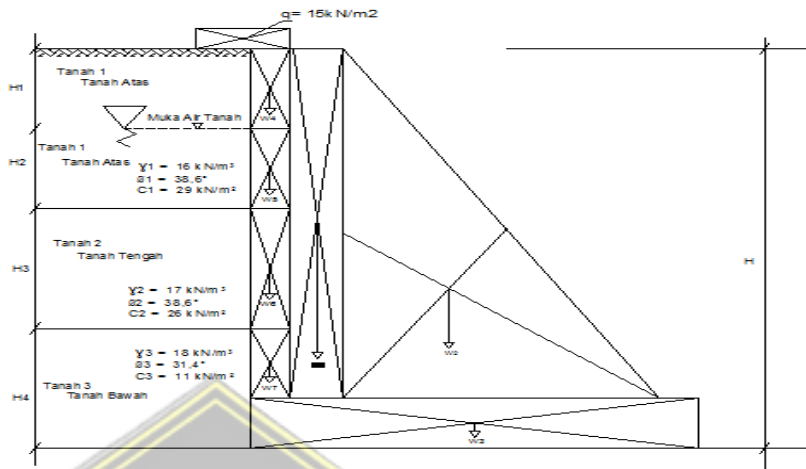
$$B1 = 0,63 \text{ m}$$

$$B2 = 0,83 \text{ m}$$

$$B3 = 4,92 \text{ m}$$

$$B4 = 0,63 \text{ m}$$

A. Menghitung berat dinding penahan tanah dengan bebanmerata



Gambar 4.43 . Distribusi Beban Pada Dinding Penahan Tanah

- Bidang 1 :

Berat jenis pasangan batu kali = 22 kN/m^3

$$\begin{aligned} W_1 &= P.L. \gamma_{\text{pas,batu kali}} \\ &= 8,75 \cdot 0,83 \cdot 22 \\ &= 160,42 \text{ kN/m} \end{aligned}$$

- Bidang 2 :

$$\begin{aligned} W_2 &= 0,5 \cdot A.T. \gamma_{\text{pas,batu kali}} \\ &= 0,5 \cdot 4,92 \cdot 8,75 \cdot 22 \\ &= 473,23 \text{ kN/m} \end{aligned}$$

- Bidang 3 :

$$\begin{aligned} W_3 &= P.L. \gamma_{\text{pas,batu kali}} \\ &= 7 \cdot 1,25 \cdot 222 \\ &= 192,5 \text{ kN/m} \end{aligned}$$

- Bidang 4 :

$$\begin{aligned} W_4 &= P.L. \gamma_{\text{tanah}} \\ &= 0,63 \cdot 2 \cdot 16,04 \\ &= 20,05 \text{ kN/m} \end{aligned}$$

- Bidang 5 :

$$\begin{aligned}
 W_5 &= P.L. (\gamma_{sat1} - \gamma_{air}) \\
 &= 0,63 \cdot 15,55 \cdot 10 \\
 &= 6,937 \text{ kN/m}
 \end{aligned}$$

- Bidang 6 :

$$\begin{aligned}
 W_6 &= P.L. (\gamma_{sat2} - \gamma_{air}) \\
 &= 0,63 \cdot 16,50 \cdot 10 \\
 &= 12,19 \text{ kN/m}
 \end{aligned}$$

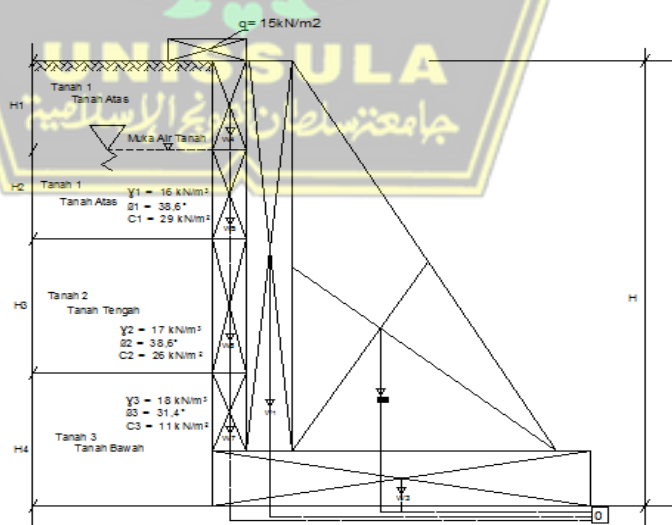
- Bidang 7 :

$$\begin{aligned}
 W_7 &= P.L. (\gamma_{sat3} - \gamma_{air}) \\
 &= 1,75 \cdot 0,63 \cdot 16,71 \cdot 10 \\
 &= 7,34 \text{ kN/m}
 \end{aligned}$$

- Beban akibat beban merata :

$$\begin{aligned}
 W &= q \cdot L \\
 &= 15 \cdot 0,63 \\
 &= 9,375 \text{ kN/m}
 \end{aligned}$$

B. Menghitung berat dinding penahan tanah dengan bebanmerata



Gambar 4. 44 Jarak Titik Berat (x) Terhadap Titik 0

- $X_1 = (0,5 \cdot B_2) + B_3 + B_4$

- $= (0,5 \cdot 0,833) + 4,92 + 0,63$
 $= 5,96 \text{ m}$
- $\bullet \quad X_2 = (2/3 \cdot B3) + B4$
 $= (2/3 \cdot 4,92) + 0,63$
 $= 3,90 \text{ m}$
 - $\bullet \quad X_3 = 0,5 \cdot B$
 $= 0,5 \cdot 7$
 $= 3,5 \text{ m}$
 - $\bullet \quad X_4 = (0,5 \cdot B1) + B2 + B3 + B4$
 $= (0,5 \cdot 0,63) + 0,833 + 4,92 + 0,63$
 $= 6,69 \text{ m}$
 - $\bullet \quad X_5 = (0,5 \cdot B1) + B2 + B3 + B4$
 $= (0,5 \cdot 0,63) + 0,833 + 4,92 + 0,63$
 $= 6,69 \text{ m}$
 - $\bullet \quad X_6 = (0,5 \cdot B1) + B2 + B3 + B4$
 $= (0,5 \cdot 0,63) + 0,833 + 4,92 + 0,63$
 $= 6,69 \text{ m}$
 - $\bullet \quad X_7 = (0,5 \cdot B1) + B2 + B3 + B4$
 $= (0,5 \cdot 0,63) + 0,833 + 4,92 + 0,63$
 $= 6,69 \text{ m}$
 - $\bullet \quad X_8 = (0,5 \cdot B1) + B2 + B3 + B4$
 $= (0,5 \cdot 0,63) + 0,833 + 4,92 + 0,63$
 $= 6,69 \text{ m}$

C. Hasil Perhitungan Momen Akibat Gaya Vertikal

No	Berat (W) kN/m ³	Jarak (x) m	Momen (M) Kn/m
1	160,416	5,96	955,82
2	473,229	3,90	1846,91
3	192,5	3,5	673,75
4	20,050	6,69	134,08

5	6,937	6,69	46,39
6	12,187	6,69	81,50
7	7,339	6,69	49,08
8	9,375	6,69	62,70
	$\Sigma W =$ 882,035		$\Sigma M_w = 3850,23$

D. Koefisien Tekanan Tanah Aktif (Ka)

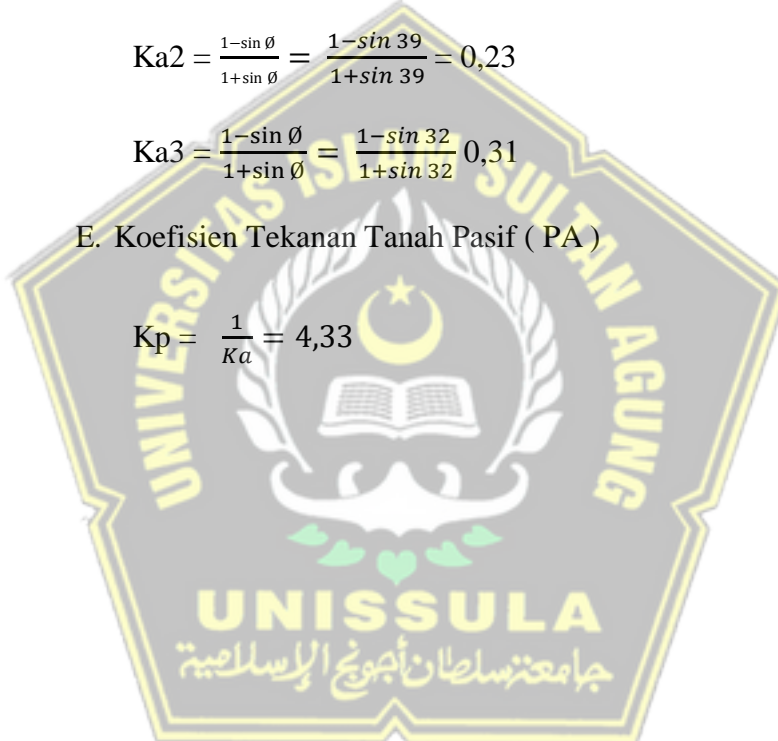
$$Ka1 = \frac{1-\sin \phi}{1+\sin \phi} = \frac{1-\sin 39}{1+\sin 39} = 0,23$$

$$Ka2 = \frac{1-\sin \phi}{1+\sin \phi} = \frac{1-\sin 39}{1+\sin 39} = 0,23$$

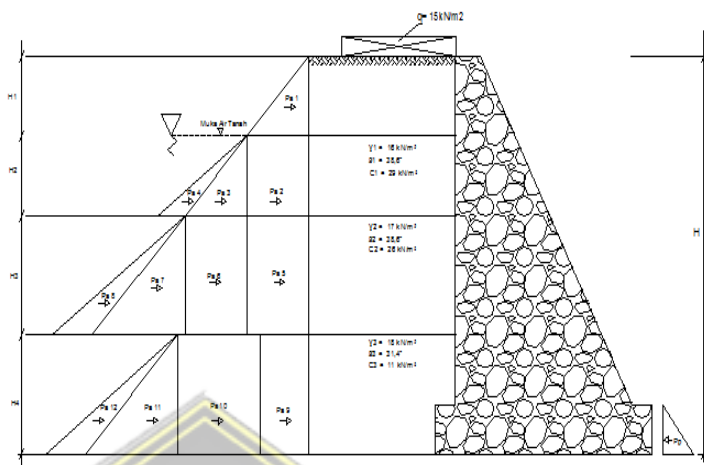
$$Ka3 = \frac{1-\sin \phi}{1+\sin \phi} = \frac{1-\sin 32}{1+\sin 32} = 0,31$$

E. Koefisien Tekanan Tanah Pasif (PA)

$$Kp = \frac{1}{Ka} = \frac{1}{0,23} = 4,33$$



F. Tekanan Tanah



Gambar 4.45 Tekanan Tanah Pada Dinding Penahan Tanah

G. Tekanan Tanah Aktif

- Bidang 1 :

$$\begin{aligned}
 P_{a1} &= K_a \cdot q \cdot (h_1 + h_2 + h_3) \\
 &= 0,23 \cdot 15 \cdot (2+2+2+3) \\
 &= 24,15 \text{ kN}
 \end{aligned}$$

- Bidang 2 :

$$\begin{aligned}
 P_{a2} &= \frac{1}{2} \cdot K_a \cdot \gamma \text{ tanah basah 1} \cdot (H_2)^2 \\
 &= \frac{1}{2} \cdot 0,23 \cdot 16,04 \cdot (2)^2 \\
 &= 7,38 \text{ kN}
 \end{aligned}$$

- Bidang 3 :

$$\begin{aligned}
 P_{a3} &= K_a \cdot \gamma \text{ tanah basah 1} \cdot H_1 \cdot H_2 \\
 &= 0,23 \cdot 16,04 \cdot 2 \cdot 2 \\
 &= 14,76 \text{ kN}
 \end{aligned}$$

- Bidang 4 :

$$\begin{aligned}
 P_{a4} &= \frac{1}{2} \cdot K_a \cdot \gamma_{sat1} \cdot (H_2)^2 \\
 &= \frac{1}{2} \cdot 0,23 \cdot 15,55 \cdot (2)^2 \\
 &= 7,15 \text{ kN}
 \end{aligned}$$

- Bidang 5 :

$$\begin{aligned}
 Pa_5 &= \frac{1}{2} \cdot \gamma w \cdot (H2)^2 \\
 &= \frac{1}{2} \cdot 10 \cdot (2)^2 \\
 &= 20 \text{ kN}
 \end{aligned}$$

- Bidang 6 :

$$\begin{aligned}
 Pa_6 &= Ka_2 \cdot H1 \cdot \gamma \text{ tanah basah} \cdot 1 \cdot H3 \\
 &= 0,23 \cdot 2,16,04 \cdot 3 \\
 &= 22,14 \text{ kN}
 \end{aligned}$$

- Bidang 7 :

$$\begin{aligned}
 Pa_7 &= Ka_2 \cdot H2 \cdot \gamma \text{ sat} \cdot 1 \cdot H3 \\
 &= 0,23 \cdot 2,15,55 \cdot 3 \\
 &= 21,46 \text{ kN}
 \end{aligned}$$

- Bidang 8 :

$$\begin{aligned}
 Pa_8 &= \frac{1}{2} \cdot Ka_2 \cdot \gamma \text{ sat} \cdot 2 \cdot (H3)^2 \\
 &= \frac{1}{2} \cdot 0,23 \cdot 16,5 \cdot (3)^2 \\
 &= 17,08 \text{ kN}
 \end{aligned}$$

- Bidang 9 :

$$\begin{aligned}
 Pa_9 &= \frac{1}{2} \cdot \gamma w \cdot (H3)^2 \\
 &= \frac{1}{2} \cdot 10 \cdot (3)^2 \\
 &= 45 \text{ kN}
 \end{aligned}$$

- Bidang 10 :

$$\begin{aligned}
 Pa_{10} &= Ka_3 \cdot q \cdot H4 \\
 &= 0,31 \cdot 15,3 \\
 &= 13,95 \text{ kN}
 \end{aligned}$$

- Bidang 11 :

$$\begin{aligned}
 Pa_{11} &= Ka_3 \cdot ((H1 \cdot \gamma T, \text{basah} 1) + (H2 \cdot \gamma \text{sat} 1) + (H3 \cdot \gamma \text{sat} 2)) \cdot H4 \\
 &= 0,31 \cdot ((2,16,04) + (2 \cdot 15,55) + (3 \cdot 16,5)) \cdot 3 \\
 &= 104,79 \text{ kN}
 \end{aligned}$$

- Bidang 12 :

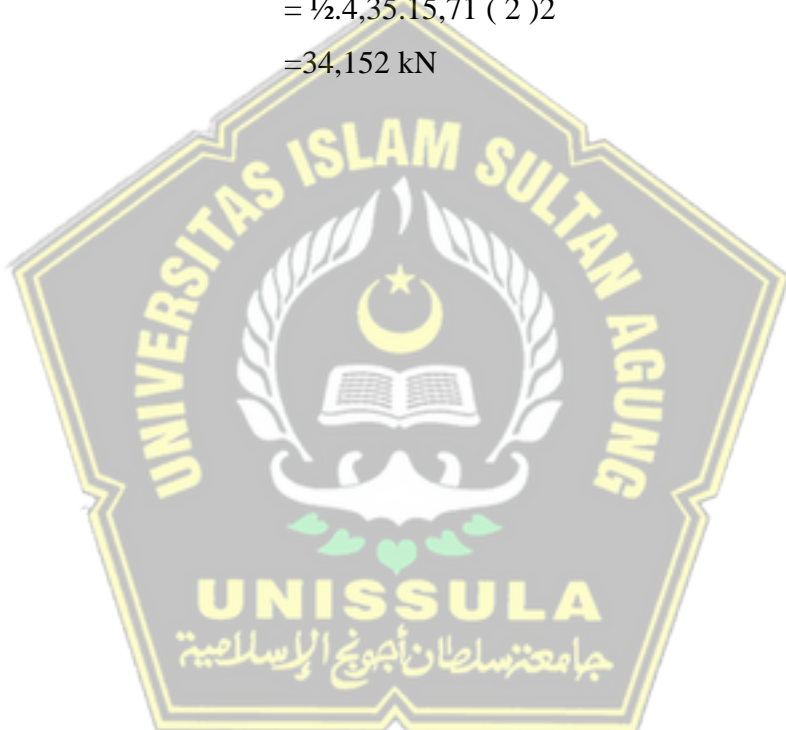
$$\begin{aligned}
 Pa_{12} &= \frac{1}{2} \cdot Ka_3 \cdot \gamma \text{sat} \cdot 3 \cdot (H4)^2 \\
 &= \frac{1}{2} \cdot 0,31 \cdot 16,71 \cdot (3)^2 \\
 &= 23,31 \text{ kN}
 \end{aligned}$$

- Bidang 13 :

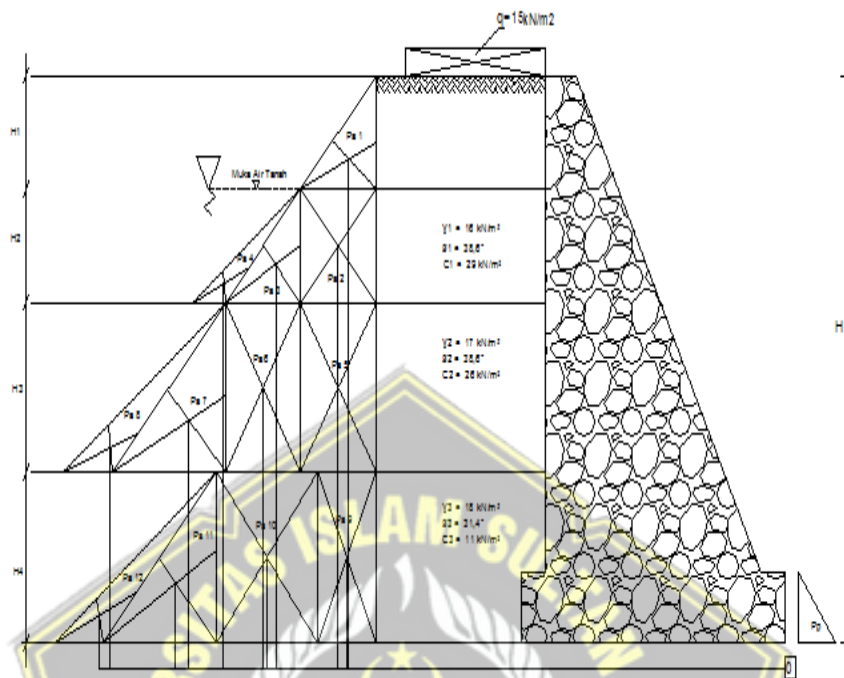
$$\begin{aligned}
 Pa_{13} &= \frac{1}{2} \cdot \gamma w \cdot (H4)^2 \\
 &= \frac{1}{2} \cdot 10 \cdot (3)2 \\
 &= 45 \text{ kN}
 \end{aligned}$$

H. Tekanan tanah pasif (Pp)

$$\begin{aligned}
 Pp &= \frac{1}{2} \cdot K_p \cdot \gamma \text{unsat} 3 \cdot (H5)^2 \\
 &= \frac{1}{2} \cdot 4,35 \cdot 15,71 \cdot (2)^2 \\
 &= 34,152 \text{ kN}
 \end{aligned}$$

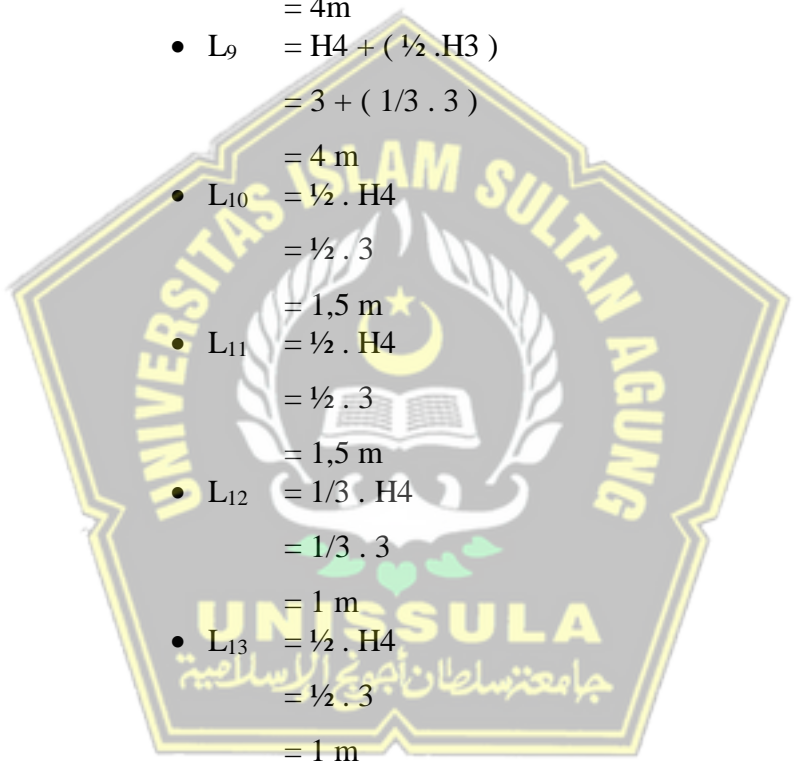


I. Jarak Lengan terhadap titik 0



Gambar 4. 46 Jarak Titik Berat Terhadap Titik 0

$$\begin{aligned}
 \bullet \quad L_1 &= H_4 + \left(\frac{1}{2} \cdot (H_3 + H_2 + H_1) \right) \\
 &= 3 + \left(\frac{1}{2} \cdot (3 + 2 + 2) \right) \\
 &= 6,5 \text{ m} \\
 \bullet \quad L_2 &= H_4 + H_3 + H_2 + \left(\frac{1}{3} \cdot H_1 \right) \\
 &= 3 + 3 + 2 \left(\frac{1}{3} \cdot 2 \right) \\
 &= 8,67 \text{ m} \\
 \bullet \quad L_3 &= H_4 + H_3 + \left(\frac{1}{2} \cdot H_2 \right) \\
 &= 3 + 3 + \left(\frac{1}{2} \cdot 2 \right) \\
 &= 7 \text{ m} \\
 \bullet \quad L_4 &= H_4 + H_3 + \left(\frac{1}{3} \cdot H_2 \right) \\
 &= 3 + 3 + \left(\frac{1}{3} \cdot 2 \right) \\
 &= 6,67 \text{ m} \\
 \bullet \quad L_5 &= H_4 + H_3 + \left(\frac{1}{3} \cdot H_2 \right) \\
 &= 3 + 3 + \left(\frac{1}{3} \cdot 2 \right) \\
 &= 6,67 \text{ m}
 \end{aligned}$$

- 
- $L_6 = H_4 + (\frac{1}{2} \cdot H_3)$
 $= 3 + (\frac{1}{2} \cdot 3)$
 $= 4,5 \text{ m}$
 - $L_7 = H_4 + (\frac{1}{2} \cdot H_3)$
 $= 3 + (\frac{1}{2} \cdot 3)$
 $= 4,5 \text{ m}$
 - $L_8 = H_4 + (\frac{1}{3} \cdot H_3)$
 $= 3 + (\frac{1}{3} \cdot 3)$
 $= 4 \text{ m}$
 - $L_9 = H_4 + (\frac{1}{2} \cdot H_3)$
 $= 3 + (\frac{1}{3} \cdot 3)$
 $= 4 \text{ m}$
 - $L_{10} = \frac{1}{2} \cdot H_4$
 $= \frac{1}{2} \cdot 3$
 $= 1,5 \text{ m}$
 - $L_{11} = \frac{1}{2} \cdot H_4$
 $= \frac{1}{2} \cdot 3$
 $= 1,5 \text{ m}$
 - $L_{12} = \frac{1}{3} \cdot H_4$
 $= \frac{1}{3} \cdot 3$
 $= 1 \text{ m}$
 - $L_{13} = \frac{1}{2} \cdot H_4$
 $= \frac{1}{2} \cdot 3$
 $= 1 \text{ m}$

J. Gaya- gaya horizontal akibat tekanan tanah pasif

NO	Tekanan Tanah Pasif (P _p)	Jarak	Moment
1	34,152	1	34,152
	$\Sigma P_p = 34,152$		$\Sigma Ma = 34,152$



K. Gaya- gaya horizontal akibat tekanan tanah aktif

NO	Tekanan Tanah Aktif (Pa)	Jarak	Moment
1	24,15	6,5	156,98
2	7,38	8,67	63,95
3	14,76	7	103,30
4	7,15	6,67	47,69
5	20	6,67	133,33
6	22,14	4,5	99,61
7	21,46	4,5	96,57
8	17,08	4	688,31
9	45	4	180,00
10	13,95	1,5	20,93
11	104,79	1,5	157,19
12	23,31	1	23,31
13	45	1	45,00
	$\Sigma P_a = 366,16$		$\Sigma M_a = 119,15$

L. Jumlah gaya gaya horizontal

$$\begin{aligned} \Sigma P_h &= \Sigma P_a - \Sigma P_p \\ &= 366,16 - 34,152 \\ &= 332,01 \text{ kN} \end{aligned}$$

M. Moment yang mengakibatkan penggulingan

$$\begin{aligned} \Sigma M_g &= \Sigma M_a - \Sigma M_p \\ &= 1196,15 - 34,152 \\ &= 1161,99 \text{ kNm} \end{aligned}$$

N. Menghitung stabilitas terhadap penggeseran

$$\begin{aligned} \Sigma R_h &= C_a \cdot B + W \tan \delta b \\ &= 11,27 + (882,035 \cdot 0,623) \\ &= 629,556 \end{aligned}$$

$$Fgs = \frac{\Sigma Rh}{\Sigma Ph} \geq 1,5$$

$$Fgs = \frac{629,556}{334,01} \geq 1,5$$

$$Fgs = 1,90 \geq 1,5 \text{ (Oke)}$$

O. Menghitung stabilitas terhadap penggulingan

$$Fgl = \frac{\Sigma Mw}{\Sigma Mg} \geq 1,5$$

$$Fgl = \frac{3850,23}{1161,99} \geq 1,5$$

$$Fgl = 3,31 \geq 1,5 \text{ (Oke)}$$

P. Stabilitas terhadap keruntuhan kapasitas daya dukung

$$Xe = \frac{\Sigma Mw - \Sigma Mg}{\Sigma W}$$

$$Xe = \frac{3850,23 - 1161,99}{882,035}$$

$$Xe = 3,05 m$$

Eksentrisitas (e)

$$e = \frac{B}{2} - Xe$$

$$e = \frac{7}{2} - 3,05$$

$$e = 0,45 m$$

Lebar efektif

$$B = B - 2e$$

$$= 7 - 2,045$$

$$= 6,10 m$$

$$A' = B' \times 1$$

$$= 6,10 \times 1$$

$$= 6,10 m^2$$

Q. Gaya-gaya yang ada pada dinding penahan tanah

- Gaya horizontal = 332,01 kN
- Gaya vertikal = 882,035 kN

R. Data-data faktor daya dukung

Tabel 4. 8 Faktor-faktor daya dukung tanah

ANGLE OF FRICTION ϕ (DEGREES)	TERZAGHI			MEYERHOF			HANSEN		
	N_c	N_q	N_v	N_c	N_q	N_v	N_c	N_q	N_v
0	5.70	1.00	0.00	5.10	1.00	0.00	5.10	1.00	0.00
2	6.30	1.22	0.18	5.63	1.20	0.01	5.63	1.20	0.01
4	6.97	1.49	0.38	6.19	1.43	0.04	6.19	1.43	0.05
5	7.34	1.64	0.50	6.49	1.57	0.07	6.49	1.57	0.07
6	7.73	1.81	0.62	6.81	1.72	0.11	6.81	1.72	0.11
8	8.60	2.21	0.91	7.53	2.08	0.21	7.53	2.06	0.22
10	9.60	2.69	1.21	8.34	2.47	0.37	8.34	2.47	0.39
12	10.78	3.29	1.70	9.28	2.97	0.60	9.28	2.97	0.63
14	12.11	4.02	2.29	10.27	3.59	0.92	10.27	3.59	0.97
15	12.86	4.45	2.50	10.98	3.94	1.13	10.98	3.94	1.16
16	13.68	4.92	2.94	11.63	4.34	1.37	11.63	4.34	1.43
18	15.52	6.04	3.87	13.10	5.26	2.08	13.10	5.26	2.06
20	17.69	7.44	4.97	14.83	6.40	2.87	14.83	6.40	2.95
22	20.27	9.19	6.81	16.88	7.82	4.07	16.88	7.82	4.13
24	23.36	11.40	8.58	19.32	9.80	5.72	19.32	9.80	5.75
25	25.13	12.72	9.70	20.72	10.86	6.77	20.72	10.86	6.76
26	27.09	14.21	11.35	22.25	11.85	8.00	22.25	11.85	7.94
28	31.61	17.61	15.15	25.60	14.72	11.19	25.60	14.72	10.94
30	37.16	22.46	19.73	30.14	18.40	15.07	30.14	18.40	15.07
32	44.04	28.52	27.49	35.49	23.18	22.02	35.49	23.18	20.79
34	52.64	36.50	36.96	42.16	29.44	31.15	42.16	29.44	28.77
35	59.75	41.44	42.49	48.12	33.00	37.15	48.12	33.00	33.92
36	63.83	47.16	51.70	50.59	37.75	44.43	50.59	37.75	40.05
38	77.50	61.95	73.47	61.35	48.93	64.07	61.35	48.93	56.17
40	95.66	81.27	100.59	75.31	64.20	93.69	75.31	64.20	79.54
42	119.67	108.75	165.69	93.71	85.37	139.32	93.71	85.37	113.96
44	151.95	147.74	248.29	118.37	115.31	211.41	118.37	115.31	165.58
45	172.29	173.28	294.50	138.87	134.87	262.74	133.87	134.87	200.81
46	196.22	204.19	426.96	152.10	158.50	328.73	152.10	158.50	244.85
48	258.39	287.85	742.61	199.26	223.39	526.45	199.26	223.39	368.67
50	347.51	415.15	1153.15	266.89	319.06	873.06	266.89	319.06	568.57

Sudut 32°

$$N_c = 35,49$$

$$N_q = 23,18$$

$$Ny = 30,21$$

S. Faktor kemiringan beban

$$iq = [1 + \frac{0.5\sum H}{\Sigma V + A' \cdot C_2 \cdot \tan 32^\circ}]^5$$

$$\Sigma V + A' \cdot C_2 \cdot \tan 32^\circ$$

$$iq = [1 + \frac{0.5 \cdot 332,01}{882,035 + 6,10 \cdot 11,2 \cdot 0,625}]^5$$

$$882,035 + 6,10 \cdot 11,2 \cdot 0,625$$

$$iq = 0,37$$

$$ic = iq = \left[\frac{1 - iq}{Nq - 1} \right]$$

$$ic = 0,39 = \left[\frac{1 - 0,37}{23,18 - 1} \right]$$

$$ic = 0,34$$

$$i_y = [1 - \frac{0.7 \sum H}{\Sigma V + A' \cdot C_2 \cdot \cotan 32^\circ}]^5$$

$$i_y = [1 - \frac{0,7 \cdot 332,01}{882,035 + 6,10 \cdot 11,2 \cdot 1,600}]^5$$

$$i_y = 0,26$$

T. Kapsitas daya dukung *ultimit* untuk pondasi

$$q_u = i_c c \cdot N_c + i_q D_f \gamma N_q \cdot i_r 0,5 B_r N_r$$

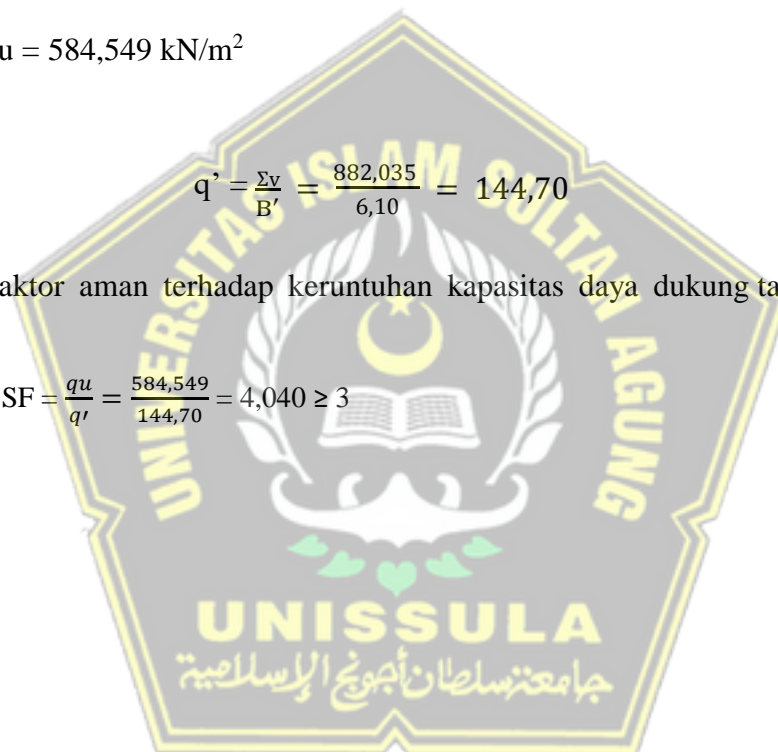
$$q_u = 0,37 \cdot 11,2 \cdot 35,49 + 0,26 \cdot 0,5 \cdot 6,10 \cdot 18,04 \cdot 30,21$$

$$q_u = 584,549 \text{ kN/m}^2$$

$$q' = \frac{\Sigma v}{B'} = \frac{882,035}{6,10} = 144,70$$

Faktor aman terhadap keruntuhan kapasitas daya dukung tanah

$$SF = \frac{q_u}{q'} = \frac{584,549}{144,70} = 4,040 \geq 3$$



4.6 Perhitungan Tulangan Dinding Penahan Tanah Tipe Kantiliver

- Pembesian tulangan lentur untuk $\frac{1}{2} H$ bagian bawah

Tebal dinding (B_b) = 1000mm

Selimut beton (T_s) = 75mm

$$\text{Tebal efektif (d)} = 1000 - 75 - (1/2 \cdot 25)$$

$$= 912,5$$

$$\text{Lebar ditinjau (b)} = 1000$$

Tekanan Tanah Aktif

- Bidang 1 :

$$\begin{aligned} P_{a1} &= 1,6 \cdot K_a \cdot q \cdot (h_1 + h_2 + h_3) \\ &= 1,6 \cdot 0,23 \cdot 15 \cdot (2+2+2+3) \\ &= 49,68 \text{ kN} \end{aligned}$$

- Bidang 2 :

$$\begin{aligned} P_{a2} &= \frac{1}{2} \cdot 1,6 \cdot K_a \cdot \gamma \text{ tanah basah 1} \cdot (H_2)^2 \\ &= \frac{1}{2} \cdot 1,6 \cdot 0,23 \cdot 16,04 \cdot (2)^2 \\ &= 11,808 \text{ kN} \end{aligned}$$

- Bidang 3 :

$$\begin{aligned} P_{a3} &= K_a \cdot \gamma \text{ tanah basah 1} \cdot H_1 \cdot H_2 \\ &= 1,6 \cdot 0,23 \cdot 16,04 \cdot 2 \cdot 2 \\ &= 23,616 \text{ kN} \end{aligned}$$

- Bidang 4 :

$$\begin{aligned} P_{a4} &= \frac{1}{2} \cdot K_a \cdot \gamma s \text{ sat 1} \cdot (H_2)^2 \\ &= \frac{1}{2} \cdot 1,6 \cdot 0,23 \cdot 15,55 \cdot (2)^2 \\ &= 11,44 \text{ kN} \end{aligned}$$

- Bidang 5 :

$$\begin{aligned} P_{a5} &= \frac{1}{2} \cdot 1,6 \cdot \gamma w \cdot (H_2)^2 \\ &= \frac{1}{2} \cdot 1,6 \cdot 10 \cdot (2)^2 \\ &= 32 \text{ kN} \end{aligned}$$

- Bidang 6 :

$$\begin{aligned}
 Pa_6 &= 1,6. Ka_2. H1. \gamma \text{ tanah basah } 1. H3 \\
 &= 1,6.0,23. 2.16,04 . 3 \\
 &= 35,42 \text{ kN}
 \end{aligned}$$
- Bidang 7 :

$$\begin{aligned}
 Pa_7 &= 1,6.Ka_2. H2 \gamma \text{ sat } 1. H3 \\
 &= 1,6.0,23.2.15,55.3 \\
 &= 34,33 \text{ kN}
 \end{aligned}$$
- Bidang 8 :

$$\begin{aligned}
 Pa_8 &= \frac{1}{2}.1,6. Ka_2. \gamma \text{ sat } 2. (H3)^2 \\
 &= \frac{1}{2}.1,6.0,23.16,5. (3)^2 \\
 &= 27,32 \text{ kN}
 \end{aligned}$$
- Bidang 9 :

$$\begin{aligned}
 Pa_9 &= \frac{1}{2}. \gamma w. (H3)^2 \\
 &= \frac{1}{2}.1,6.10.(3)^2 \\
 &= 72 \text{ kN}
 \end{aligned}$$
- Bidang 10 :

$$\begin{aligned}
 Pa_{10} &= 1,6.Ka_3. q. H4 \\
 &= 1,6.0,31.15.3 \\
 &= 22,32 \text{ kN}
 \end{aligned}$$
- Bidang 11 :

$$\begin{aligned}
 Pa_{11} &= 1,6.Ka_3.((H1.\gamma T,\text{basah } 1)+(H2.\gamma \text{ sat } 1) + \\
 &\quad (H3. \gamma \text{ sat } 2)).H4 \\
 &= 1,6.0,31.((2.16,04)+(2.15,55) + (3.16,5)) 3 \\
 &= 167,66 \text{ kN}
 \end{aligned}$$
- Bidang 12 :

$$\begin{aligned}
 Pa_{12} &= \frac{1}{2}.1,6. Ka_3. \gamma \text{ sat } 3. (H4)^2 \\
 &= \frac{1}{2}.1,6.0,31.16,71.(3)^2 \\
 &= 37,29 \text{ kN}
 \end{aligned}$$
- Bidang 13 :

$$\begin{aligned}
 Pa_{13} &= \frac{1}{2}.1,6. \gamma w . (H4)^2 \\
 &= \frac{1}{2}.1,6.10.(3)^2
 \end{aligned}$$

$$= 72 \text{ kN}$$

$$\begin{aligned} Mu &= [Pa_1.H_1]/3 + [Pa_2.H_2]/2 + [Pa_3.H_2]/3 + [Pa_4.H_2]/3 + [Pa_5.H_3]/2 \\ &+ [Pa_6.H_3]/2 + [Pa_7.H_3]/3 + [Pa_8.H_3]/3 + [Pa_9.H_4]/2 + [Pa_{10}.H_4]/2 + \\ &[Pa_{11}.H_4]/3 + [Pa_{12}.H_4]/3 + [Pa_{13}.H_4]/3 \end{aligned}$$

$$\begin{aligned} Mu &= [49,68,2]/3 + [11,808,2]/2 + [23,616,2]/3 + [11,44,2]/3 + [32,3]/2 \\ &+ [35,42,3]/2 + [34,33,3]/3 + [27,32,3]/3 + [72,3]/2 + [22,32,3]/2 + [167, \\ &66,3]/3 + [37,29,3]/3 + [72,3]/3 \end{aligned}$$

$$\begin{aligned} &= 33,12 + 11,808 + 15,74 + 7,62 + 48 + 53,13 + 34,33 + 27,32 \\ &+ 108 + 33,48 + 167,66 + 37,29 + 72 \end{aligned}$$

$$= 649,49 \text{ kN/m}$$

Tulangan yang diperlukan (As)

$$Rn = \frac{Mu}{D.b.d^2}$$

$$= \frac{649,49}{0,025 \cdot 1 \cdot 912,5^2}$$

$$= 31200,87 \text{ kN/m}^2 = 0,031 \text{ kN/m}^2$$

$$\rho = \left(0,85 \cdot \frac{fc'}{fy} \right) \cdot \left(1 - \frac{2 \cdot Rn}{0,85 \cdot fc'} \right)$$

$$= \left(0,85 \cdot \frac{18,68}{400} \right) \cdot \left(1 - \frac{2 \cdot 0,031}{0,85 \cdot 18,68} \right)$$

$$= 0,072$$

$$\text{As perlu} = \rho \cdot b \cdot d$$

$$= 0,072 \cdot 1000 \cdot 912,5$$

$$= 65664 \text{ mm}^2$$

$$\begin{aligned}
 As_{\min} &= 0,0015 \cdot b \cdot Bb \\
 &= 0,0015 \cdot 1000 \cdot 1000 \\
 &= 15000 \text{ mm}^2
 \end{aligned}$$

Untuk tulangan D25mm

$$\begin{aligned}
 Ab &= \frac{1}{4} \cdot \pi \cdot d^2 \\
 &= \frac{1}{4} \cdot 31,4 \cdot 252
 \end{aligned}$$

$$= 4906,25$$

$$\begin{aligned}
 \sum_{\text{tulangan}} &= \frac{As_{\text{perlu}}}{Ab} \\
 &= \frac{15000}{4906,25}
 \end{aligned}$$

$$= 13,38 \approx 14 \text{ batang}$$

Jarak antar tulangan

$$\begin{aligned}
 S &= \frac{b}{\sum_{\text{tulangan}}} \\
 &= \frac{1000}{14} \\
 &= 71,42 \approx 100
 \end{aligned}$$

Jarak dipakai tulangan D = 25mm dengan jarak 100mm (D25-100)

Jarak dipakai tulangan D = 25mm dengan jarak 100mm (D25-100)

- **Pembesian tulangan lentur untuk ½ H bagian Atas**

Tebal dinding (B_b) = 600 mm

Selimut beton (T_s) = 75mm

$$\begin{aligned}\text{Tebal efektif (d)} &= 600 - 75 - (1/2 \cdot 25) \\ &= 512,5\end{aligned}$$

Lebar ditinjau(b) = 600

Tekanan Tanah Aktif

- Bidang 1 :

$$\begin{aligned}P_{a1} &= 1,6 \cdot K_{a1} \cdot q \cdot (1/2(h_1+h_2+h_3)) \\ &= 1,6 \cdot 0,23 \cdot 15 \cdot (1/2(2+2+2+3)) \\ &= 24,84 \text{ kN}\end{aligned}$$

- Bidang 2 :

$$\begin{aligned}P_{a2} &= 1/2 \cdot 1,6 \cdot K_{a1} \cdot \gamma \text{ tanah basah 1.} \cdot (H_2/2) \cdot (H_2/2) \\ &= 1/2 \cdot 1,6 \cdot 0,23 \cdot 16,04 \cdot 1 \\ &= 2,95 \text{ kN}\end{aligned}$$

- Bidang 3 :

$$\begin{aligned}P_{a3} &= K_{a1} \cdot \gamma \text{ tanah basah 1.} \cdot H_1/2 \cdot H_2/2 \\ &= 1,6 \cdot 0,23 \cdot 16,04 \cdot 1 \\ &= 5,9 \text{ kN}\end{aligned}$$

- Bidang 4 :

$$\begin{aligned}P_{a4} &= 1/2 \cdot K_{a1} \cdot \gamma_{sat1} \cdot H_2/2 \cdot H_2/2 \\ &= 1/2 \cdot 1,6 \cdot 0,23 \cdot 15,55 \cdot 1 \\ &= 2,86 \text{ kN}\end{aligned}$$

- Bidang 5 :

$$\begin{aligned} Pa_5 &= \frac{1}{2} \cdot 1,6 \cdot \gamma_w \cdot H_2/2 \cdot H_2/2 \\ &= \frac{1}{2} \cdot 1,6 \cdot 10,1 \\ &= 8 \text{ kN} \end{aligned}$$
- Bidang 6 :

$$\begin{aligned} Pa_6 &= 1,6 \cdot K_a_2 \cdot H_1/2 \cdot \gamma_{tanah\ basah} 1 \cdot H_3/2 \\ &= 1,6 \cdot 0,23 \cdot 1 \cdot 16,04 \cdot 1,5 \\ &= 8,85 \text{ kN} \end{aligned}$$
- Bidang 7 :

$$\begin{aligned} Pa_7 &= 1,6 \cdot K_a_2 \cdot H_2/2 \cdot \gamma_{sat} 1 \cdot H_3/2 \\ &= 1,6 \cdot 0,23 \cdot 1 \cdot 15,55 \cdot 1,5 \\ &= 8,58 \text{ kN} \end{aligned}$$
- Bidang 8 :

$$\begin{aligned} Pa_8 &= \frac{1}{2} \cdot 1,6 \cdot K_a_2 \cdot \gamma_{sat} 2 \cdot H_3/2 \cdot H_3/2 \\ &= \frac{1}{2} \cdot 1,6 \cdot 0,23 \cdot 16,5 \cdot 1,5 \cdot 1,5 \\ &= 6,83 \text{ kN} \end{aligned}$$
- Bidang 9 :

$$\begin{aligned} Pa_9 &= \frac{1}{2} \cdot \gamma_w \cdot H_3/2 \cdot H_3/2 \\ &= \frac{1}{2} \cdot 1,6 \cdot 10,1 \cdot 5,1 \cdot 5 \\ &= 18 \text{ kN} \end{aligned}$$
- Bidang 10 :

$$\begin{aligned} Pa_{10} &= 1,6 \cdot K_a_3 \cdot q \cdot H_4/2 \\ &= 1,6 \cdot 0,31 \cdot 15,1 \cdot 5 \\ &= 11,16 \text{ kN} \end{aligned}$$
- Bidang 11 :

$$\begin{aligned} Pa_{11} &= 1,6 \cdot K_a_3 \cdot ((H_1/2 \cdot \gamma_T, basah 1) + (H_2/2 \cdot \gamma_{sat} 1) + \\ &\quad (H_3/2 \cdot \gamma_{sat} 2)) \cdot H_4/2 \\ &= 1,6 \cdot 0,31 \cdot ((16,04) + (1,15,55) + (1,5 \cdot 16,5)) \cdot 1,5 \\ &= 35,78 \text{ kN} \end{aligned}$$
- Bidang 12 :

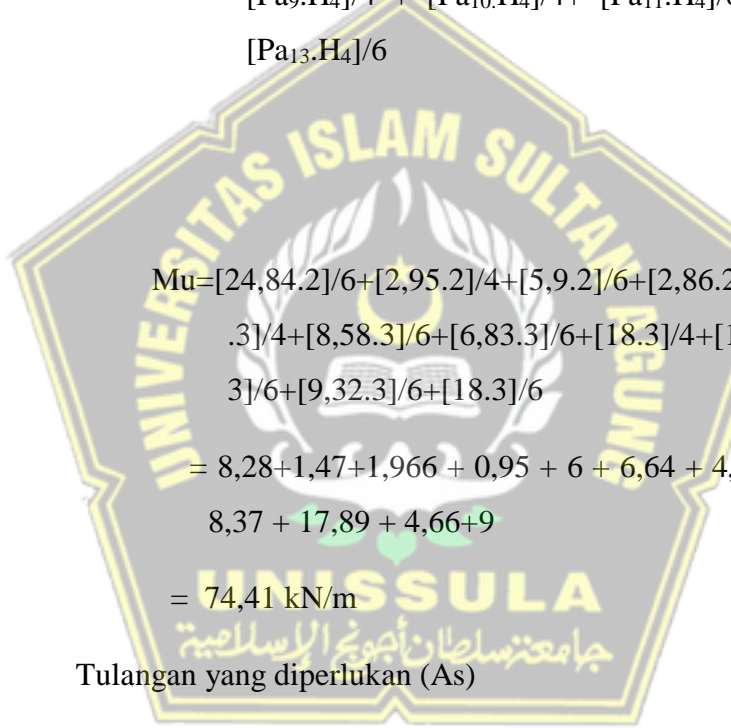
$$\begin{aligned} Pa_{12} &= \frac{1}{2} \cdot 1,6 \cdot K_a_3 \cdot \gamma_{sat} 3 \cdot H_4/2 \cdot H_4/2 \\ &= \frac{1}{2} \cdot 1,6 \cdot 0,31 \cdot 16,71 \cdot 1,5 \cdot 1,5 \end{aligned}$$

$$= 9,32 \text{ kN}$$

- Bidang 13 :

$$\begin{aligned} Pa_{13} &= \frac{1}{2} \cdot 1,6 \cdot \gamma w \cdot H4/2 \cdot H4/2 \\ &= \frac{1}{2} \cdot 1,6 \cdot 10,1 \cdot 5,1 \cdot 5 \\ &= 18 \text{ kN} \end{aligned}$$

$$\begin{aligned} Mu &= [Pa_1 \cdot H_1]/6 + [Pa_2 \cdot H_2]/4 + [Pa_3 \cdot H_2]/6 + [Pa_4 \cdot H_2]/6 + \\ &[Pa_5 \cdot H_3]/4 + [Pa_6 \cdot H_3]/4 + [Pa_7 \cdot H_3]/6 + [Pa_8 \cdot H_3]/6 + \\ &[Pa_9 \cdot H_4]/4 + [Pa_{10} \cdot H_4]/4 + [Pa_{11} \cdot H_4]/6 + [Pa_{12} \cdot H_4]/6 + \\ &[Pa_{13} \cdot H_4]/6 \end{aligned}$$



$$Rn = \frac{Mu}{D \cdot b \cdot d^2}$$

$$= \frac{74,41}{0,025 \cdot 0,6 \cdot 0,5125^2}$$

$$= 18886,54 \text{ kN/m}^2 = 0,0188 \text{ kN/m}^2$$

$$\rho = \left(0,85 \cdot \frac{fc'}{fy} \right) \cdot \left(1 - \frac{2 \cdot Rn}{0,85 \cdot fc'} \right)$$

$$= \left(0,85 \cdot \frac{18,68}{400} \right) \cdot \left(1 - \frac{2 \cdot 0,0188}{0,85 \cdot 18,68} \right)$$

$$= 0,038$$

$$\text{As perlu} = \rho \cdot b \cdot d$$

$$= 0,038 \cdot 600 \cdot 512,5$$

$$= 11964,1 \text{ mm}^2$$

$$\text{As min} = 0,0015 \cdot b \cdot Bb$$

$$= 0,0015 \cdot 600 \cdot 600$$

$$= 540 \text{ mm}^2$$

Untuk tulangan D25mm

Ab

$$= \frac{1}{4} \cdot \pi \cdot d^2$$

$$= \frac{1}{4} \cdot 31,4 \cdot 25^2$$

$$= 4906,25$$

$$\sum \text{tulangan} = \frac{\text{As perlu}}{Ab}$$

$$= \frac{22839,87}{4906,25}$$

$$= 4,655 \approx 5 \text{ batang}$$

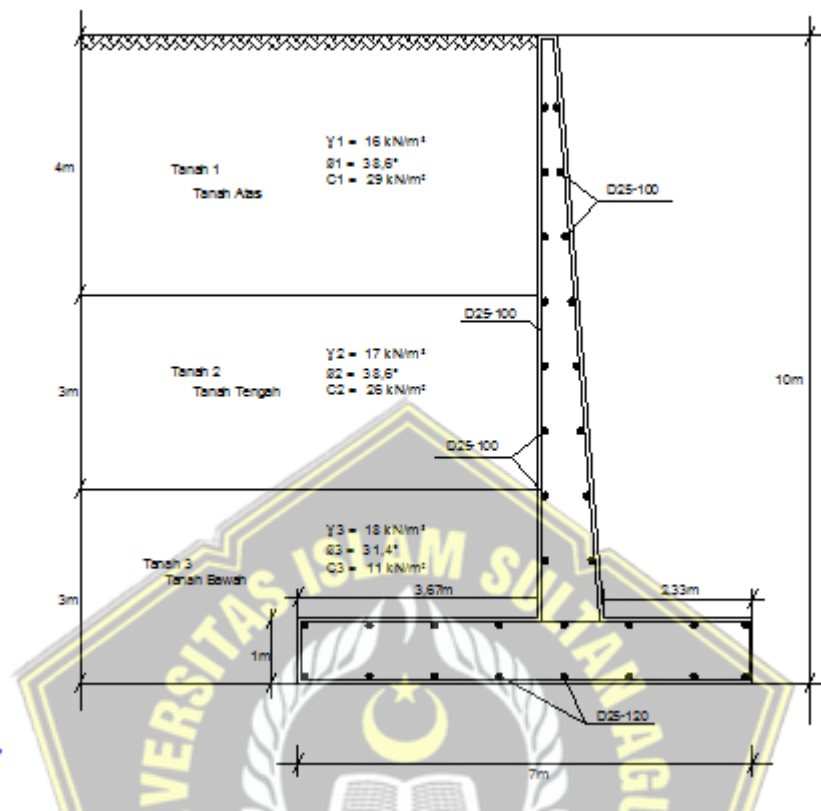
Jarak antar tulangan

$$S = \frac{b}{\sum \text{tulangan}}$$

$$= \frac{600}{5}$$

$$= 12 \approx 120 \text{ mm}$$

Jarak dipakai tulangan D = 25mm dengan jarak 100mm (D25-120)



Gambar 4. 47 Desain Tulangan Kantiliver

4.7 Hasil Pembahasan Analisa Perbandingan Dinding Penahan Tanah Tipe Kantiliver Dan Tipe Gravity

Berdasarkan hasil dari perhitungan serta analisa perbandingan dinding penahan tanah tipe gravitasi dan tipe kantiliver dengan membandingkan ukuran tapak yang sama dan ketinggian yang sama maka didapatkan kesimpulan sebagai berikut :

1. Hasil dari analisa perbandingan penggunaan dinding penahan tanah tipe gravitasi dan tipe kantiliver menggunakan program *Plaxis 2D v.8.6* didapatkan nilai *Safety Factor* (SF) sebagai berikut
 - untuk dinding penahan tanah tipe kantiliver mendapatkan nilai *Safety Faktor* adalah $2,6573 > 1,5$
 - untuk dinding penahan tanah tipe gravity mendapatkan nilai *Safety Faktor* adalah $3,44 > 1,5$
2. Hasil dari analisa perbandingan penggunaan dinding penahan tanah tipe gravitasi dan tipe kantiliver dengan cara perhitungan manual didapatkan nilai *Safety Factor* (SF) sebagai berikut :
 - untuk dinding penahan tanah tipe kantiliver mendapatkan nilai *Safety Faktor* adalah
 - Faktor terhadap pergeseran = $2,09 > 1,5$
 - Factor terhadap penggulingan = $2,58 > 1,5$
 - Faktor satibilitas daya dukung tanah = $4,62 > 3$
 - untuk dinding penahan tanah tipe gravity mendapatkan nilai *Safety Faktor* adalah
 - Faktor terhadap pergeseran = $1,90 > 1,5$
 - Factor terhadap penggulingan = $3,31 > 1,5$
 - Faktor satibilitas daya dukung tanah = $4,04 > 3$

Tabel 4. 9 Hasil Perhitungan dinding penahan tanah

Perhitungan	Safety Factor Penggulingan Dinding Kantiliver	Safety Factor Penggulingan Dinding Gravity
Manual	2,58	3,31
Plaxis 2D v.8.6	2,6573	3,44



BAB V

PENUTUP

5.1.Kesimpulan

Berdasarkan hasil dari perhitungan serta analisa perbandingan dinding penahan tanah tipe gravitasi dan tipe kantiliver dengan membandingkan ukuran tapak yang sama dan ketinggian yang sama maka didapatkan kesimpulan sebagai berikut :

1. Hasil dari analisa perbandingan penggunaan dinding penahan tanah tipe gravitasi dan tipe kantiliver menggunakan program *Plaxis v.8.6* didapatkan nilai *Safety Factor* (SF) sebagai berikut
 - untuk dinding penahan tanah tipe kantiliver mendapatkan nilai *Safety Faktor* adalah $2,6573 > 1,5$
 - untuk dinding penahan tanah tipe gravity mendapatkan nilai *Safety Faktor* adalah $3,44 > 1,5$
2. Hasil dari analisa perbandingan penggunaan dinding penahan tanah tipe gravitasi dan tipe kantiliver dengan cara perhitungan manual didapatkan nilai *Safety Factor* (SF) sebagai berikut :
 - untuk dinding penahan tanah tipe kantiliver mendapatkan nilai *Safety Faktor* adalah
 - Faktor terhadap pergeseran = $2,09 > 1,5$
 - Factor terhadap penggulingan = $2,58 > 1,5$
 - Faktor satibilitas daya dukung tanah = $4,62 > 3$
 - untuk dinding penahan tanah tipe gravity mendapatkan nilai *Safety Faktor* adalah
 - Faktor terhadap pergeseran = $1,90 > 1,5$
 - Factor terhadap penggulingan = $3,31 > 1,5$
 - Faktor satibilitas daya dukung tanah = $4,04 > 3$

5.2.Saran

1. Pada penelitian menggunakan sebuah program aplikasi geoteknik diharapkan pengguna memahami terlebih dahulu tentang cara pengoperasian dari program tersebut
2. Saat melakukan penelitian sebaiknya memahami standar perhitungan yang akan digunakan
3. Keakuratan dari hasil *analisis* menggunakan program plaxis bergantung pada cara penggunaan program tersebut oleh sebab itu sebaiknya untuk memahami perhitungan secara manual



DAFTAR PUSTAKA

- Abdul Hakim, Rizki Pranata Mulya. 2011. *Studi Stabilitas Dinding Penahan Tanah Kantiliver Pada Ruas Jalan Silaing Padang-Bukit Tinggi KM 64+500.* Dalam Jurnal Rekayasa Sipil Volume 7(hlm 57-74)
- Afif Wibisono,dkk. 2019. *Perencanaan Dinding Penahan Tanah Di Fakultas Ilmu Administrasi Negara Lancing Kuning Kota Pekanbaru.* Dalam buku 1. *Teknologi Sains.*
- Baiq Cahaya Dewi Andriyani, dkk. *Studi Perencanaan Lereng dengan Perkuatan Dinding penahan Tanah Tipe Kantiliver Pada Lereng Jalan Kemuning Lor Kabupaten Arjasa Kabupaten Jember.*
- Craig, R, F. 1989. *Mekanika Tanah* Edisi keempat. Erlangga. Jakarta.
- Das, Braja M. 1995. *Mekanika Tanah (Prinsip-Prinsip Rekayasa Geoteknis).* Jilid I dan II. Erlangga. Surabaya.
- Firman Nur Arif, 2015. *Analisis Kerawanan Tanah Longsor Untuk Menentukan Upaya Mitigasi Bencana di Kecamatan Kemiri Kabupaten Purworejo.* Universitas Negeri Semarang. Semarang.
- Hardiyatmo, H.C. 2002a. *Mekanika Tanah I.* Gadjah Mada University Press. Yogyakarta.
- Hardiyatmo, H.C. 2003b. *Mekanika Tanah II.* Gadjah Mada University Press. Yogyakarta.
- Hendra Setiawan. 2011. *Perbandingan Penggunaan dinding penahan Tanah Tipe Kantiliver dan Gravitasi dengan Variasi Ketinggian Lereng.* Univeristas Negeri Semarang. Semarang.
- Plaxis, 2012, Tutorial Manual, A.A. Balkema : Rotterdam.
- Pratikso. 2019. *Buku Panduan Dinding Penahan Tanah dan Turap.* Fakultas Teknik Unissula. Semarang.
- Santosa, Budi, dkk. 1998. *Mekanika Tanah Lanjutan.* Gunadarma. Jakarta.
- Setyanto, Ahmad Zakaria, Giwa Wibawa P. 2016. *Analisis Stabilitas Lereng dan Penanganan Longsoran Menggunakan Metode Elemen Hingga Plaxis V.8.2.* Universitas Lampung. Bandar Lampung.

LAMPIRAN
Dokumentasi Lapangan



Dokumentasi Laboratorium Tanah



Hasil Laboratorium Tanah
جامعة سلطان عبد العزiz الإسلامية

Depth	Ketebalan	Gs	w	ysat	yunsat	e	n	c	ϕ	Gravel	Sand
atas	6-10m	2.172	54	1.555	1.455	1.112	0.526	0.293	38.6	18.48	57.22
tengah	3-6m	2.361	56	1.650	1.55	1.094	0.522	0.261	38.6	14.73	66.83
bawah	0-3m	2.225	48	1.671	1.571	0.825	0.452	0.112	31.4	18.45	52.22



ANALISIS PERBANDINGAN PENGGUNAAN DINDING PENAHAN TANAH TIPE KANTILIVER DAN TIPE GRAVITASI MENGGUNAKAN APLIKASI PLAXIS V.8.6 DAN PERHITUNGAN MANUAL

ORIGINALITY REPORT

24%
SIMILARITY INDEX

24%
INTERNET SOURCES

6%
PUBLICATIONS

11%
STUDENT PAPERS

SAJIDAH

PRIMARY SOURCES

1	darawa19.blogspot.com Internet Source	1 %
2	dspace.uii.ac.id Internet Source	1 %
3	repository.its.ac.id Internet Source	1 %
4	repository.uma.ac.id Internet Source	1 %
5	eprints.um.ac.id Internet Source	1 %
6	ft-sipil.unila.ac.id Internet Source	1 %
7	123dok.com Internet Source	1 %
8	repository.usu.ac.id Internet Source	1 %
	repositori.uin-alauddin.ac.id	

9

1 %

10 text-id.123dok.com

Internet Source

1 %

11 docplayer.net

Internet Source

1 %

12 www.scribd.com

Internet Source

1 %

13 ar.scribd.com

Internet Source

1 %

14 media.neliti.com

Internet Source

1 %

15 Syarifullah Syarifullah, Ferra Fahriani, Yayuk Apriyanti. "PERENCANAAN DINDING PENAHAN TANAH TIPE GRAVITASI DAN TIPE KANTILEVER PADA GRAVING DOCK DI PT DOK DAN PERKAPALAN AIR KANTUNG UNIT GALANGAN SELINDUNG KOTA PANGKALPINANG", FROPIL (Forum Profesional Teknik Sipil), 2018

Publication

<1 %

16 Submitted to Universitas Diponegoro

Student Paper

<1 %

17 Submitted to Sriwijaya University

Student Paper

<1 %

18	fr.scribd.com Internet Source	<1 %
19	repository.ub.ac.id Internet Source	<1 %
20	ejournal.unsrat.ac.id Internet Source	<1 %
21	am-lin.blogspot.com Internet Source	<1 %
22	ejournal.ust.ac.id Internet Source	<1 %
23	flipthtml5.com Internet Source	<1 %
24	sinta.unud.ac.id Internet Source	<1 %
25	vdocuments.site Internet Source	<1 %
26	www.slideshare.net Internet Source	<1 %
27	digilib.unhas.ac.id Internet Source	<1 %
28	eprosiding snit-polbeng.org Internet Source	<1 %
29	adoc.tips Internet Source	<1 %



30	moam.info Internet Source	<1 %
31	Repository.umy.ac.id Internet Source	<1 %
32	Submitted to Politeknik Negeri Bandung Student Paper	<1 %
33	pt.scribd.com Internet Source	<1 %
34	repo.itera.ac.id Internet Source	<1 %
35	repository.unhas.ac.id Internet Source	<1 %
36	journal.uny.ac.id Internet Source	<1 %
37	jurnal.radenfatah.ac.id Internet Source	<1 %
38	Submitted to Universitas Muhammadiyah Surakarta Student Paper	<1 %
39	B Sirait, D Sarah. "Bearing Capacity Prediction of Mine Hauling Road Using Cone Penetration Testing (CPT)", IOP Conference Series: Earth and Environmental Science, 2021 Publication	<1 %

40	Internet Source	<1 %	
41	www.unmermadiun.ac.id	<1 %	
42	Internet Source	kawasanindustrial.blogspot.com	<1 %
43	Internet Source	publikasi.unitri.ac.id	<1 %
44	Student Paper	Submitted to Sultan Agung Islamic University	<1 %
45	Internet Source	edoc.pub	<1 %
46	Student Paper	Submitted to Universitas Negeri Jakarta	<1 %
47	Internet Source	repository.usbypkp.ac.id	<1 %
48	Internet Source	lib.unnes.ac.id	<1 %
49	Internet Source	riset.unisma.ac.id	<1 %
50	Internet Source	anzdoc.com	<1 %
51	Internet Source	docshare.tips	<1 %

52	journal.eng.unila.ac.id Internet Source	<1 %
53	jurnal.pnj.ac.id Internet Source	<1 %
54	onbanana.blogspot.com Internet Source	<1 %
55	pt.slideshare.net Internet Source	<1 %
56	repositori.umsu.ac.id Internet Source	<1 %
57	www.renuelectronics.com Internet Source	<1 %
58	Submitted to Universitas International Batam Student Paper	<1 %
59	core.ac.uk Internet Source	<1 %
60	es.scribd.com Internet Source	<1 %
61	jurnal.unismabekasi.ac.id Internet Source	<1 %
62	repository.uir.ac.id Internet Source	<1 %
63	repository.unair.ac.id Internet Source	<1 %



64	thesis.binus.ac.id Internet Source	<1 %
65	jurnal.untidar.ac.id Internet Source	<1 %
66	Ikhwanudin, S. I. Wahyudi, Soedarsono. "Simulation of Catchment Area, Water Storage and Pump Capacity in Polder Drainage System", IOP Conference Series: Earth and Environmental Science, 2020 Publication	<1 %
67	eprints.undip.ac.id Internet Source	<1 %
68	repository.unilak.ac.id Internet Source	<1 %
69	anawebchildhealth.blogspot.com Internet Source	<1 %
70	idoc.pub Internet Source	<1 %
71	Hendra Setiawan, Sigit Kurniawan. "KARAKTERISTIK TANAH TERDAMPAK DAN TIDAK TERDAMPAK LIKUIFAKSI BERDASARKAN UJI SWEDISH WEIGHT SOUNDING PADA KELURAHAN PETOBO", Inersia: Jurnal Teknik Sipil, 2021 Publication	<1 %

73

de.scribd.com

<1 %

Internet Source

74

jil.ejournal.unri.ac.id

<1 %

Internet Source

75

repository.ump.ac.id

<1 %

Internet Source

76

adoc.pub

<1 %

Internet Source

77

eprints.ums.ac.id

<1 %

Internet Source

78

infosv2.pari.go.jp

<1 %

Internet Source

79

matakuliahbiologi.blogspot.com

<1 %

Internet Source

80

ojs.ummetro.ac.id

<1 %

Internet Source

81

widuri.raharja.info

<1 %

Internet Source

82

Diah Sarasanty, Dicki Nizar Zulfika.
"Pendampingan Peningkatan Kualitas Batu
Bata dengan Limbah Sekam Padi pada
Kelompok Pengrajin di Desa Domas Trowulan

<1 %

Mojokerto", Wikrama Parahita : Jurnal
Pengabdian Masyarakat, 2021

Publication

-
- 83 e-journals.unmul.ac.id <1 %
Internet Source
- 84 mahasiswatekniksipilsari29.blogspot.com <1 %
Internet Source
- 85 mulyadinurdin.wordpress.com <1 %
Internet Source
- 86 scholar.unand.ac.id <1 %
Internet Source
- 87 summer-absolutely.icu <1 %
Internet Source
- 88 KD Croft, EL Ghisalberti, PR Jefferies, GM
Proudfoot. "The chemistry of Eremophila spp.
XVI. New serrulatanes from Eremophila spp.",
Australian Journal of Chemistry, 1981
Publication
- 89 zombiedoc.com <1 %
Internet Source

Exclude quotes On

Exclude bibliography On

Exclude matches < 5 words



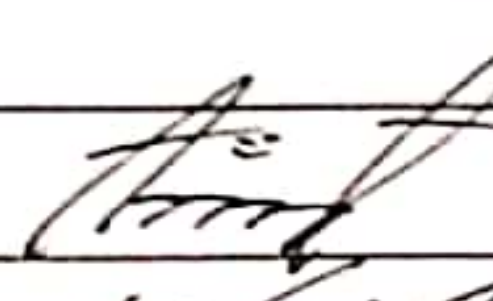
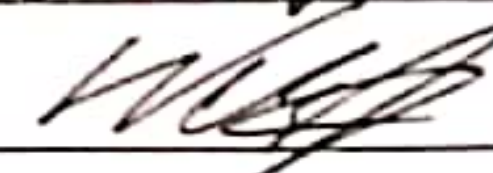
DOSEN PENGUJI
SEMINAR TUGAS AKHIR

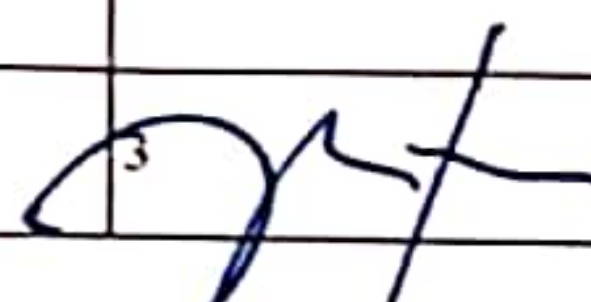
Hari
Tanggal
Jam

Rabu
28 Juli 2021
09.00 WIB

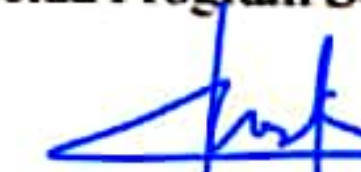
Judul Tugas Akhir

Analisa Perbandingan Penggunaan Dinding Penahan Tanah Tipe Kantiliver Dan Tipe Grativitasi
Menggunakan Aplikasi Plaxis V.86 Dan Perhitungan Manual

1	Mohammad Affan Abdul G	30201700103	1	
2	Muhammad Watsiq Alawi	30201700129	2	

NO	NAMA	UNISSULA جامعة سلطان احمد الإسلامية	TANDA TANGAN
1	Prof. Ir. H. Pratikso,MST,Ph.D	1	
2	Dr. Ir. H. Soedarsono,Msi		2 
3	Dr. Abdul Rochim,ST,MT	3	

Semarang, 28 Juli 2021
Ketua Program Studi Teknik Sipil


M Rusli Ahyar, ST, M.Eng
NIK. 210216089



Nomor : 36 / A 2 / SA - T / VII / 2021

Pada hari ini, Rabu Tanggal 28 Juli 2021 telah dilaksanakan

Seminar Tugas Akhir, dengan peserta sebagai berikut :

1. Nama	Mohammad Affan Abdul O	30201700103
2. Nama	Muhammad Watsiq Alawi	30201700129

Judul TA **Analisa Perbandingan Penggunaan Dinding Penahan Tanah Tipe Kantilever Dan Tipe Gravitasi Menggunakan Aplikasi Plaxis V.86 Dan Perhitungan Manual**
 0

Dengan Hasil

- I. BAIK
II. CUKUP
III. KURANG

Demikian Berita Acara Seminar Tugas Akhir ini dibuat untuk diketahui dan pergunakan seperlunya.

Dosen Pembimbing I

Prof. Ir. H. Pratikso, MST, Ph.D



Dosen Pembimbing

Dr. Abdul Rocham, ST, MT

Mengetahui,
Ketua Program Studi Teknik Sipil

M. Rusli Alhyar, ST, M.Eng